

การศึกษากระบวนการยึดอายุการเก็บผลิตภัณฑ์เส้นก่อวายเดียวสุดสำหรับอุตสาหกรรมขนาดกลาง  
และขนาดเล็ก

โดย  
นางสาวกนกวรรณ พักถุง

วิทยานิพนธ์นี้เป็นส่วนหนึ่งของการศึกษาตามหลักสูตรปริญญาวิทยาศาสตรมหาบัณฑิต  
สาขาวิชาเทคโนโลยีอาหาร  
ภาควิชาเทคโนโลยีอาหาร  
บัณฑิตวิทยาลัย มหาวิทยาลัยศิลปากร  
ปีการศึกษา 2550  
ลิขสิทธิ์ของบัณฑิตวิทยาลัย มหาวิทยาลัยศิลปากร

**The Study of Shelf life Extension of Fresh Noodle Produced by SMEs**

**By**

**Kanokwan Na Phatthalung**

**A Thesis Submitted in Partial Fulfillment of the Requirements for the Degree**

**MASTER OF SCIENCE**

**Department of Food Technology**

**Graduate School**

**SILPAKORN UNIVERSITY**

**2007**

บัณฑิตวิทยาลัย มหาวิทยาลัยศิลปากร อนุมัติให้วิทยานิพนธ์เรื่อง “การศึกษากระบวนการ  
ปัจจัยการเก็บผลิตภัณฑ์เส้นก้าวเดี่ยวสคสำหรับอุตสาหกรรมขนาดกลางและขนาดเล็ก” เสนอโดย  
นางสาวกนกวรรณ พัทลุง เป็นส่วนหนึ่งของการศึกษาตามหลักสูตรปริญญาวิทยาศาสตรมหาบัณฑิต  
สาขาวิชาเทคโนโลยีอาหาร

.....  
*(ลายเซ็น)*

(รองศาสตราจารย์ ดร.ศิริชัย ชินะดังกร)

คณบดีบัณฑิตวิทยาลัย

วันที่ ๒๐ เดือน มกราคม พ.ศ.๒๕๖๔

### อาจารย์ที่ปรึกษาวิทยานิพนธ์

- ผู้ช่วยศาสตราจารย์ ดร.ปริญดา เพ็ญโรงค์
- ผู้ช่วยศาสตราจารย์ ดร.สุเชษฐ์ สมุหเสนีโต
- ผู้ช่วยศาสตราจารย์ ดร.เอกพันธ์ แก้วมณีชัย

### คณะกรรมการตรวจสอบวิทยานิพนธ์

*Qst. M* ..... ประธานกรรมการ

(อาจารย์ ดร.ดวงใจ ถิรธรรมถาวร)

๒๙ / พ.ศ. ๒๕๖๑

*A.J. 7* ..... กรรมการ

(ผู้ช่วยศาสตราจารย์ ดร.ชัยยงค์ เดชะไพบูลย์)

๒๔ / พ.ศ. ๒๕๖๑

*บ. - บ.* ..... กรรมการ

(ผู้ช่วยศาสตราจารย์ ดร.ปริญดา เพ็ญโรงค์)

๒๔ / พ.ศ. ๒๕๖๑

*บ. บ.* ..... กรรมการ

(ผู้ช่วยศาสตราจารย์ ดร.สุเชษฐ์ สมุหเสนีโต)

๒๙ / พ.ศ. ๒๕๖๑

*บ. บ.* ..... กรรมการ

(ผู้ช่วยศาสตราจารย์ ดร.เอกพันธ์ แก้วมณีชัย)

๒๙ / พ.ศ. ๒๕๖๑

47403201 : สาขาวิชาเทคโนโลยีอาหาร

คำสำคัญ : ก่าวีย์เดียว/รีโทรกราเดชัน/สารลดแรงตึงผิว/ลักษณะเนื้อสัมผัส/การยึดอายุการเก็บ

กันการรอน ณ พัทลุง : การศึกษากระบวนการยึดอายุการเก็บผลิตภัณฑ์เส้นก่าวีย์เดียวสอด  
สำหรับอุตสาหกรรมขนาดกลางและขนาดเล็ก. อาจารย์ที่ปรึกษาวิทยานิพนธ์ : ผศ.ดร.ปริญดา  
เพ็ญใจน์, ผศ.ดร.สุเชษฐ์ สมุหเสนีโต และ ผศ.ดร.เอกพันธ์ แก้วมณีชัย. 115 หน้า.

เส้นก่าวีย์เดียวสอดมีอายุการเก็บรักษาสั้น การเก็บเส้นก่าวีย์เดียวในตู้เย็นทำให้เกิดการเปลี่ยนแปลงของลักษณะเนื้อสัมผัสรอย่างรวดเร็วตามเป็นแข็งเปราะและมีความเหนียวคล่องเนื่องจาก การเกิดรีโทรกราเดชัน งานวิจัยนี้มีวัตถุประสงค์เพื่อศึกษาผลของระยะเวลาการเก็บรักษา (0, 24, 48, 72, 96 และ 120 ชั่วโมง) และอุณหภูมิในการเก็บรักษา (9, 30 และ 40 °C) ต่ออัตราการเกิดรีโทรกราเดชันของเส้นก่าวีย์เดียวและศึกษาอิทธิพลของสารลดแรงตึงผิว (surfactants) ต่อคุณภาพของเส้นก่าวีย์เดียว ในระหว่างการเก็บรักษา โดยวิเคราะห์ด้วยเครื่องวิเคราะห์ลักษณะเนื้อสัมผัส X-ray Diffraction และ DSC พบว่าเมื่อระยะเวลาการเก็บเส้นก่าวีย์เดียวเพิ่มขึ้น ค่าแรงกดสูงสุด ณ จุดที่เส้นก่าวีย์เดียวขาดมีค่าเพิ่มขึ้น แต่ค่าระหบทางสูงสุด ณ จุดที่เส้นก่าวีย์เดียวขาดมีค่าลดลง โดยเส้นก่าวีย์เดียวที่เก็บที่อุณหภูมิต่ำมีการเปลี่ยนแปลงลักษณะเนื้อสัมผัสร้ากว่าเส้นก่าวีย์เดียวที่เก็บที่อุณหภูมิสูง และพบว่าที่อุณหภูมิ 9 °C เท่าน Endothermic peak ชัดเจนที่สุด ขณะที่อุณหภูมิ 40 °C ไม่พบ Endothermic peak ตลอดระยะเวลาการเก็บ ค่าอ่อนห�력 ( $\Delta H$ ) ของการเกิดรีโทรกราเดชันเพิ่มขึ้นตามระยะเวลาการเก็บเส้นก่าวีย์เดียว ข้อมูลจาก X-ray diffraction แสดงให้เห็นว่าการเก็บเส้นก่าวีย์เดียวที่อุณหภูมิต่ำเร่งอัตราการเกิดรีโทรกราเดชัน การเติม surfactants (SSL, GMS และ MG) ทำให้ค่า  $\Delta H$  ของการเกิดรีโทรกราเดชันและปริมาณฟลักของการเกิดรีโทรกราเดชันในเส้นก่าวีย์เดียวลดลง SSL, GMS และ MG สามารถชะลอการเกิดรีโทรกราเดชันในเส้นก่าวีย์เดียวระหว่างการเก็บรักษา โดยการเติม SSL 0.5%, GMS 0.2% และ MG 0.5% ทำให้เส้นก่าวีย์เดียวมีค่าแรงกดสูงสุด ณ จุดที่เส้นก่าวีย์เดียวขาดต่ำที่สุดและมีค่าระหบทางสูงสุด ณ จุดที่เส้นก่าวีย์เดียวขาดสูงสุดและทำให้ค่า  $\Delta H$  ของการเกิดรีโทรกราเดชันต่ำลง การเติม SSL ลดค่า  $\Delta H$  ของการเกิดรีโทรกราเดชันได้มากกว่าการเติม GMS และ MG และพบว่าเพื่อที่ผลึกชนิด V-type ของเส้นก่าวีย์เดียวที่เติม SSL 0.5% มีค่าสูงสุด ซึ่งสนับสนุนว่าการเติม surfactants ช่วยชะลอการเกิดรีโทรกราเดชันในเส้นก่าวีย์เดียวได้เนื่องจากเกิดสารประกอบเชิงช้อนของ surfactant กับอะมิโนสากวิชาเทคโนโลยีอาหาร บัณฑิตวิทยาลัย มหาวิทยาลัยศิลปากร ปีการศึกษา 2550

ลายมือชื่อนักศึกษา..... พ.ศ. ....

ลายมือชื่ออาจารย์ที่ปรึกษาวิทยานิพนธ์ 1. ป. .... 2. บ. .... 3. บ. ....

47403201 : MAJOR : FOOD TECHNOLOGY

KEY WORD : NOODLE/RETROGRADATION/SURFACTANTS/TEXTURE/SHELF LIFE  
EXTENSION

KANOKWAN NA PHATTHALUNG : The Study of Shelf life Extension of Fresh Noodle Produced by SMEs. THESIS ADVISORS : ASST.PROF. PARINDA PENROJ, Ph.D., ASST.PROF. SUCHEP SAMUHASANEETOO, Ph.D. AND ASST.PROF. EAKAPHAN KEOWMANEECHAI, Ph.D. 115 pp.

Fresh noodle has short shelf life. To extend noodle shelf life by keeping in a refrigerator causes noodle texture rapidly becomes tough and less sticky. This change is due to retrogradation. The objective of this research was to study effect of storage time (0, 24, 48, 72, 96 and 120 hours) and storage temperature (9, 30 and 40 °C) on retrogradation rate in noodle and to study effect of surfactants on noodle quality during storage using Texture Analyzer, X-ray Diffraction and DSC. It was found that breaking force increased with storage time but breaking distance decreased with storage time. Texture of noodle which was kept at low temperature changed more rapidly than that at high temperature. Endothermic peak of noodle kept at 9 °C was obviously observed while that at 40 °C was not. Enthalpy of retrogradation increased with time of storage. Data from X-ray Diffraction supported that keeping noodle at low temperature accelerated retrogradation rate. Addition of approved surfactants (SSL, GMS and MG) lowered the enthalpy of retrogradation and the crystallinity of noodle. SSL, GMS and MG could retard the retrogradation in noodle during storage. Addition of 0.5% SSL, 0.2% GMS, and 0.5% MG minimized breaking force and maximized breaking distance of noodle and lowered the enthalpy of retrogradation. SSL lowered the enthalpy of retrogradation more than GMS or MG. V-type crystalline area of noodle with added 0.5% SSL was the highest. This evidence supported that the retardation of retrogradation in noodle by addition of surfactants is the result of surfactant and amylose complex formation.

Department of Food Technology Graduate School, Silpakorn University Academic Year 2007

Student's signature ...*kanokwan*.....  
Thesis Advisors' signature 1. ....*Parinda*.... 2. ....*Eakaphan*.... 3. ....*Keowmaneechai*....

## กิตติกรรมประกาศ

ข้าพเจ้าขอขอบพระคุณ ผศ.ดร.ปริญญา เพ็ญโจน์ และ ผศ.ดร.อุเทนรุ๊ สุมหเสนีโถ ที่ได้  
สละเวลาอันมีค่าให้ความรู้ คำปรึกษา และความช่วยเหลือ ตลอดจนข้อเสนอแนะต่างๆ ในการ  
ทำงานวิจัย งานระทั้งงานวิจัยนี้สำเร็จลุล่วงไปได้ด้วยดี

ขอขอบพระคุณคณะกรรมการและคณาจารย์ภาควิชาเทคโนโลยีอาหารทุกท่านที่ได้ให้  
ความรู้และคำชี้แนะด้านต่างๆ เสนอมา

ขอขอบพระคุณแหล่งทุนวิจัยสำนักงานกองทุนสนับสนุนการวิจัยภายใต้โครงการทุน  
วิจัยมหาบัณฑิตศกร. สาขาวิทยาศาสตร์และเทคโนโลยี ประจำปี 2548

ขอขอบคุณพี่ๆ เจ้าหน้าที่สำนักงาน เจ้าหน้าที่ห้องปฏิบัติการของภาควิชาเทคโนโลยีอาหาร  
ทุกท่าน และเพื่อนๆ ทุกคน ที่ให้กำลังใจ กำลังกาย และความช่วยเหลือด้านต่างๆ

และสุดท้ายนี้ขอขอบพระคุณบิความรดาที่ช่วยส่งเสริมทางด้านการศึกษาและค่อยให้  
กำลังใจตลอดมา

## สารบัญ

	หน้า
<b>บทคัดย่อภาษาไทย.....</b>	<b>๑</b>
<b>บทคัดย่อภาษาอังกฤษ .....</b>	<b>๑</b>
<b>กิตติกรรมประกาศ .....</b>	<b>๗</b>
<b>สารบัญตาราง.....</b>	<b>๘</b>
<b>สารบัญรูป.....</b>	<b>๙</b>
<b>บทที่</b>	
<b>1      บทนำ .....</b>	<b>1</b>
<b>ความเป็นมาและความสำคัญของปัจจุหา.....</b>	<b>1</b>
<b>วัตถุประสงค์.....</b>	<b>2</b>
<b>สมมติฐานการศึกษา.....</b>	<b>2</b>
<b>ขอบเขตการศึกษา .....</b>	<b>3</b>
<b>2      เอกสารและงานวิจัยที่เกี่ยวข้อง .....</b>	<b>4</b>
<b>ลักษณะทั่วไปของข่าวและแบ่งข้าว .....</b>	<b>4</b>
<b>คุณสมบัติของแบ่งข้าวเจ้าที่เหมาะสมต่อการผลิตก๋วยเตี๋ยว .....</b>	<b>7</b>
<b>ก๋วยเตี๋ยว.....</b>	<b>10</b>
<b>วัตถุคิน.....</b>	<b>11</b>
<b>วิธีการผลิต .....</b>	<b>12</b>
<b>การเก็บรักษา.....</b>	<b>15</b>
<b>ผลของการเก็บรักษา.....</b>	<b>17</b>
<b>ปัจจัยที่มีผลต่อการเก็บรักษา.....</b>	<b>17</b>
<b>ปัจจัยที่มีผลต่อกุญแจภาพเจล .....</b>	<b>19</b>
<b>การตรวจสอบการเก็บรักษาของเจล .....</b>	<b>21</b>
<b>ผลงานศาสตร์การเก็บรักษาของศาสตราจารย์ .....</b>	<b>25</b>
<b>surfactants.....</b>	<b>26</b>
<b>ชนิดของ surfactants .....</b>	<b>27</b>
<b>หน้าที่ของ surfactants .....</b>	<b>35</b>
<b>กลไกของ surfactants ในการป้องกันการเก็บรักษา.....</b>	<b>36</b>

## สารบัญ (ต่อ)

บทที่		หน้า
3	วัสดุคืน อุปกรณ์ และวิธีการ .....	38
	วัสดุคืนและสารเคมี.....	38
	อุปกรณ์และเครื่องมือ.....	39
	วิธีการทดลอง.....	39
	ศึกษาผลของอุณหภูมิและเวลาในการเกิดรีโทรกราเดชันต่อกุญภาพของเส้นกวยเตี๋ยว .....	39
	ศึกษาผลของชนิดและปริมาณสาร surfactants ต่อการเกิดรีโทรกราเดชันของเจลเป็นข้าวและกุญภาพของเส้นกวยเตี๋ยว.....	41
	การวิเคราะห์ผลทางสถิติ .....	43
4	ผลและวิจารณ์.....	44
	ผลของอุณหภูมิและเวลาในการเกิดรีโทรกราเดชันต่อกุญภาพของเส้นกวยเตี๋ยว ....	44
	ผลของพื้นฐานของแป้งข้าวเจ้าตราช้างสามเศียรชนิดไม่น้ำทางด้านเคมี เกมีกายภาพ และกายภาพ .....	44
	ผลของอุณหภูมิและเวลาในการเกิดรีโทรกราเดชันต่อกุญภาพของเส้นกวยเตี๋ยว.....	48
	ผลของชนิดและปริมาณสาร surfactants ต่อการเกิดรีโทรกราเดชันของเจลเป็นข้าวและกุญภาพของเส้นกวยเตี๋ยว.....	55
5	สรุปผลการศึกษา.....	78
	บรรณานุกรม .....	79
	ภาคผนวก.....	92
	ภาคผนวก ก การวิเคราะห์คุณสมบัติของแป้งข้าวเจ้า .....	92
	ภาคผนวก ข การวิเคราะห์คุณภาพของเส้นกวยเตี๋ยว.....	101
	ภาคผนวก ค ผลทางสถิติ .....	104
	ประวัติผู้เขียน.....	115

## สารบัญตาราง

ตารางที่		หน้า
1	ความแตกต่างของอะมิโลสและอะมิโลเพกติน .....	6
2	ชนิดของ surfactants .....	28
3	องค์ประกอบทางเคมีของแป้ง.....	44
4	ระยะทางที่แป้งไหล .....	45
5	ความคงตัวของเจลแป้ง .....	45
6	อิทธิพลของระยะเวลาและอุณหภูมิการเก็บต่อปริมาณความชื้นของเส้นก้าวเดียว...	48
7	อิทธิพลของระยะเวลาและอุณหภูมิการเก็บต่อถักยณะเนื้อสัมผัสของเส้นก้าวเดียว	50
8	อิทธิพลของระยะเวลาและอุณหภูมิการเก็บต่อค่า $\Delta H$ , $T_o$ , $T_p$ , และ $T_c$ .....	52
9	อิทธิพลของระยะเวลาการเก็บต่อปริมาณผลึกของก้าวเดียวเก็บที่อุณหภูมิ $9^{\circ}\text{C}$ .....	55
10	อิทธิพลของ surfactants ต่อความหนืดของแป้งข้าวเมื่อวัดค่าเยื่อ RVA .....	56
11	อิทธิพลของ surfactants ต่อถักยณะเนื้อสัมผัสของเส้นก้าวเดียวที่เก็บที่อุณหภูมิ.... $9^{\circ}\text{C}$ .....	63
12	อิทธิพลของ surfactants ต่อถักยณะเนื้อสัมผัสของเส้นก้าวเดียวที่เก็บที่อุณหภูมิ.... $30^{\circ}\text{C}$ .....	63
13	อิทธิพลของ surfactants ต่อถักยณะเนื้อสัมผัสของเส้นก้าวเดียวที่เก็บที่อุณหภูมิ.... $40^{\circ}\text{C}$ .....	64
14	อิทธิพลของ surfactants ต่อค่า $\Delta H$ .....	63
15	อิทธิพลของ surfactants ต่อค่า $T_o$ .....	66
16	อิทธิพลของ surfactants ต่อค่า $T_p$ .....	67
17	อิทธิพลของ surfactants ต่อค่า $T_c$ .....	68
18	อิทธิพลของ surfacants ต่อปริมาณผลึกชนิดของเส้นก้าวเดียวที่เก็บที่อุณหภูมิ $9^{\circ}\text{C}$	73
19	Avrami exponent ( $n$ ) และเวลาคงที่ ( $k$ ) ของเส้นก้าวเดียว..... ....	77

## สารบัญ

รูปที่		หน้า
1	โครงสร้างอะมิโลส .....	5
2	โครงสร้างอะมิโลเพกติน .....	5
3	รูปแบบความหนืดของแป้งชนิดต่างๆ วัดด้วยเครื่องนับร่าเบนเดอร์ อะมิโลกราฟ .....	10
4	การเกิดรีไทร์กราเดชันของสตารช .....	15
5	ความสัมพันธ์ค่ามอลคูลัสกับอุณหภูมิ Tg และ Tm .....	16
6	โครงสร้างของ GMS .....	29
7	ปฏิกิริยาการเกิด MG .....	30
8	การเกิดสารประกอบเชิงซ้อนของ MG กับอะมิโลส .....	31
9	สูตรทางเคมีของ SSL .....	32
10	สูตรทางเคมีของ lecithin .....	33
11	สูตรทางเคมีของ DATEM .....	34
12	สูตรทางเคมีของ sucrose ester ของครค ไนมัน .....	35
13	ผลกำลังการพองตัวของแป้ง .....	47
14	ผลค่าการละลายของแป้งข้าว .....	47
15	X-ray Diffractogram ของเส้นก้าวเดี่ยวเก็บที่อุณหภูมิ 9 °C เป็นระยะเวลาต่างๆ .....	54
16	การเปลี่ยนแปลงความหนืดของแป้งและแป้งที่เติม SSL 0.3, 0.5 และ 0.7% .....	57
17	การเปลี่ยนแปลงความหนืดของแป้งและแป้งที่เติม GMS 0.2, 0.4 และ 0.5% .....	58
18	การเปลี่ยนแปลงความหนืดของแป้งและแป้งที่เติม MG 0.1, 0.3 และ 0.5% .....	58
19	X-ray Diffractogram ของเส้นก้าวเดี่ยวที่เติม SSL 0.5% เก็บที่ 9 °C เป็นระยะเวลาต่างๆ .....	71
20	X-ray Diffractogram ของเส้นก้าวเดี่ยวที่เติม GMS 0.2% เก็บที่ 9 °C เป็นระยะเวลาต่างๆ .....	72
21	X-ray Diffractogram ของเส้นก้าวเดี่ยวที่เติม MG 0.5% เก็บที่ 9 °C เป็นระยะเวลาต่างๆ .....	72
22	G' ของเจลแป้งข้าวที่อุณหภูมิ 9 °C เป็นเวลา 10 ชั่วโมง .....	75

### สารบัญรูป (ต่อ)

รูปที่		หน้า
23	$G''$ ของเจลแป้งข้าวที่อุณหภูมิ $9^{\circ}\text{C}$ เป็นเวลา 10 ชั่วโมง .....	75
24	$\tan \delta$ ของเจลแป้งข้าวที่อุณหภูมิ $9^{\circ}\text{C}$ เป็นเวลา 10 ชั่วโมง .....	76
25	ผลการทดสอบลักษณะเนื้อสัมผัสของเส้นก้าวเดี่ยวคัวบิเครื่อง Texture Analyzer...	102

## บทที่ 1

### บทนำ

#### 1.1 ความเป็นมาและความสำคัญของปัจจัย

ประเทศไทยเป็นประเทศที่ผลิตข้าวที่สำคัญ เนื่องจากว่าคนไทยนิยมบริโภคข้าวเป็นอาหารหลัก อีกทั้งข้าวยังเป็นพืชเศรษฐกิจที่ทำรายได้ให้กับประเทศไทย โดยประเทศไทยเป็นประเทศผู้ส่งออกข้าวยรายใหญ่ที่สุดของโลก (สถาบันอาหาร, 2550) นอกจากนี้ในปัจจุบันยังมีการส่งเสริมให้มีการใช้ประโยชน์จากข้าว โดยนำมาเปรรูปเป็นผลิตภัณฑ์ต่างๆ เช่น ผลิตภัณฑ์อาหารสัน ได้แก่ เส้นก๋วยเตี๋ยว เส้นหมี่ และขนมจีน เป็นต้น พบว่าก๋วยเตี๋ยวเป็นผลิตภัณฑ์ที่นิยมบริโภคกันมาก โดยนิยมบริโภครองลงมาจากการบริโภคข้าว แต่อย่างไรก็ตามปัจจุบันที่สำคัญของเส้นก๋วยเตี๋ยว คือ มีอาชญากรรมเก็บรักษาสัน เมื่อเก็บในตู้เย็นมีลักษณะแข็งกระด้าง ต้องมีการผลิตในลักษณะแบบวันต่อวัน เนื่องจากเกิดการเปลี่ยนแปลงคุณภาพในระหว่างการเก็บรักษาโดยเกิดริโตรกราเดชัน (retrogradation)

การเกิดริโตรกราเดชันเกิดเมื่อผลิตภัณฑ์จากแป้งได้รับความร้อนจนถึงอุณหภูมิที่เกิดเจลาตินайเซชัน (gelatinization) แล้วให้ความร้อนต่อไป ทำให้เม็ดแป้งหดตัวเพิ่มขึ้นจนถึงจุดที่พองตัวเต็มที่และแตกออก โมเลกุลของอะมิโลส (amylose) ขนาดเล็กจะจัดเรียงตัวกันเป็นโครงสร้างของห่วงโซ่ โมเลกุลอะมิโลสที่อยู่ใกล้กันจะเกิดการจับเรียงตัวกันใหม่ด้วยพันธะไฮโดรเจนระหว่างโมเลกุล โครงสร้างใหม่นี้สามารถอุ่นน้ำและไม่มีการดูดน้ำเข้ามาอีก มีความหนืดคงตัวมากขึ้น (กล้ามวงศ์ และ เกื้อกูล, 2546) ทำให้มีผลต่อลักษณะเนื้อสัมผัส คุณภาพ และการยอมรับของผู้บริโภค ผลิตภัณฑ์มีคุณภาพเสื่อมลง เนื้อสัมผัสและคุณภาพของผลิตภัณฑ์ไม่เป็นที่ยอมรับของผู้บริโภค ผลิตภัณฑ์สูญเสียความสามารถในการอุ่นน้ำ (Guðmundsson, 1994) มีรายงานการวิจัยพบว่าการเติม surfactants สามารถลดการแข็งตัวของแป้งเมื่อเก็บเป็นระยะเวลานาน (Joensson และ Toernase, 1987; Krog และคณะ, 1989; Langhans และ Thalheimer, 1971; Lorenz, 1983; Roach และ Hoseney, 1995) โดยการเติมไขมันหรือการเติม surfactants มีผลต่อการเกิดริโตรกราเดชัน เมื่อวัดด้วย Differential Scanning Calorimeter (DSC) พบว่าเอนталปี (enthalpy,  $\Delta H$ ) ในการเกิดริโตรกราเดชันของอะมิโลเพกติน (amylopectin) ลดลง และขนาดของ

เอนโดเทอร์ม (endotherm) ที่เกี่ยวข้องกับสารประกอบเชิงซ้อนของอะมิโลสกับไขมันเพิ่มขึ้น (Eliasson, 1983; Russell, 1983) Gray และ Bemiller (2003) พบว่าการเติม surfactants ในไขมันปั่ง เกิดสารประกอบเชิงซ้อนระหว่าง surfactants กับอะมิโลส ทำให้เกิดเป็นพันธะที่แข็งแรง ช่วย ป้องกันการละลายและหลุดออกของอะมิโลส เม็ดสตาร์ซึ่งมีการพองตัวลดลง และพอดิเมอร์ของ สตาร์ซึ่งการเคลื่อนที่น้อยลง ช่วยลดอัตราการแข็งตัวของไขมันปั่งในระหว่างการเก็บรักษา กลไก การเกิดสารประกอบเชิงซ้อนของ surfactants กับไขมันเดกูลอะมิโลส เกิดเนื่องจากโครงสร้างบางส่วน ของ surfactants ซึ่งเป็นส่วนที่ไม่ชอบน้ำถูกผลักให้เข้าไปภายในโครงสร้างที่เป็นเกลียวของอะมิ- โลส อีกส่วนหนึ่งของสาร surfactants ซึ่งเป็นส่วนที่ชอบน้ำจะยึดอุณหภูมิค้านออก ทำให้สามารถ เกิดพันธะไไซโตรเจนกับโมเดกูลน้ำเกิดการคุกซับน้ำไว้ในโมเดกูลอะมิโลส ทำให้ surfactants ที่เติม ลงไปลดการเกิดรีโทรกราเดชัน (Krog, 1981)

งานวิจัยที่ผ่านมาเป็นการใช้ surfactants ลดการแข็งตัวในไขมันปั่ง ซึ่งเป็นผลิตภัณฑ์ที่หาก แบ่งสาลีมีองค์ประกอบที่แตกต่างจากแป้งข้าวเจ้าที่ใช้ทำเส้นก๋วยเตี๋ยว ดังนั้นในงานวิจัยนี้จึงได้ ศึกษาผลของสภาวะการเก็บต่อการเกิดรีโทรกราเดชันของเส้นก๋วยเตี๋ยวและศึกษาอิทธิพลของ surfactants ต่อการเกิดรีโทรกราเดชันของเส้นก๋วยเตี๋ยวเพื่อปรับปรุงคุณภาพในระหว่างการเก็บรักษา

## 1.2 วัตถุประสงค์ของการศึกษา

- 1.2.1 เพื่อศึกษาผลของสภาวะการเก็บต่อการเกิดรีโทรกราเดชันของเส้นก๋วยเตี๋ยว
- 1.2.2 เพื่อศึกษาอิทธิพลของ surfactants ต่อการเกิดรีโทรกราเดชันของเส้นก๋วยเตี๋ยว
- 1.2.3 เพื่อปรับปรุงคุณภาพเส้นก๋วยเตี๋ยวในระหว่างการเก็บรักษาที่อุณหภูมิต่ำ

## 1.3 สมมุติฐานของการศึกษา

- 1.3.1 อุณหภูมิและระยะเวลาการเก็บมีผลต่อการเกิดรีโทรกราเดชันของเส้นก๋วยเตี๋ยว
- 1.3.2 ชนิดและปริมาณสาร surfactants มีผลต่อการเกิดรีโทรกราเดชันของเส้นก๋วยเตี๋ยว
- 1.3.3 การระดับการเกิดรีโทรกราเดชันในระหว่างการเก็บรักษาที่อุณหภูมิต่ำจะช่วยยืดอายุ การเก็บรักษาเส้นก๋วยเตี๋ยวสลด ได้จากการเสื่อมเสียทางกายภาพ

#### 1.4 ขอบเขตการศึกษา

1.4.1 ศึกษาผลของอุณหภูมิและระยะเวลาการเก็บต่อการเกิดริโตรกราเดชันของเส้นก้าวเดี่ยว โดยทำการทดลองเบริบเทียนที่อุณหภูมิ 9, 30 และ 40 °C เป็นระยะเวลา 0, 24, 48, 72, 96 และ 120 ชั่วโมง

1.4.2 ศึกษาผลของชนิดและปริมาณสาร surfactants ต่อการเกิดริโตรกราเดชันของเส้นก้าวเดี่ยว โดยทำการทดลองเบริบเทียนก้าวเดี่ยวที่ไม่เติม surfactants กับก้าวเดี่ยวที่เติม surfactants 3 ชนิด คือ monoglyceride (MG) ที่ระดับ 0.1 %, 0.3% และ 0.5%, sodium steroyl-2-lactylate (SSL) ที่ระดับ 0.3%, 0.5% และ 0.7% และ glycerol monostearate (GMS) ที่ระดับ 0.08%, 0.2% และ 0.4% เก็บที่อุณหภูมิ 9, 30 และ 40 °C เป็นระยะเวลา 0, 24, 48, 72, 96 และ 120 ชั่วโมง

## บทที่ 2

### เอกสารและงานวิจัยที่เกี่ยวข้อง

#### 2.1 ลักษณะทั่วไปของข้าวและแป้งข้าว

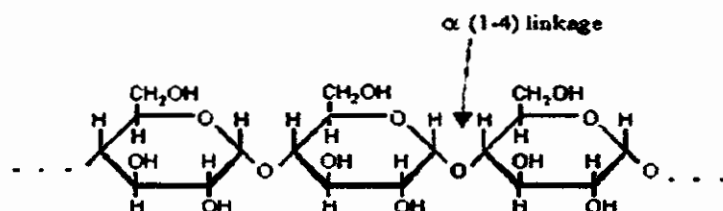
ข้าวเป็นอาหารหลักของประชากรในแถบเอเชียเป็นรัญชาติที่มีหลายพันธุ์ จึงมีองค์ประกอบน และลักษณะทางเคมีที่แตกต่างกันอย่างมากเมื่อเทียบกับรัญชาติอื่นๆ ข้าวที่รับประทานกันอยู่มี 2 สายพันธุ์ คือ *Oryza glaberrima* ปลูกเฉพาะในเขตวอนของแอฟริกาท่านั้น และ *Oryza sativa* จะ ปลูกในเอเชียเป็นส่วนใหญ่ *Oryza sativa* ยังแบ่งออกได้ดังนี้ คือ *Oryza sativa japonica* ปลูกมาก ในเขตตอนอุ่น ได้แก่ ประเทศไทย ส่วน *Oryza sativa indica* ปลูกมากในเขตวอน ได้แก่ ประเทศไทย อินเดีย ลาว และพม่า ส่วน *Oryza sativa javanica* ปลูกในประเทศไทย โคนีเชีย (แปรรูป, 2538)

คุณภาพทางเคมีของเมล็ดข้าวมีความสัมพันธ์และสำคัญอย่างยิ่งต่อคุณลักษณะการหุงต้ม การรับประทาน และการนำข้าวไปแปรรูปเป็นผลิตภัณฑ์ต่างๆ ซึ่งขึ้นอยู่กับส่วนประกอบและ สมบัติของสารชั้นในเมล็ดข้าว เมล็ดข้าวมีส่วนประกอบของสารชั้นประมาณ 90% เม็ดสารชั้นมี ขนาด 3-9 ในครอง อยู่อัดกันแน่นเป็นกลุ่มภายในส่วนที่เป็น starchy endosperm ในเนื้อข้าว เรียกว่า compound มีรูปร่างเป็นโพลิhedron (polyhedron) บริเวณเนื้อข้าวน้ำดูของเม็ดสารชั้นจะ เล็กกว่าส่วนครองกลาง โดยเฉพาะบริเวณที่อยู่ใกล้กับหัวหรือจนูกข้าวจะมีขนาดเล็กที่สุด (เสนา, 2522)

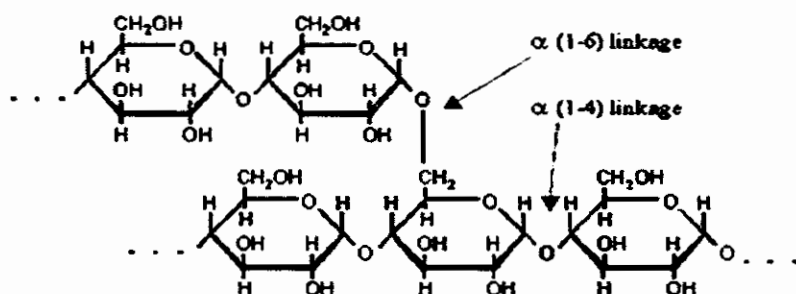
##### สารชั้นในเมล็ดข้าวประกอบด้วยองค์ประกอบส่วนใหญ่ 2 ส่วนคือ

2.1.1 อะมิโลส เป็นพอลิเมอร์ของน้ำตาลกลูโคสประมาณ 2,000 หน่วยซึ่งรวมต่อกันด้วย พันธะกลูโคซิດิก (glucosidic linkage) ชนิด  $\alpha$ -1,4 ที่ไม่เลกูลั่นเรียงเป็นเส้นตรง มีสูตรโครงสร้าง ดังรูปที่ 1 ตำแหน่งของอะมิโลสภายในเม็ดสารชั้นอยู่กับสายพันธุ์ อะมิโลสบางส่วนอยู่ในกลุ่ม ของอะมิโลเพคติน บางส่วนกระชาขอยู่ทั้งในส่วนอ่อนช้ำและส่วนผลึก (กล้ามรังค์ และเกือกุล, 2546)

2.1.2 อะมิโลเพคติน เป็นพอลิเมอร์ของน้ำตาลกลูโคสที่ไม่เลกูลั่นเรียงเป็นกิ่งก้าน มีสูตร โครงสร้างดังรูปที่ 2 ส่วนที่เป็นเส้นตรงของกลูโคสซึ่งรวมต่อกันด้วยพันธะกลูโคซิດิกชนิด  $\alpha$ -1,4 และส่วนที่เป็นกิ่งสาขาที่เป็นพอลิเมอร์กลูโคสสายสั้น มีขนาดไม่เลกูลอยู่ในช่วง 10 ถึง 60 หน่วย



รูปที่ 1 โครงสร้างของอะมิโลส  
ที่มา : กล้ามรังค์ และ เกื้อฤทธิ์ (2546)



รูปที่ 2 โครงสร้างของอะมิโลเพคติน  
ที่มา : กล้ามรังค์ และ เกื้อฤทธิ์ (2546)

เชื่อมต่อกันด้วยพันธะกลูโคซิเดิกชนิด  $\alpha$ -1,6 (กล้ามรังค์ และ เกื้อฤทธิ์, 2546) ซึ่งอะมิโลเพคตินจะมีคุณสมบัติทางเคมีกายภาพที่แตกต่างจากอะมิโลส ดังแสดงในตารางที่ 1

ปริมาณอะมิโลสเป็นปัจจัยที่สำคัญในการอธิบายคุณภาพในการหุงต้มของข้าว (Juliano, 1965) ข้าวที่มีปริมาณอะมิโลสต่ำ เมื่อหุงเป็นข้าวสุกแล้วจะนุ่มนิ่ว และเลื่อนมัน ในขณะที่ ข้าวอะมิโลสสูง เมื่อหุงเป็นข้าวสุกจะร่วนและแข็ง (งานชื่น, 2529) ดังนั้นจึงใช้ปริมาณ อะมิโลส เป็นพื้นฐานในการแบ่งข้าว โดย International rice research institute (1971) แบ่งข้าวตามปริมาณ อะมิโลสเป็น 4 ชนิด คือ ข้าวอะมิโลสต่ำ มีปริมาณอะมิโลสต่ำกว่า 20% ข้าวอะมิโลสปานกลาง มีอะมิโลส 20-25% ข้าวอะมิโลสสูงปานกลาง มีอะมิโลส 25-27% และข้าวอะมิโลสสูง มีอะมิโลส สูงกว่า 27% ขึ้นไป ข้าวแต่ละประเภทมีคุณภาพในการหุงต้มและคุณภาพของผลิตภัณฑ์ที่แตกต่าง กันไป เช่น ผลิตภัณฑ์ก้าวเดียวที่นิยมใช้ข้าวที่มีปริมาณอะมิโลสสูง เนื่องจากข้าวที่มีปริมาณอะมิโลสสูงการขยายตัวของแป้งเป็นไปอย่างนั่นคง แข็งแรง และไม่ยุบตัวง่าย สามารถด้านทานการ

ตารางที่ 1 ความแตกต่างของอะมิโน酇และอะมิโน酇คิน

คุณสมบัติ	อะมิโน酇	อะมิโน酇คิน
ลักษณะโครงสร้าง	สารประกอบของน้ำตาล กลูโคสเกาเกกันเป็นเด็นตรง	สารประกอบของน้ำตาล กลูโคสเกาเกกันเป็นกิงกาน
พันธะที่จับ	$\alpha$ -1,4	$\alpha$ -1,4 และ $\alpha$ -1,6
ขนาด	200-2,000 หน่วยกลูโคส	มากกว่า 10,000 หน่วยกลูโคส
การละลาย	ละลายน้ำได้ดีกว่า	ละลายน้ำได้ดีกว่า
การทำปฏิกิริยากับไอโอดีน	สีน้ำเงิน	สีแดงน่วง
การจับตัว	เมื่อให้ความร้อนแล้วทิ้งไว้จะ จับตัวเป็นรุ่นและแผ่นแข็ง	ไม่จับตัวเป็นแผ่นแข็ง

ที่มา: ก้าวแรก และ เกือกoot (2546)

แตกต่างของเม็ดสตาร์ทที่อุณหภูมิสูงได้มาก สามารถทำเป็นแผ่นได้ดี (พิมพ์เพญ, 2533) นอกเหนือนี้ยังพบว่าข้าวแค่ละพันธุ์ที่มีอะมิโน酇สูงมีความแตกต่างกันในระหว่างการหุงต้ม และการรับประทาน ดังนั้นปริมาณอะมิโน酇เพียงอย่างเดียวจึงไม่สามารถตัดสินคุณภาพของข้าวได้ International rice research institute (1971) ได้ทดสอบคุณภาพการรับประทานโดยใช้การทดสอบ ความคงตัวของแป้งสุก โดยศึกษาจากข้าวหุงสุก ถ้าข้าวหุงสุกมีลักษณะนุ่มนวล แป้งสุกจะไหลได้ระยะ ทางยาว และคงว่ามีความคงตัวของแป้งสุกต่ำ ส่วนข้าวหุงสุกที่มีลักษณะแข็ง แป้งสุกจะไหลได้ระยะ ทางสั้นหรือมีความคงตัวของแป้งสุกสูง ดังนั้นสามารถแบ่งข้าวตามลักษณะความคงตัวของแป้งสุก ดังนี้ คือ พากที่มีความคงตัวสูงไหลได้ 26-35 มิลลิเมตร พากที่มีความคงตัวปานกลางไหลได้ 36-50 มิลลิเมตร และพากที่มีความคงตัวต่ำไหลได้ 51 มิลลิเมตรขึ้นไป เมื่อจากปริมาณอะมิโน酇เป็น ปัจจัยที่สำคัญที่สุดที่ทำให้ข้าวมีคุณภาพแตกต่างกัน ความคงตัวของแป้งสุกจึงใช้ทดสอบข้าวที่มี ปริมาณอะมิโน酇สูง (งามชื่น, 2529)

การนำข้าวมาแปรรูปขึ้นดันจะได้เป็นผลิตภัณฑ์แป้งข้าว ตามมาตรฐานผลิตภัณฑ์ อุตสาหกรรม (มอก. 638, 2529) ได้ให้ความหมายแป้งข้าวไว้ว่า เป็นแป้งที่นำข้าวอาจเป็นข้าว เต็มเมล็ด ดันข้าว ข้าวหักใหญ่ ข้าวหักหรือปลวยข้าว ซึ่งการแปรรูปขึ้นดันของข้าวยังไม่สามารถ นำมาบริโภคได้โดยตรง ต้องนำไปแปรรูปเป็นผลิตภัณฑ์อาหาร กึ่งอาหาร และไม่ใช่อาหาร โดย การนำข้าวมาทำความสะอาด แล้วจากนั้นเป็นขั้นตอนการไม่ให้เป็นแป้ง ซึ่งทำได้ 3 วิธี (อรอนงค์, 2547)

วิธีที่ 1 การ โน้มแห้ง เป็นการนำข้าวหักที่ผ่านกระบวนการทำความสะอาดในระบบแห้งด้วย เครื่องแยกชนิดต่างๆ แล้วเข้าสู่เครื่อง โน่หรือบดแห้ง ได้เป็นแป้ง พ่าง จากนั้นร่อนผ่านเครื่องร่อนให้มี ขนาดสม่ำเสมอ (180 ไมโครเมตร) เนื่องจากวัตถุคุณเป็นปลายข้าวที่เป็นผลพลอยได้จากการสีข้าว ดังนั้นจึงมักมีสิ่งเจือปนอยู่มาก แป้งที่ได้จึงมีความสะอาดค่า เมล็ดข้าวซึ่งมีความเกรงอยู่มาก ทำให้ ยากลำบากที่จะทำให้แตกละลายด แป้งที่ได้จากการ โน่จึงมักเป็นแป้งหยาบ นอกจากนี้ ใช้แมลงที่ติด นา กับเมล็ดข้าวซึ่งสามารถพัฒนาเป็นหนอนเมื่อเก็บไว้ช่วงระยะเวลาไม่นาน อีกทั้งไขมันที่เหลือใน เมล็ดข้าวเกิดปฏิกิริยาของกซิเดชันทำให้เกิดกลิ่นเหม็นหืนง่าย ในประเทศไทยจึงไม่นิยมใช้แป้งข้าว ชนิด โน้มแห้ง (งานชื่น, 2541)

วิธีที่ 2 การ โน่เปียกหรือการ โน่น้ำ เป็นวิธีการที่ใช้ในการผลิตแป้งข้าวเป็นส่วนใหญ่ โดย เนพาะอย่างยิ่ง ในประเทศไทย เนื่องจากวัตถุคุณที่ใช้ส่วนใหญ่เป็นข้าวหัก ซึ่งเป็นผลพลอยได้จากการ สีข้าว โดยบั้งมีสิ่งเจือปนมาก ต้องทำความสะอาดด้วยเครื่องแยกชนิดต่างๆ และต้องถังด้วยน้ำ ให้สะอาดหลายๆ ครั้ง จนน้ำใส หลังจากนั้นจึงแช่ข้าวต่อไปเพื่อให้ข้าวคุณซับน้ำ และเมล็ดข้าวอ่อน ตัวลง ทั้งนี้อาจใช้เวลา 3-4 ชั่วโมง แล้วจึงระบายน้ำออกให้ข้าวสะอาดเด่นน้ำ หลังจากนั้นจึงนำข้าวเข้า เครื่อง โน่แบบหินงานพร้อมกับน้ำในปริมาณที่เหมาะสม ทำให้ได้น้ำแป้งที่ละเอียดสม่ำเสมอ ต่อจากนั้นจึงแยกน้ำออกจากแป้ง ได้ก้อนแป้งที่แห้งมีความชื้นประมาณ 40% ทำการตีป่นก้อนแป้ง ให้เป็นผง ผ่านเข้าเครื่องอบแห้ง แล้วนำไปอบแห้งในอุปกรณ์ ให้เป็นผง และร่อนให้มีขนาด สม่ำเสมอ และมีความละเอียดตามต้องการ (งานชื่น, 2541)

วิธีที่ 3 การ โน่แบบผสม มีขั้นตอนการ โน่คล้ายคลึงกับวิธีการ โน่เปียก ในช่วงล้างข้าวหัก และแช่ข้าวหักจนนิ่ม ต่อจากนั้นนำข้าวหักที่น้ำออกแล้วผ่านไปยังเครื่องอบ ให้ ข้าวแห้งระดับหนึ่งประมาณ 15-17% จึงนำข้าวหักเข้าบดหรือ โน่แบบแห้งตามวิธีการ โน่แห้งจนได้ แป้งแห้ง ผ่านเข้าเครื่องร่อนแป้งให้มีขนาดสม่ำเสมอ แป้งที่ได้จากการ โน่แบบผสม มีความละเอียด น้อยกว่าชนิด โน่เปียก (งานชื่น, 2541)

## 2.2 คุณสมบัติของแป้งข้าวเจ้าที่เหมาะสมต่อการผลิตก๋วยเตี๋ยว

คุณสมบัติที่แตกต่างกันของแป้งข้าวมีผลต่อการนำไปทำผลิตภัณฑ์ เช่น ผลิตภัณฑ์ อาหารเส้นประเภทก๋วยเตี๋ยว คุณภาพของก๋วยเตี๋ยวที่ต้องการเป็นเส้นที่มีความเหนียวและนิ่ม ไม่ เกะกะติดเป็นก้อน มีความคงตัวเมื่อลวก มีสีขาวนวล มีกลิ่นรสตามธรรมชาติ (มอก.959, 2533) ปัจจัยที่ทำให้ผลิตภัณฑ์อาหารที่ทำจากแป้ง มีคุณสมบัติตามต้องการนั้นขึ้นอยู่กับคุณสมบัติของ

เป็นข้าว เป็นข้าวที่มีคุณสมบัติต่างกัน ทำให้ได้คุณสมบัติของผลิตภัณฑ์ที่แตกต่างกันด้วยคุณสมบัติของเป็นข้าวที่เหมาะสมกับการผลิตเส้นก้าวเดียวมีดังนี้คือ

2.2.1 ขนาดอนุภาคของผงแป้ง เป็นที่มีขนาดอนุภาคแตกต่างกันทำให้คุณสมบัติของแป้งต่างกัน เช่น คุณสมบัติในการดูดซับน้ำ โดยแป้งที่มีขนาดอนุภาคเล็กหรือมีความละเอียดสูงจะมีความสามารถในการดูดซับน้ำที่อุณหภูมิห้องสูงกว่าแป้งที่มีขนาดอนุภาคใหญ่ และแป้งที่มีขนาดอนุภาคเล็กอาจทำให้อุณหภูมิในการเก็บการเจลติดในเซชันของแป้งบางชนิดลดลงด้วย (Kerr และคณะ, 2000) นอกจากนี้ยังมีรายงานว่าขนาดของอนุภาคแป้งยังส่งผลต่อคุณภาพของผลิตภัณฑ์ด้วย เช่นกัน จากรายงานการวิจัยของ Yeh และคณะ (1992) พบว่าเมื่อนำเส้นก้าวเดียวที่ผลิตจากแป้งข้าวเจ้าที่มีขนาดอนุภาคต่างๆ ไปทำการทดสอบทางประสาทสัมผัส เส้นก้าวเดียวจากแป้งที่มีขนาดอนุภาคต่างๆ ไปทำการทดสอบทางประสาทสัมผัส เส้นก้าวเดียวเดียวกัน 138 - 165 ในครอง จะมีคุณภาพที่ได้รับการยอมรับจากผู้บริโภคมากกว่าเส้นก้าวเดียวจากแป้งที่มีขนาดอนุภาคเล็กกว่า 138 ในครอง เนื่องจากมีความอ่อนนุ่ม เหนียวไม่ขาดง่าย แต่ถ้านำแป้งที่มีขนาดอนุภาคเล็กกว่า 138 ในครอง ไปผลิตเป็นขนมขบเคี้ยว พบว่าผลิตภัณฑ์ที่ได้จะมีความกรอบมากกว่าผลิตภัณฑ์ที่ผลิตจากแป้งที่มีขนาดอนุภาคใหญ่กว่า 138 ในครอง และในกรณีของ การผลิตเค้กเนยจากแป้งข้าวเจ้า พบว่าควรใช้แป้งที่มีขนาดอนุภาคเล็กกว่า 125 ในครอง จึงจะได้ เกักษ์ที่มีเนื้อสัมภูมิเป็นที่ยอมรับของผู้บริโภค (Yamazaki และคณะ, 1971) ดังนั้นขนาดอนุภาคของแป้งที่จะนำมาใช้ จึงควรเลือกให้เหมาะสมกับลักษณะของผลิตภัณฑ์ที่ต้องการผลิต

2.2.2 การพองตัวและการละลาย เป็นคิบจะไม่ละลายน้ำที่อุณหภูมิต่ำกว่าอุณหภูมิ เกลาตินเซชัน เมื่อจากมีพันธะไไซโตรเจนซึ่งเกิดจากหมู่ไฮดรอกซิลของโมเลกุลสตาร์ทที่อยู่ใกล้กันเชื่อมต่อกันอยู่ แต่เมื่ออุณหภูมิของน้ำแป้งสูงขึ้นกว่าอุณหภูมิการเกิดเจล (สูงขึ้นกว่าประมาณ 60 °C) พันธะไไซโตรเจนจะถูกทำลาย โมเลกุลของน้ำจะเข้ามายังกับหมู่ไฮดรอกซิลอิสระ เม็ดสตาร์ทเกิดการพองตัวทำให้ค่าการละลาย ค่าความหนืด และค่าความใสเพิ่มขึ้น คุณสมบัติของการบีครานามแส้งโพลาไรซ์ (polarize) ในเม็ดสตาร์ทจะหมดไป กำลังการพองตัวของแป้งจะแสดงเป็นปริมาตรหรือน้ำหนักของเม็ดสตาร์ทที่เพิ่มขึ้นมากที่สุด เมื่อเม็ดสตาร์ทพองตัวอย่างอิสระในน้ำ สำหรับความสามารถในการละลาย จะแสดงเป็นน้ำหนักของของแข็งทั้งหมดในสารละลายที่สามารถละลายได้ การพองตัวของแป้งข้าวที่มาจากการดูดซูญชาดีมีรูปแบบการพองตัว 2 ขั้นตอน ซึ่งแสดงถึงแรงของพันธะภายในเม็ดแป้งที่แตกต่างกัน 2 ชนิดคือ คือ พันธะบริเวณผลึกและบริเวณสัมผาก ของเม็ดแป้ง แป้งที่ได้จากการดูดซูญชาดีมีจำนวนพันธะสูงสุด แต่มีการพองตัวและการละลายต่ำสุด เนื่องจากมีปริมาณอะมิโลสสูง ซึ่งอะมิโลสทำให้ร่างแท้ภายในเม็ดสตาร์ทแข็งแรงขึ้น ทำให้พองตัวได้ต่ำ (กล้า้มรงค์ และ เกี้ยงฤทธิ์, 2546; Collision, 1968) ค่ากำลังการพองตัวเป็นค่าชนิดที่บอกถึงคุณภาพความแข็งแรงของเจลสตาร์ท ซึ่งมีความสัมพันธ์กับเนื้อสัมผัสที่หุ่นเหนียวของเส้น

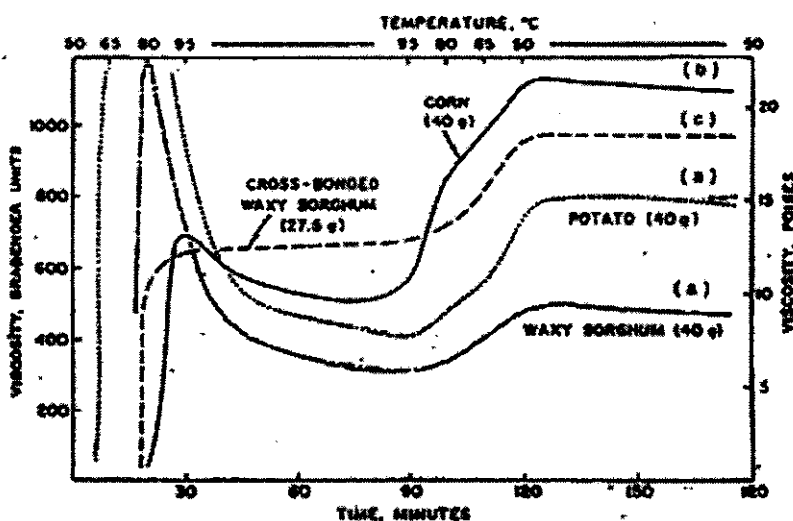
ก้าวเดียว เจลที่มีกำลังการพองตัวสูง มีความสามารถอุ่นน้ำได้ดี ซึ่งเป็นคุณสมบัติของเส้นก้าวเดียว (Crosbie, 1991)

2.2.3 ปรินามอะโนโลส อะโนโลสเป็นปัจจัยที่ส่งผลต่อคุณสมบัติของแป้งอย่างมาก โดยปรินามอะโนโลสในเม็ดสตาร์จะเปรียบด้วยตรงกับปรินามการละลายน้ำของอะโนโลสออกจากเม็ดสตาร์เมื่อได้รับความร้อน ซึ่งอะโนโลสที่ละลายออกมานี้ส่งผลให้สารละลายน้ำเปลี่ยนมีความข้นหนาค่อนข้าง และเมื่อปล่อยสารละลายน้ำเปลี่ยนให้เป็น อะโนโลสจะจับตัวกันเป็นโครงสร้างสามมิติที่แข็งแรงล้อมรอบเม็ดสตาร์ที่พองตัวไว้ ดังนั้นถ้าอะโนโลสที่ละลายออกมานี้ปริมาณสูงเพียงพอ ความแข็งแรงของโครงสร้างของเจลที่ผลิตมีมากขึ้น ดังนั้นปรินามอะโนโลสที่แตกต่างกันใช้จำแนกด้วยพัฒนาการของผลิตภัณฑ์ตามปรินามอะโนโลสของแป้งที่ใช้ในการผลิต (Juliano และ Hicks, 1996) เช่น ผลิตภัณฑ์ที่มีความหนืดต่ำ เช่น ขنمหวาน และน้ำสักดิ นิยมผลิตจากแป้งข้าวเจ้าที่มีปรินามอะโนโลสต่ำกว่า 1% ได้แก่ แป้งข้าวเจ้าข้าวเหนียว (Bettge และคณะ, 2000) ผลิตภัณฑ์ที่มีความหนิดปานกลาง เช่น อาหารเด็ก อาหารเช้า และขนมปังที่ใช้สต์เพื่อทำให้ขึ้นฟู นิยมผลิตจากแป้งข้าวเจ้าที่มีปรินามอะโนโลส 9 – 20% ผลิตภัณฑ์ที่มีความหนืดมาก เช่น ชูปะรุงปีอง และเก๊ก นิยมผลิตจากแป้งข้าวเจ้าที่มีปรินามอะโนโลส 20 – 25% ผลิตภัณฑ์ที่ต้องการลักษณะของเจล เช่น เส้นก้าวเดียว เส้นขนมจีน นิยมผลิตจากแป้งข้าวเจ้าที่มีปรินามอะโนโลสมากกว่า 25%

2.2.4 ความหนืดของน้ำเปลี่ยน มีความหนืดแตกต่างกันตามชนิดและสายพันธุ์ จากการแบ่งประเภทของแป้งตามกราฟแสดงความหนืด ตามวิธีของ Leach (1965) ถังโดยกดด้วยร่องค์ และเกือกุล (2546) สามารถแบ่งตามรูปแบบความหนืดของแป้งสูก วัดด้วยเครื่องน้ำร้อนเดอร์ อะโนโลกราฟ (Brabender amylograph) ตามกำลังการพองตัวของแป้งได้ 4 แบบ ดังรูปที่ 3 แบบ a กราฟจากเม็ดสตาร์ที่มีกำลังการพองตัวสูง เช่น สตาร์ชมันฝรั่งและสตาร์ชข้าวฟ้าง เมื่อให้ความร้อนแก่สตาร์ช เม็ดสตาร์ชจะมีกำลังการพองตัวสูง ทำให้แรงที่ยึดภายในโมเลกุลออกตัวลง เม็ดสตาร์ชกระจายตัวออกเมื่อได้รับแรงเฉือน แบบ b กราฟจากเม็ดสตาร์ที่มีกำลังการพองตัวปานกลาง ได้แก่ สตาร์ชจากข้าวสาลีต่างๆ เม็ดสตาร์ชไม่พองตัวมากถึงขั้นกระจายตัวออก แบบ c กราฟจากเม็ดสตาร์ที่มีกำลังการพองตัวน้อย ได้แก่ สตาร์ชจากถั่วต่างๆ และสตาร์ชดัดแปลงแบบครอสลิง (cross link) หรือพันธะข้าม สตาร์ชดัดแปลงแบบครอสลิงทำให้การพองตัวและการละลายของเม็ดสตาร์ชลดลง ทำให้เม็ดสตาร์ชพองตัวมีเสถียรภาพมาก มีค่าความหนืดสูงซึ่งอาจคงที่หรือเพิ่มขึ้นระหว่างการต้มสุก แบบ d กราฟจากเม็ดสตาร์ที่มีการพองตัวน้อยมาก ได้แก่ สตาร์ชที่มีปรินามอะโนโลสสูง (ไม่แสดงในภาพ)

ความหนืดของน้ำเปลี่ยนเพิ่มน้ำเปลี่ยนเมื่อแป้งเมื่อได้รับความร้อนที่อุณหภูมิ  $70^{\circ}\text{C}$  ขึ้นไปและเมื่อสตาร์ชข้าวเจ้าเกิดรีไทร์กราเดชัน เมื่อจากเม็ดสตาร์ชพองตัวและแตกตัวน้อย โมเลกุลอิสระไม่

กระจายตัวมากทำให้สามารถเคลื่อนที่มาขับกันค่อนข้างพันธ์ไอโครเจนได้มากและสามารถกักน้ำไว้ได้ (อรุณรัตน์, 2529)



รูปที่ 3 รูปแบบความหนืดของสตาร์ชชนิดต่างๆ วัดด้วยเครื่องบราวน์เดอร์ อะมิโลกราฟ  
ที่มา : Leach (1965) อ้างโดยยกถ้าณรงค์ และเกื้อภูต (2546)

2.2.5 ความคงตัวของเจล ค่าความคงตัวของแป้งสุกสามารถคาดคะเนคุณภาพของข้าวได้ โดยวัสดุทางที่แป้งสุกให้ไปเมื่อวางบนพื้นราบ เป็นวิธีที่พัฒนาขึ้นเพื่อหาความแตกต่างของข้าวที่มีอะมิโลสสูงไกด์คึขิงกันแต่ความหนืดแตกต่างกัน ทั้งนี้เนื่องจากการจัดเรียงตัวใหม่ของอะมิโลส เมื่ออุณหภูมิลดลงทำให้เกิดเป็นเจลที่มีความคงตัวต่างกัน ความคงตัวของเจลขึ้นกับปริมาณอะมิโลส พนบว่าข้าวที่มีปริมาณอะมิโลสสูงจะให้ลักษณะเจลแข็ง เมื่อหุงเป็นข้าวสุกจะแข็งและกระด้างกว่าข้าวที่มีอะมิโลสต่ำซึ่งจะให้ลักษณะเจลอ่อน (งานชื่น, 2536)

### 2.3 ก้าวเดียว

ก้าวเดียวเป็นผลิตภัณฑ์อาหารประเภทเส้นที่นิยมบริโภคทั่วไป นำมาประกอบเป็นอาหารได้ง่ายและสะดวก ในขณะที่ไม่ใช่เฉพาะในเอเชียเท่านั้นที่รู้จักบริโภคก้าวเดียว พลเมืองต่างๆ เกือบทั่วโลกได้รู้จักและหันมาบริโภคก้าวเดียวกันมากขึ้น

## ความหมายของก้าวเดียว

มอก. 959 (2533) ให้ความหมายของก้าวเดียวไว้ว่า เป็นผลิตภัณฑ์ซึ่งทำจากข้าวเจ้าที่นำมาไม่หรือเปลี่ยนข้าวเจ้า ซึ่งอาจมีเปลี่ยนคืออันผสมอยู่ด้วยก็ได้ ทำให้เป็นแผ่นบาง นิ่งให้สุก ตัดเป็นเส้นแล้ว ทำให้แห้ง

กฎลักษณะที่ต้องการของเส้นก้าวเดียวตามมาตรฐาน มอก. 959 (2533)

- ลักษณะทั่วไป : ก้าวเดียวในภาษาจะเดียวกันคือขนาดเส้นໄกกลัดเทียบกัน
- ความหนา : ต้องมีความสม่ำเสมอโดยมีความหนาเฉลี่ยไม่เกิน 0.7 มิลลิเมตร และความหนาที่วัดได้จากตำแหน่งใดๆ จะต่างจากความหนาเฉลี่ยได้ไม่เกิน 0.2 มิลลิเมตร
- สี : มีสีขาวนวล สม่ำเสมอ
- กลิ่นรส : มีกลิ่นรสตามธรรมชาติไม่มีกลิ่นหืนหรือกลิ่นรสที่ไม่พึงประสงค์อื่นๆ
- ลักษณะเนื้อ : นิ่มและเหนียวไม่เกระติดกัน
- ความชื้น : ก้าวเดียวแห้งต้องมีความชื้นไม่เกิน 12%
- โปรตีน : มีปริมาณโปรตีนไม่น้อยกว่า 6.5% โดยน้ำหนัก

## กรรมวิธีการผลิตก้าวเดียว

### 2.3.1 วัตถุดิบ

ก. ข้าว พันธุ์ข้าวที่เหมาะสมในการทำเส้นก้าวเดียวตามที่เสนอ (2522) ได้รายงานผลการวิจัยคุณสมบัติทางกายภาพและเคมีของข้าวพันธุ์ต่างๆ ที่จะทำให้ก้าวเดียวมีคุณภาพดี ได้แก่ เหลืองประทิว-123 กข.1 และ ขาว-500 ตามลำดับ ส่วนข้าวพันธุ์กข.5 และกข.7 สามารถทำเส้นก้าวเดียวได้แต่คุณภาพไม่ดี ส่วนข้าวหอมมะลิ-105 ไม่สามารถทำเส้นก้าวเดียวได้ สำหรับข้าวที่ผ่านการเก็บมะระจะนิ่งจะมีการเปลี่ยนแปลงทางกายภาพและเคมีทำให้มีการดูดซึมน้ำได้มากขึ้น อุณหภูมิการเกิดเจลาตินเซชันสูง โรงงานทำก้าวเดียวบินใช้ข้าวแข็งหรือข้าวที่ปููกในคืนทรายซึ่งมีอายุการเก็บเกี่ยวเพียง 2-3 เดือน ก็จะมีลักษณะเหมือนข้าวเก่า แต่สำหรับข้าวอ่อนเป็นข้าวที่ปููกในคืนเห็นนิ่วต้องเก็บค้างปีจึงจะเป็นข้าวเก่า (วิรดา และคณะ, 2518)

วัตถุดิบที่ใช้ในการผลิตก้าวเดียว คือ ข้าวสารหัก หรือข้าวท่อน 50% ข้าวสารหักชนิดที่เหมาะสมในการทำก้าวเดียว คือ ข้าวเก่าที่มีอายุการเก็บไม่น้อยกว่า 4 เดือน ข้าวเก่ามีคุณสมบัติก้าวข้าวใหม่ คือ แป้งเมื่อนึ่งแล้วจะล่อนไม่ติดเครื่องมือ เส้นที่ได้จะไม่อ่อนน้ำ เหนียวและไม่ขาดง่าย แต่ข้าวที่เก็บนานเกินไปก็ไม่เหมาะสมในการผลิตเส้นก้าวเดียว เพราะได้เส้นก้าวเดียวแข็งและบpare ทำเป็นแผ่นได้ไม่ดี ข้าวสารหักที่นิยมใช้ในการทำก้าวเดียว ได้แก่ ข้าวชนิดเมล็ดแข็งมีazoleสูงกว่า 28% แต่การใช้ข้าวเก่าทั้งหมดอาจจะทำให้เส้นก้าวเดียวแข็งกระด้างเกินไป จึงมีการเจือปนข้าว

ใหม่บ้างเดือนน้อย หรืออาจจะมีการเจ้อปนเป็นชนิดอื่น เช่น แบ่งมันสำปะหลังในอัตราส่วนที่เหมาะสม ซึ่งแบ่งมันสำปะหลังจะทำหน้าที่เป็นตัวประสานช่วยให้ทำเป็นแผ่นได้ดีขึ้น (พิมพ์เพ็ญ, 2533)

ข. น้ำ น้ำที่ใช้ผลิตก๋วยเตี๋ยวมีผลต่อการคุณน้ำของแป้งข้าวเจ้า และมีผลต่อความนุ่มนวลของก๋วยเตี๋ยว การใช้แป้งจากข้าวที่มีอายุการเก็บนานจะใช้น้ำมากกว่าข้าวชนิดอ่อนและทำผลิตภัณฑ์ได้นานกว่า (วิรดา และคณะ, 2518) ปริมาณน้ำที่ใช้ในการเตรียมน้ำแป้งขึ้นกับปริมาณความชื้นของแป้งที่ใช้ผลิตเส้นก๋วยเตี๋ยว หากใส่น้ำมาก เมื่อเป็นคุณน้ำได้เต็มที่แล้วจะมีน้ำเหลืออยู่เส้นก๋วยเตี๋ยวจะนุ่ม แต่ถ้าใส่น้ำน้อยเกินไป เม็ดสตาร์ชไม่แตกตัวเพราะคุณน้ำเข้าไปได้น้อย เส้นก๋วยเตี๋ยวไม่เหนียว ดังนั้นเพื่อให้สตาร์ชคุณน้ำได้เต็มที่เมื่อผสมน้ำแป้งต้องตั้งทิ่งไว้ประมาณครึ่งชั่วโมงจะทำให้เส้นก๋วยเตี๋ยวเหนียว (ผ่องค์ และ อัญชัญ, 2528)

ค. วัตถุกันเสีย กรรมเบน โซอิกหรือ โซเดียมเบนโซเอตเป็นวัตถุกันเสียที่ใช้ได้ผล โดยกรรมเบน โซอิกช่วยขัดขวางการเริบูตของจุลินทรีย์ที่ทำให้อาหารเน่าเสีย แต่ทำให้อาหารเปลี่ยนไปอย่างรวดเร็ว ซึ่งแก้ไขโดยใช้ร่วมกับโซเดียมหรือ โซดัสเซียนเมตาไบซัลไฟฟ์ ซึ่งช่วยคงต้องอาหาร นอกจากนี้ชัลเฟอร์รังมีผลต่อสปอร์เรื้อร่าและแบคทีเรียมากกว่าเยสต์ ดังนั้นมีโซเดียมเบนโซเอตซึ่งมีผลต่อเยสต์ดีกว่า จึงทำหน้าที่กันเสียได้ดี ปริมาณกรรมเบน โซอิกหรือเกลือเบนโซเอตที่อนุญาตให้ใช้โดยทั่วไปไม่เกิน 0.1% โดยทั่วไปชัลเฟอร์ร่าออกไซด์จะเหยียบกับไอน้ำได้ถึง 90% สำหรับปริมาณที่อนุญาตให้มีได้ในผลิตภัณฑ์สุดท้าย คือ น้อยกว่า 20 มิลลิกรัมต่อกิโลกรัม วัตถุกันเสียที่ใช้ในผลิตภัณฑ์ก๋วยเตี๋ยวกึ่งสำเร็จรูป คือ โซเดียมเมตาไโซเดเจนชัลไฟฟ์ หรือโซเดียมไโซเดเจนชัลไฟฟ์ในปริมาณที่เหมาะสม (วิภา, 2541; นอ. 832, 2531)

### 2.3.2 วิธีการผลิต

ก. การทำความสะอาด เป็นการทำความสะอาดข้าวเจ้าท่อน ซึ่งอาจมีสิ่งเจือปนมาด้วย เช่น ทรัพยากร่องด่างๆ เป็นต้น

ข. การล้างและเช่ การล้างต้องขัดสีข้าวให้ขาว ปราศจากเศษรำที่ติดอยู่ โดยล้างด้วยน้ำซึ่งอาจมีอุปกรณ์ช่วยกวนให้คำหนินิลอยขึ้นมาแล้วกีบกึง ล้างจนข้าวสะอาดหรือน้ำล้างที่ล้างข้าวใส จากนั้นแช่น้ำไว้ให้ข้าวอ่อนตัวเพื่อให้ไม่จ客气ขึ้น (พิมพ์เพ็ญ, 2533) เมล็ดข้าวที่ล้างต้องสะอาดจริงๆ เมื่อนำไปเข้ากระบวนการวิธีจะได้เส้นก๋วยเตี๋ยวที่ขาวสะอาด เส้นไม่เปื้อยุ้ง และไม่ขาดง่าย

ค. การโไม่ ข้าวที่ล้างและผ่านการเช่น้ำ 1-2 ชั่วโมง จะพองตัวและนุ่ม ทำให้ไม่จ客气ขึ้น ถ้าข้าวแข็งมากอาจจะต้องแช่นานขึ้น โรงงานโดยทั่วไปไม่ด้วยเครื่องไม่หันที่หมุนด้วยพลังลมอตอเรอร์ไฟฟ้า (พิมพ์เพ็ญ, 2533) การโไม่ทำให้มีคสตาร์ชและองค์ประกอบอื่นๆ หลุด และแตกออกจากกัน

ซึ่งนิผลทำให้เซลล์ที่ห้องหุ่มเนื้อศัตรูแตก ขณะบดข้าวต้องเติมน้ำเพื่อให้อุณหภูมิของโน้มไม่สูงเกินไป แป้งที่ได้จะมีคุณภาพดี แต่ปริมาณน้ำที่เติมต้องนีความเหมาะสม ส่วนผสมของน้ำกับแป้งนี ความสัมพันธ์กับความเหนียวของกัวยเตี๋ยว โดยทั่วไปใช้สัดส่วนของข้าวต่อน้ำประมาณ 2 : 1 (อร พรธรรม, 2547) การโน้มข้าวที่ใช้ผลิตเส้นกัวยเตี๋ยวจะต้องโน้มให้ลักษณะ เพื่อให้เส้นกัวยเตี๋ยวมีความเหนียวติดกับความต้องการของผู้บริโภค

๔. การผสมน้ำแป้ง นำน้ำแป้งจากข้าวชนิดต่างๆ ที่ไม่แล้วมาผสมกัน (ในกรณีที่ใช้ข้าวเจ้าต่างกันหรือการใช้แป้งอื่น) สัดส่วนที่ผสมกันนี้ในกำหนดตายตัว แล้วแต่ความเหมาะสมของข้าวแต่ละชนิดที่นำมาใช้เป็นวัตถุดิน ข้าวขี้งก่ามากและมีอะมิโลสสูงต้องใช้น้ำเพื่อให้แป้งสุกมากกว่าข้าวใหม่และอะมิโลสต่ำกว่า ปริมาณน้ำแป้งขึ้นอยู่กับชนิดของผลิตภัณฑ์ด้วย น้ำแป้งในผลิตเส้นกัวยเตี๋ยวสัดครวมปริมาณของแป้ง 38-40% โดยน้ำหนักแห้งหรือประมาณ 16 โนเม (Baumé) (วัดที่ 28 °C) สำหรับการผลิตเส้นกัวยเตี๋ยวอบแห้ง ความเข้มข้นของน้ำแป้งมักสูงกว่า กัวยเตี๋ยวเส้นสด และมีค่าประมาณ 20 โนเม (วัดที่ 28 °C) น้ำแป้งจะต้องมีความหนืดและแรงตึงผิวที่เหมาะสม จึงจะทำให้น้ำแป้งติดกับลูกกลิ้งด้วยความหนาที่พอต ขณะป้อนน้ำแป้งลงบนสายพานเพื่อเข้าอุโมงค์นึง (อรพรธรรม, 2547) การปรับความเข้มข้นของน้ำแป้งสามารถคำนวณจากน้ำหนักของน้ำแป้งดังนี้

$$\text{น้ำหนักของน้ำแป้ง (ก.ก.)} = \frac{\text{น้ำหนักของข้าว (ก.ก.)} \times [100 - \text{ความชื้นของข้าว (ร้อยละ)}]}{[100 - \text{ความชื้นของน้ำแป้งที่ต้องการทำกัวยเตี๋ยว (ร้อยละ)}]} - 1$$

๕. การนึ่ง น้ำแป้งที่ได้จะพอกไว้ระหว่างหนึ่งเพื่อให้แป้งดูดน้ำได้เต็มที่ ในปัจจุบัน โรงงานผลิตกัวยเตี๋ยวส่วนมากจะนิยมนึ่งโดยใช้เครื่องจักรซึ่งมีลักษณะเป็นอุโมงค์ไอน้ำ โดยเครื่องนี้จะมีเครื่องดูดน้ำแป้งขึ้นบนดังและภาชนะดังจะมีเครื่องกวานไม้ให้แป้งตกตะกอน แล้วปีกท่อปล่อยให้น้ำแป้งไหลลงให้ติดลูกกลิ้ง นำไปปั่นลงบนสายพานลำเลียงที่ทำด้วยเหล็กสแตนเลส หรือแผ่นผ้าใบ แล้วจึงเคลื่อนเข้าอุโมงค์นึง ภายในอุโมงค์นึงจะมีความร้อนจากไอน้ำทำให้แห่นกัวยเตี๋ยวสุกได้ เส้นกัวยเตี๋ยวที่ได้จากการนึ่งบนสายพานจะมีลักษณะอนามัย เป็นอยู่ การใช้สายพานสแตนเลส จะมีความเหมาะสมกว่า ซึ่งโรงงานส่วนใหญ่ในปัจจุบันได้ใช้กันอยู่ (อรอนงค์, 2542) อีกวิธีคือการนึ่งแบบวิธีพื้นบ้าน โดยทำการล้างกับการทำข้าวเกรียบปากหม้อโดยการใช้ผ้าขาวบางปั่นบนกระทะที่ต้มน้ำเดือด แล้วตักน้ำแป้งเทบบนผ้าขาวบางละเอิงให้มีความหนาพอเหมาะสม นึงประมาณ 1 นาที ใช้ไม้แซะ ยกแผ่นกัวยเตี๋ยวสุกพากบนที่ตากที่ทำด้วยไม้ไผ่สาน นำไปตากแดดประมาณ 4-5 ชั่วโมง (อรอนงค์, 2542)

ฉ. การตัดสีน้ำก่ำยเดี่ยว เมื่อสายพานแผ่นก่ำยเดี่ยวสุกเคลื่อนออกจากอุโมงค์ไอน้ำ แผ่นก่ำยเดี่ยวจะเคลื่อนไปตามสายพานอีก โดยมีพัดลมอยู่เป็นระบบๆ ให้แห้ง จนถึงจุดตัด ตรงนี้จะมีช่องให้น้ำมันพืชหลดสัมผัสถันแผ่นก่ำยเดี่ยว เพื่อให้แห้งก่ำยเดี่ยวไม่ติดกัน เมื่อหัก กันหลังจากที่ทำการตัด วิธีการตัดจะแตกต่างกันไปตามชนิดของก่ำยเดี่ยว

ก่ำยเดี่ยวสด เป็นก่ำยเดี่ยวที่ได้จากการนำแผ่นก่ำยเดี่ยวมาตัดเป็นเส้น โดยไม่ต่านการทำแห้ง มีความชื้นประมาณ 62-64% ก่ำยเดี่ยวสามารถจำหน่ายภายใน 1 วัน เพราะมีระยะเวลาการเก็บได้ไม่นาน (อรรถรส, 2547)

ก่ำยเดี่ยวกึ่งแห้ง จะทำการอบแห้งแผ่นก่ำยเดี่ยวที่ออกจากอุโมงค์ไอน้ำ ซึ่งเครื่องอบแห้งมีลักษณะยาวเหมือนอุโมงค์ โดยสายพานจะพาแผ่นก่ำยเดี่ยวเคลื่อนที่ไปเป็นชั้นๆ ภายในอุโมงค์เครื่องอบ เมื่อแห้งก่ำยเดี่ยวมีลักษณะกึ่งแห้ง แล้วจึงนำแห้งก่ำยเดี่ยวเข้าในผึ้งบันราไว้โดยมีพัดลมเป่า ก่ำยเดี่ยวประเภทนี้สามารถเก็บได้ประมาณ 2-3 วัน มีความชื้นประมาณ 37% (อรรถรส, 2547)

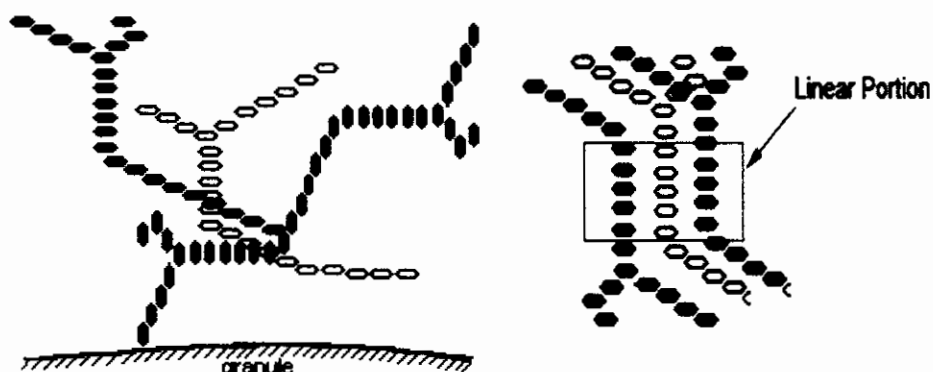
ก่ำยเดี่ยวแห้ง เป็นก่ำยเดี่ยวที่มีการตัดเป็นเส้นและทำให้แห้งจนมีความชื้นไม่เกิน 13% ทำให้สามารถเก็บรักษาได้นานในสภาพที่เหมาะสม (อรรถรส, 2547)

แผ่นก่ำยขี้ เป็นก่ำยเดี่ยวที่น้ำให้สุกเพียงครึ่งเดียวของความหนาแล้วตัดให้มีขนาด 0.3-0.5 เซนติเมตร น้ำเป็นรูปสามเหลี่ยม โดยมีความชื้นประมาณ 12% เมื่อนำมาต้มสุกจะม้วน (อรรถรส, 2547)

การทำให้เส้นก่ำยเดี่ยวแห้งนี้สามารถทำได้หลายวิธี จากการศึกษาของ Siegel (1974) พบว่า โรงงานผลิตก่ำยเดี่ยว จะตากแห้งโดยการนำไปผึ้งแดดประมาณ 4-5 ชั่วโมง มีความชื้นเหลืออยู่ 14% ส่วนการศึกษาของเสนอ (2522) พบว่าเส้นก่ำยเดี่ยวที่ตากแดดอุณหภูมิเฉลี่ย  $45^{\circ}\text{C}$  เป็นเวลา 4 ชั่วโมง จะมีความชื้นเหลืออยู่ 11.2 - 12.5% ในการตากก่ำยเดี่ยวเส้นเล็กจากแป้งข้าวเจ้าโดยใช้ตู้อบแสงอาทิตย์ อุณหภูมิเฉลี่ยตลอดวัน  $49^{\circ}\text{C}$  จะเหลือความชื้น 11.75% นอกจากนี้ยังมีการตากด้วยตู้อบแห้ง ซึ่งการผลิตก่ำยเดี่ยวของ Siegel (1974) ได้ใช้อุณหภูมิ  $45-50^{\circ}\text{C}$  ใช้เวลา 4-5 ชั่วโมง จะมีความชื้นเหลืออยู่ 8.5-10.8% โรงงานผลิตก่ำยเดี่ยวในปัจจุบันนิยมใช้การอบแห้งด้วยตู้อบ โดยใช้อุณหภูมิ  $50^{\circ}\text{C}$  หากใช้อุณหภูมิที่สูงเกินไป ผิวของเส้นจะแห้งแตก เมื่อทำให้คืนตัวเส้นจะไม่เหนียว (นัทญา, 2530)

## 2.4 การเกิดริโถกราเดชัน

เมื่อสตาร์ชได้รับความร้อนจนถึงอุณหภูมิที่เริ่มเกิดเจลตัวในเชิงลึกแล้ว ให้ความร้อนต่อไปจะทำให้มีเศษสตาร์ชพองตัวเพิ่มขึ้นจนถึงจุดที่พองตัวเต็มที่และแตกออก เมื่อโน้มเลกูลอะมิโลสหดตัวออกจากแกรนูล (granule) กระჯักรายอ่อนมาทำให้ความหนืดคลคล่อง เมื่อปล่อยให้เย็นตัวโน้มเลกูลอะมิโลสที่อยู่ใกล้กันจะเกิดการจัดเรียงตัวใหม่ควยพันธะไส้โครงเรนระห่วง โน้มเลกูลน้ำจะถูกดึงออกและเกิดผลึก เกิดเป็นร่างแท่งสามมิติที่มีโครงสร้างใหม่ที่สามารถอุ้มน้ำและไม่มีการดูดน้ำเข้ามา อีก มีความหนืดคงตัวมากขึ้น เกิดลักษณะเจลเหมือนๆ คล้ายพิล์มหรือผลึก เรียกปรากฏการณ์นี้ว่าการเกิดริโถกราเดชัน (รูปที่ 4) เมื่อลดอุณหภูมิให้ต่ำลงไปอีก ลักษณะการเรียงตัวของโครงสร้างจะแน่นมากขึ้น โน้มเลกูลอิสระของน้ำที่อยู่ภายในจะถูกบีบอัดมาออกเจล เรียกว่า ชินเนอเรซิส (syneresis) ซึ่งจะทำให้เจลมีลักษณะขาวขุ่นและมีความหนืดเพิ่มขึ้น (กล้ามวงศ์ และ เกื้อญุต, 2546)

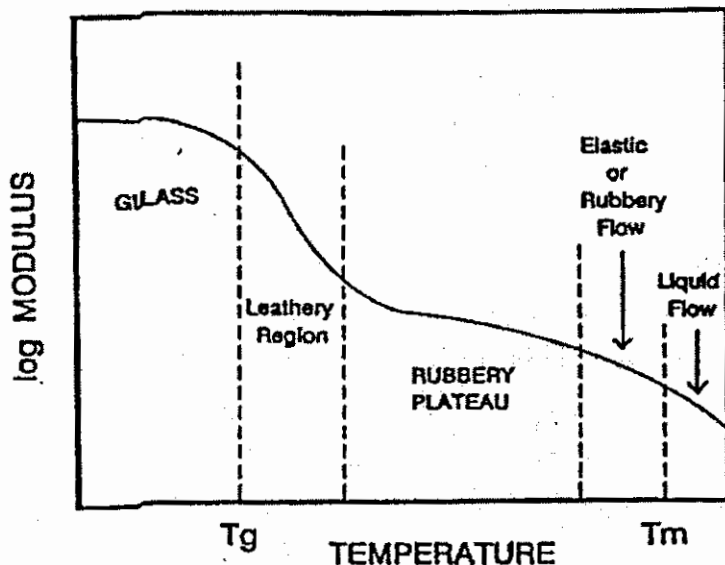


รูปที่ 4 การเกิดริโถกราเดชันของสตาร์ช (เส้นสีน้ำเงิน เหลือง และแดง แทน โน้มเลกูลอะมิโลส)

ที่มา : Faculty of Agricultural Science, UBC (2007)

นอกจากนี้ยังพบว่าการเกิดริโถกราเดชัน ทำให้พันธะไส้โครงเรนระห่วงอะมิโลสและอะมิโลเพคตินของสตาร์ชเปลี่ยนแปลง จะเกิดพันธะไส้โครงเรนในสารละลายน้ำสตาร์ช โดยเกิดระห่วงของอกรซีเจนอะตอมที่ 6 ของอะมิโลสและหมู่ไสครอกซิลตำแหน่งที่ 2 ของอะมิโลเพคตินหรืออาจเกิดขึ้นระหว่างหมู่ไสครอกซิลตำแหน่งที่ 2 ของอะมิโลสกับ โน้มเลกูลอื่นหรืออาจเกิดกับอกรซีเจนตำแหน่งที่ 6 ของอะมิโลเพคตินสายสั้น (Tako และ Hizukuri, 2002) การเกิดริโถกราเดชันทำให้สตาร์ชเกิดผลึก ซึ่งสามารถอธิบายขั้นตอนในการเกิดผลึกได้ คือ ในขั้นตอนแรกเกิดนิวเคลียชัน (nucleation) เป็นขั้นตอนการเกิดอนุภาคใหม่ของผลึก โดยโน้มเลกูลสตาร์ชเริ่มจับตัวกันเป็นนิวเคลียส (nuclei) อุณหภูมิการเกิดผลึกนิวเคลียสของการเกิดริโถกราเดชันของอะมิโลเพคติน

อยู่ในช่วงอุณหภูมิ  $-5^{\circ}\text{C}$  ถึง อุณหภูมิประมาณ  $60^{\circ}\text{C}$  ส่วนอุณหภูมิการเกิดนิวเคลียสของผลึกอะมิโลส อยู่ในช่วง  $-5^{\circ}\text{C}$  ถึง อุณหภูมิประมาณ  $150^{\circ}\text{C}$  (Silverio และคณะ, 2000) ขั้นตอนที่ 2 เป็นขั้นตอนการเจริญของผลึก มีการเติบโตเพิ่มจำนวนและเพิ่มขนาดของผลึก ช่วงอุณหภูมิที่ทำให้เกิดการเติบโตของผลึกเป็นช่วงอุณหภูมิเดียวกันกับการเกิดนิวเคลียสของผลึก คือในช่วงที่อุณหภูมิต่ำกว่าอุณหภูมิกลางวด (glasstransition temperature, Tg) Tg เป็นอุณหภูมิที่เปลี่ยนแปลงคุณสมบัติทางกลของสารเป็นของแข็งที่มีความหนืดสูงมากคล้ายแก้ว ทำให้ไม่แตกด้วยแรงกระแทก แต่ผลึกจะเติบโตที่อุณหภูมิสูงกว่า Tg ถึง อุณหภูมิการหลอมเหลว (Tm) เมื่อจากเมื่อเพิ่มอุณหภูมิให้สูงกว่า Tg สารจะเปลี่ยนสภาพเป็นของแข็งที่สามารถเปลี่ยนแปลงรูปร่างได้ง่ายขึ้น แต่ยังไม่สามารถไหลได้เหมือนของเหลว มีลักษณะเหนียวคล้ายยาง และเมื่อเพิ่มอุณหภูมิของสารสูงกว่า Tm สารจะมีคุณสมบัติคล้ายกับของเหลวคือ ไหลได้ (แสดงดังรูปที่ 5) เมื่อจากโครงสร้างของสารมีความแข็งแรงลดลงพร้อมที่ดีทางกายในของอาหารลดลงเมื่อเพิ่มอุณหภูมิทำให้อาหารเปลี่ยนแปลงรูปร่างได้ง่าย ดังนั้นจึงเป็นอุณหภูมิที่ทำให้เกิดผลึกภายในสตาร์ชได้ ส่วนในขั้นตอนสุดท้ายเป็นการเจริญเติบโตของผลึก ทำให้ผลึกมีความสมบูรณ์และบังคับเพิ่มขนาดต่อไป (Slade และ Levine, 1991; Eerlingen และคณะ, 1993)



รูปที่ 5 ความสัมพันธ์ของค่ามอดูลัส (modulus) กับอุณหภูมิ Tg และ Tm  
ที่มา : Slade และ Levine, 1991

#### 2.4.1 ผลของการเกิดริโตรกราเดชัน (อ้างอิง, 2528)

ก. ทำให้เจลสลายตัวได้น้อยลง โดยเจลที่ดังทั้งไว้จะเกิดริโตรกราเดชันจะสลายตัวได้มากเมื่อสัมผัสกับกรดหรือเอนไซม์

ข. ทำให้เจลยุ่น เมื่อเจลเกิดริโตรกราเดชันจะเกิดผลึกขึ้นมาตาม ผลึกที่เกิดขึ้นนี้มีขนาดต่างๆ กัน ขึ้นอยู่กับชนิดของสารที่ สารที่ทำให้เกิดผลึกใหญ่กว่า 250 นาโนเมตร คลื่นแสงจะผ่านไม่ได้และสะท้อนออกมาก เจลที่ได้จึงมีลักษณะยุ่น แต่ถ้าผลึกนี้มีขนาดเล็กกว่า 250 นาโนเมตร แสงจะผ่านได้ เจลที่ได้จึงมีลักษณะใส

ค. ทำให้เจลไม่ทำปฏิกิริยากับไอโอดีน การเกิดสีน้ำเงินของเจลเกิดจากไอโอดีนเข้าไปอยู่ในเกลียวของอะมิโลส ในขณะเกิดริโตรกราเดชัน โมเลกุลของอะมิโลสคล้ายตัวออกเป็นเส้นตรง ทำให้ไม่สามารถจับกับไอโอดีนได้อีกต่อไป

ง. ทำให้เจลละลายน้ำได้น้อยลง เจลที่เกิดริโตรกราเดชันจะละลายน้ำเย็นได้น้อยลง แต่ยังคงละลายได้ดีในไข่เดือน ไข่ครอก ไข่ดิบ หรือ ไข่ต้ม เช่น ไข่ครอกไข่ดิบ นอกจากนี้ยังพบว่า สารที่แต่ละชนิดมีการเกิดริโตรกราเดชันในอัตราเร็วต่างๆ กัน สารที่จากธัญชาติเกิดริโตรกราเดชันได้เร็วกว่าสารที่จากพืชหัว เนื่องจากสารที่จากธัญชาติโดยปกติมีอะมิโลสสูงและกระจายตัวในน้ำได้น้อย ส่วนสารที่ได้จากข้าวโพดเหนียว ซึ่งมีอะมิโลเพคตินทั้งหมดจะเกิดริโตรกราเดชันได้ช้ามาก เนื่องจากมีโมเลกุลที่เกะกะหากแก่การเกิดริโตรกราเดชัน (Swinkels, 1985)

#### 2.4.2 ปัจจัยที่มีผลต่อการเกิดริโตรกราเดชัน

ก. ขนาดของโมเลกุล อะมิโลสจากแหล่งต่างๆ เกิดริโตรกราเดชันในอัตราความเร็วที่แตกต่างกันมาก การเกิดริโตรกราเดชันจะเกิดเร็วถ้าโมเลกุลมีขนาดปานกลาง ส่วนโมเลกุลขนาดใหญ่นักจะเคลื่อนที่ช้า จึงรวมตัวได้ช้ากว่าโมเลกุลขนาดปานกลาง ส่วนโมเลกุลขนาดเล็กมีการเคลื่อนไหวอยู่เสมอจึงไม่รวมตัวกัน Chang และ Lee (1991) ศึกษาผลของปริมาณอะมิโลสและปริมาณอะมิโลเพคตินต่อการเกิดริโตรกราเดชัน โดยศึกษาในสารที่ข้าวที่มีอะมิโลสสูง (25-33%) คั่ว (9-20%) และข้าวเหนียว (1-2%) เก็บรักษาเจลสารที่เป็นเวลา 5 วัน พบร่วมสารที่มีปริมาณอะมิโลสสูงเกิดริโตรกราเดชันได้มาก เช่นเดียวกับการทดลองของ Gudmundsson (1994) พบร่วมสารที่มีปริมาณอะมิโลสสูงทำให้อะมิโลเพคตินเกิดริโตรกราเดชันได้มากขึ้น เนื่องจากอะมิโลสทำหน้าที่เป็นนิวเคลียสสารที่จับอะมิโลเพคตินเกิดเป็น co-crystallite สอดคล้องกับการทดลองของ Vandeputte และคณะ (2003) พบร่วมในสารที่ข้าวสาลีที่มีปริมาณอะมิโลสเพิ่มสูงขึ้นเกิดริโตรกราเดชันได้มากขึ้น เนื่องจากโมเลกุลอะมิโลสมีโครงสร้างเป็นเส้นตรงสามารถเกิดพันธะไฮdrogen ระหว่างโมเลกุลได้ง่ายและเร็ว ส่วนโมเลกุลอะมิโลเพคตินมีลักษณะเป็นกิ่งก้านจึงเป็นอุปสรรคต่อ

การรวมตัว แต่ในสภาวะที่มีความเย็นขึ้นสูงหรืออยู่ในอุณหภูมิเยือกแข็ง บางส่วนของกิ่งก้านไม่เลกุลอะมิโลเพคตินสามารถแตกตัวได้ โดยมีความยาวของกิ่งก้านของกลูโคส 20-30 หน่วยกลูโคส นอกจากนี้ยังพบว่าสตาร์ชที่มีไมเลกุลอะมิโลเพคตินสายยาวปริมาณมากสามารถเกิดริ่โตรกราเดชันได้ดีและมีอุณหภูมิสาย yal ลดลง ริ่โตรกราเดชันสูง โดยมีการศึกษาในสตาร์ชข้าวพบว่าไมเลกุลอะมิโลเพคตินสายยาวทำให้เกิดริ่โตรกราเดชันได้มากและทำให้อุณหภูมิในการสลายผลึกเพิ่มสูงขึ้น (Vandeputte และคณะ, 2003) นอกจากนี้ยังพบว่าในสตาร์ชข้าวสาลีที่มีไมเลกุลอะมิโลเพคตินสายยาวมากต้องใช้พลังงานในการสลายผลึกสูง เมื่อจากไมเลกุลสายยาวสามารถพันกันเป็นผลึกที่มีความเสถียรและมีความเป็นผลึกมากกว่า แต่เมื่อสตาร์ชนี้ไมเลกุลอะมิโลเพคตินสายสั้นเพิ่มขึ้นอัตราการเกิดริ่โตรกราเดชันลดลง (Sasaki และ Matsuki, 1998)

ข. อุณหภูมิ การเกิดริ่โตรกราเดชันจะเกิดขึ้นเร็วที่อุณหภูมิต่ำ ทั้งนี้เนื่องจากอุณหภูมิต่ำทำให้อัมิโลสานาเดลีกเคลื่อนที่ได้ช้าลง อะมิโลสจึงยังตัวกันเป็นไมเลกุลขนาดใหญ่ได้ช้า และที่อุณหภูมิต่ำเหมาะสมต่อการเกิดผลึกของอะมิโลเพคติน Lopez และ Perez (1994) ศึกษาผลของอุณหภูมิต่อการเกิดริ่โตรกราเดชันเมื่อเทียบกับอุณหภูมิ  $4^{\circ}\text{C}$  ไมเลกุลของเจลสตาร์ชจะเกิดริ่โตรกราเดชันได้มากกว่าเก็บที่อุณหภูมิ  $25^{\circ}\text{C}$  ในเจลสตาร์ชที่มีปริมาณน้ำ 45–50% เก็บที่อุณหภูมิสูงกว่าอุณหภูมิ  $T_g$  ( $T_g = -5^{\circ}\text{C}$ ) พบว่าการเกิดริ่โตรกราเดชันจะเพิ่มขึ้นเนื่องจากไมเลกุลของเจลสตาร์ชไม่เสถียรเมื่อการเคลื่อนที่ตลอดเวลา ทำให้ไมเลกุลของอะมิโลสเคลื่อนที่ໄกส์กันและเกิดพันธะไไฮดรอเจนระหว่างไมเลกุลและเกิดผลึกมากขึ้น โดยเฉพาะในวันแรกของการเก็บรักษา อัตราการเกิดนิวคลีอิเดชันและการเรติรูของผลึกจะเพิ่มขึ้นเป็นกำลังสองขึ้นกับอุณหภูมิเก็บรักษา ส่วนการเก็บที่อุณหภูมิเยือกแข็งซึ่งเป็นอุณหภูมิที่ต่ำกว่าอุณหภูมิ  $T_g$  จะยับยั้งการตกผลึกและการเก็บเจลสตาร์ชที่อุณหภูมิสูง ( $32 - 40^{\circ}\text{C}$ ) มีประสิทธิภาพลดการเกิดริ่โตรกราเดชัน (Eliasson และ Gudmundsson, 1996) สถาคลด้องกับการทดลองของ Baik และคณะ (1997) พบว่าการเปลี่ยนแปลงการเกิดผลึกของเจลสตาร์ชข้าวเจ้าและเจลสตาร์ชข้าวเหนียวระหว่างการเก็บที่อุณหภูมิแตกต่างกันที่  $-20, -12, 0, 4, 20$  และ  $30^{\circ}\text{C}$  พบว่าทั้งเจลสตาร์ชข้าวเจ้าและเจลสตาร์ชข้าวเหนียวเกิดผลึกมากที่สุดที่อุณหภูมิ  $4^{\circ}\text{C}$  และเกิดผลึกน้อยที่สุดที่อุณหภูมิต่ำกว่า  $-20^{\circ}\text{C}$  และสูงกว่า  $30^{\circ}\text{C}$  ดังนั้นที่อุณหภูมิ  $4^{\circ}\text{C}$  เป็นอุณหภูมิที่เหมาะสมสมต่อการเกิดริ่โตรกราเดชัน

ค. ความเย็นขึ้นของน้ำเปล่า เจลสตาร์ชที่มีความเย็นขึ้น 10-80% สามารถเกิดริ่โตรกราเดชันได้และเกิดริ่โตรกราเดชันได้มากที่สุดเมื่อเจลสตาร์ชนิดความเย็นขึ้น 50-55% (Gudmundson, 1994) Chang และ Lui (1991) พบว่าน้ำเปล่าที่มีความเย็นขึ้นสตาร์ชข้าว 50% เกิดริ่โตรกราเดชันสูงที่สุด น้ำเปล่าที่มีความเย็นขึ้นต่ำกว่า 10% หรือสูงกว่า 80% เกิดริ่โตรกราเดชันได้น้อยมาก เนื่องจากเจลสตาร์ชที่มีปริมาณน้ำต่ำอยู่ในสถานะคล้ายแก้ว ทำให้การรวมตัวของไมเลกุล

เกิดขึ้นได้น้อย เมื่อปริมาณน้ำเพิ่มขึ้น การเกิดรีโทรกราเดชันจะเพิ่มขึ้นจนถึงระดับที่ทำให้เกิดรี-โทรกราเดชันได้มากที่สุด คือ มีปริมาณน้ำอยู่ในช่วง 45-50% แต่เมื่อปริมาณน้ำมากเกินไปไม่เลกุลอยู่ในระบบที่เจือจางจึงเกิดรีโทรกราเดชันได้น้อยลง นอกเหนือนี้ยังพบว่าเมื่อเจลมีปริมาณน้ำเพิ่มขึ้นทำให้อุณหภูมิเริ่มถลวยผลึก (T<sub>0</sub>) สูงขึ้น เนื่องจากปริมาณน้ำที่เพิ่มขึ้นทำให้ไม่เลกุลสามารถเคลื่อนที่ได้ผลลัพธ์ที่เกิดขึ้นมีความสมบูรณ์เพิ่มขึ้น (Shi และ Seib, 1995)

ง. กรณหรือค่าง อัตราการเกิดรีโทรกราเดชันจะสูงขึ้นในช่วง pH 5-7 และไม่พบรการเกิดรีโทรกราเดชันที่ pH ต่ำกว่า 2 หรือสูงกว่า 10 อัตราการเกิดรีโทรกราเดชันสูงที่สุดที่ pH 6.5 (คำรบ, 2546)

จ. สารอินทรีย์ สารอินทรีย์บางชนิดมีผลต่อการเกิดรีโทรกราเดชันมาก ซึ่งอาจทำให้เกิดรีโทรกราเดชันเร็วหรือช้าลงก็ได้ สารอินทรีย์ที่ทำให้มีดีแป้งพองตัวได้ง่ายจะป้องกันการเกิดรี-โทรกราเดชันได้ดี ในทางตรงกันข้ามสารอินทรีย์ที่ป้องกันการพองตัวของเม็ดแป้ง จะช่วยให้เกิดรี-โทรกราเดชันได้เร็วขึ้น เช่น น้ำตาลซูโครสจะเพิ่มอัตราการเกิดรีโทรกราเดชัน เนื่องจากน้ำตาลทำให้สตาร์ฟมีความสามารถในการอุ้มน้ำลดลง เพราะน้ำตาลไปขัดขวางการจับน้ำของเม็ดสตาร์ฟโดยไปเย่งน้ำที่มีอยู่แทน (Chang และ Lui, 1991)

#### 2.4.3 ปัจจัยที่มีผลต่อคุณภาพของเจล

อาหารหลายชนิดใช้แป้งในรูปของเจล ผู้ประกอบอาหารมักจะคำนึงถึงความหนืดและความอยู่ตัวเป็นสำคัญ แต่ในรูปของเหลวจะคำนึงถึงความเหนียวและความใส หลักการที่จะให้เจลมีคุณภาพที่ต้องการนั้น ผู้ประกอบอาหารจะต้องคำนึงถึงปัจจัยหลากหลายประการ ปัจจัยเหล่านี้ประกอบด้วย ความเข้มข้นของแป้ง อุณหภูมิและเวลาที่ใช้ประกอบอาหาร ปริมาณเม็ดสตาร์ฟที่แตกตัว น้ำมัน ไขมัน และสาร surfactants

ก. ความเข้มข้นของน้ำแป้ง น้ำแป้งสูกที่มีความเข้มข้นต่ำ มีการจัดเรียงตัวของไมเลกุลอะโนโลสเกิดลักษณะตะกอนชุนขาว แต่ถ้าน้ำแป้งสูกมีความเข้มข้นสูง จำนวนไมเลกุลอะโนโลสที่มากจัดเรียงตัวกันใหม่มีมากและระหว่างการเคลื่อนที่เข้ามาจับกันสามารถเก็บกักน้ำไว้ได้ทำให้ความหนืดเพิ่มขึ้น และในที่สุดเกิดลักษณะเจลที่อ่อนนุ่ม (Collison, 1968) ความเข้มข้นของน้ำแป้งขึ้นกับชนิดของผลิตภัณฑ์ ในการผลิตกัวยเตี๋ยวปริมาณน้ำจะเป็นตัวควบคุมความแข็งของกัวยเตี๋ยว ถ้าใช้น้ำน้อยเกินไปจะได้เส้นกัวยเตี๋ยวที่แข็ง แต่ถ้าใช้น้ำมากเกินไปจะได้เส้นกัวยเตี๋ยวที่นิ่มและขาดง่าย โดยทั่วไปความเข้มข้นของน้ำแป้งในการผลิตเส้นกัวยเตี๋ยวส่วนใหญ่มีปริมาณของแข็ง 38-40% โดยน้ำหนักแห้ง (วิกา, 2541)

ข. ชนิดของแป้ง เม็ดสตาร์ที่ได้จากแหล่งต่างๆ มีโครงสร้างและอัตราส่วนของอะมิโลสต่ออะมิโลเพคตินแตกต่างกันมาก ปัจจัยทั้งสองนี้มีผลต่อกุณสมบัติของเจลมาก

โครงสร้างของเม็ดสตาร์ท การวิเคราะห์โครงสร้างของเม็ดสตาร์ทโดยการใช้เทคนิค X-ray scattering เม็ดสตาร์ทมีลักษณะโครงสร้างพลิก 3 แบบขึ้นอยู่กับลักษณะในการจัดเรียงตัวของเกลียวคู่ ถ้ามีการเรียงตัวหนาแน่นมากและมีปริมาณน้ำต่ำ จะจัดเป็นพลิกแบบ A เช่น สตาร์ทจากธัญชาติต่างๆ เม็ดสตาร์ทจะแตกตัวได้ยาก โดยปกติเม็ดสตาร์ทชนิดนี้จะให้เจลที่มีความหนืดต่ำ และได้เจลที่มีความเหนียวไม่มาก เมื่อต้องการให้เจลมีความหนืดมากขึ้น หรือให้เจลที่เหนียวมากขึ้น จะต้องพยาบานทำให้เม็ดสตาร์ทสุกและแตกมากขึ้น ซึ่งจะต้องใช้อุณหภูมิสูงและเวลานาน ถ้ามีการเรียงตัวกันหลวมๆ และมีปริมาณน้ำสูงจะจัดเป็นพลิกแบบ B เช่น สตาร์ทจากพืชหัว การดูดน้ำจะเป็นไปอย่างรวดเร็ว เม็ดสตาร์ทสุกและแตกตัวง่ายให้เจลที่มีความหนืดสูง แต่เจลที่ได้ก่อนข้างนุ่มไม่เหนียวมากนัก ถ้ามีการเรียงตัวของพลิกทั้งแบบ A และ B รวมกันจัดเป็นพลิกแบบ C เช่น สตาร์ทจากพืชตระกูลถั่ว กำลังการพองตัวและการละลายมีค่าสูงกว่าสตาร์ทจากธัญชาติ เนื่องจากมีจำนวนพันธุ์น้อยกว่า จะเกิดเจลต้านทานที่อุณหภูมิต่ำกว่าสตาร์ทจากธัญชาติ (กลั่นรังค์ และเกื้อฤทธิ์, 2546; Oates, 1996)

อัตราส่วนของอะมิโลสต่ออะมิโลเพคติน อัตราส่วนของอะมิโลสต่ออะมิโลเพคตินมีผลต่อกุณภาพของเจลมาก ข้าวที่มีอะมิโลสสูงจะดูดซึมน้ำและขยายปริมาตรระหว่างการหุงต้มได้มากกว่าข้าวที่มีอะมิโลสต่ำ ส่วนความนุ่มนวลและความเหนียวของข้าวสุกจะขึ้นกับสัดส่วนของอะมิโลเพคติน ข้าวเหนียวมีปริมาณอะมิโลเพคตินสูง จะดูดซึมน้ำและขยายตัวได้น้อยกว่าข้าวเจ้า เมื่อหุงสุกจะมีความเหนียวและนุ่มนวลกว่าข้าวเจ้า (Juliano, 1968) ข้าวที่เหมาะสมสำหรับการทำก๋วยเตี๋ยวจะมีปริมาณอะมิโลส 27-33% เนื่องจากข้าวที่มีอะมิโลสสูง การขยายตัวของสตาร์ทเป็นไปอย่างมั่นคงแข็งแรง ไม่ยุบตัวง่าย สามารถทนการแตกสลายของเม็ดสตาร์ทที่อุณหภูมิสูงได้มากกว่า สามารถทำเป็นแผ่นได้ดี (เสนาอ, 2522; Juliano, 1974)

ค. อุณหภูมิและเวลา น้ำแป้งเมื่อให้ความร้อนงานถึงอุณหภูมิที่เกิดเจลต้านทานซึ่งอุณหภูมิการเกิดเจลต้านทานซึ่งมีผลกับระยะเวลาแป้งสุก แป้งที่มีอุณหภูมิแป้งสุกต่ำจะสุกเร็วกว่าแป้งที่มีอุณหภูมิแป้งสุกสูง (งานชื่น, 2536)

ง. ปริมาณเม็ดสตาร์ทที่แตกตัว การทำให้เม็ดสตาร์ทแตกตัวทำได้จากการโน้ม การขัดสี เม็ดสตาร์ทที่แตกตัวมีผลต่อกุณลักษณะของแป้ง โดยจะส่งผลต่อกุณภาพของผลิตภัณฑ์ทำให้อัตราการดูดซึมน้ำเปลี่ยนแปลง สามารถจับกันน้ำได้ดีขึ้นและสามารถถูกไฮโดรไลซ์ด้วย α-amylase ได้ง่าย (งานชื่น, 2536)

จ. โปรดิน ปริมาณโปรดินมีผลต่อคุณภาพข้าวสุก ข้าวสุกที่มีปริมาณโปรดินสูงจะมีลักษณะแข็งกระด้าง สีคล้ำกว่าข้าวสุกที่มีปริมาณโปรดินต่ำ ในผลิตภัณฑ์อาหารสีน้ำโปรดินจะทำให้ผลิตภัณฑ์มีสีคล้ำและความเหนียวของสีน้ำลดลง (งานชื่น, 2536)

ฉ. น้ำมันและไขมัน ในมันในแป้งมีผลต่อคุณสมบัติของแป้ง เนื่องจากไขมันจะเกิดการรวมตัวกับอะมิโนโลสเกิดเป็นสารเชิงซ้อนของอะมิโนโลสกับไขมัน สารประกอบเชิงซ้อนที่เกิดขึ้นจะไม่ละลายน้ำแต่จะถูกทำลายเมื่อได้รับความร้อนที่อุณหภูมิสูงมากกว่า 120 °C พันธะที่ยึดเหนี่ยว กันจะถูกทำลาย ทำให้ส่วนของอะมิโนโลสสามารถละลายออกจากได้ สารประกอบเชิงซ้อนของอะ มิโนโลสกับไขมันจะมีผลทำให้กำลังการพองตัวและการละลายของแป้งลดลง (Davies และคณะ, 1980)

ช. pH โดยปกติ pH ของแป้งจะอยู่ระหว่าง 5.0-7.0 ถ้าทำให้เกิดโดยให้ pH อยู่ ระหว่างนี้จะไม่มีผลต่อกลางหนึ่งมากนัก แต่ถ้ามีความเป็นกรดมากขึ้น ( $pH < 3.5-4.0$ ) จะทำให้แป้ง มีความหนืดลดลง เนื่องจากพันธะจะถูกทำลายมากขึ้น ทำให้มีค่าสตาร์ชแตกออกได้ง่าย การใช้ อุณหภูมิสูงทำให้มีการทำลายพันธะมากขึ้น (Pomeranz, 1985)

ช. สารsurfactants เป็นโนเลกูลที่มีข้อ สามารถจับกับโนเลกูลของอะมิโนโลสเกิดสาร ประกอบเชิงซ้อนได้ด้วยกับโนเลกูลของอะมิโนโลสจะลดการเกิดริโตรกรา- เดชันได้ เนื่องจากเมื่อโนเลกูลของอะมิโนโลสละลายออกจากกันเมื่อค่าสตาร์ชจะจับกับ surfactants ทำให้ไม่สามารถจับกับโนเลกูลของอะมิโนโลเพคตินได้ในขณะที่สตาร์ชเกิดริโตรกราเดชัน จึงลด ยัตรการจับเรียงตัวใหม่ของอะมิโนโลสกับอะมิโนโลเพคติน surfactants ที่ใช้ทั่วไปในอุตสาหกรรม ได้แก่  $\alpha$ -monoglycerides, sodium stearoyl-2-lactylate (SSL), calcium stearoyl-2-lctylate (CSL), diacetyl tartaric acid ester of mono- and diglycerides (DATEM) (Knight, 1996)

#### 2.4.4 การตรวจสอบการเกิดริโตรกราเดชันของเจล (Karim และคณะ, 2000)

ก. การวัดด้วยวิธีทางวิทยากระแส (Rheometry) การวัดค่าวิทยากระแสแบ่งออกได้ เป็นการวัดแบบทำลายโครงสร้างและการวัดแบบไม่ทำลายโครงสร้างหรือทำลายโครงสร้างเพียง เดือนน้อย การวัดแบบทำลายโครงสร้าง เช่น การวัดเนื้อสัมผัสโดยใช้ Texture Analyzer เป็นวิธีที่ใช้ อย่างกว้างขวางในการทดสอบการเกิดริโตรกราเดชันของเจลสตาร์ช (Jankowski, 1992; Seow และ Thevamalar, 1988) โดยเป็นวิธีวัดทางกายภาพที่ใกล้เคียงกับความรู้สึกของมนุษย์ สามารถออกแบบการคีบของมนุษย์โดยใช้แรงกดซึ่งอาหาร 2 ครั้ง จะได้กราฟระหว่างแรง กับเวลา พารามิเตอร์ที่ได้คือ hardness, fracturability, adhesiveness, springiness, cohesiveness, gumminess และ chewiness เป็นต้น และการวัดความหนืดของสตาร์ช เป็นการศึกษาการเกิดริโตร-

การเดชันของสตาร์ซจากพฤติกรรมการเปลี่ยนแปลงความหนืด เช่น ใช้ปรับเเบนเดอร์ อะมิโลวิสโค-กราฟ (Brabender Amyloviscograph) และ Rapid Visco Analyzer (RVA) เป็นการติดตามความหนืดของสตาร์ซเมื่อมีการเพิ่มและลดอุณหภูมิ การวัดด้วย RVA แตกต่างจากการวัดด้วยปรับเเบนเดอร์ อะมิโลวิสโคกราฟ คือ RVA สามารถเปลี่ยนอุณหภูมิให้ความร้อนและเย็นได้อย่างแม่นยำและรวดเร็ว และสามารถหาลักษณะการเปลี่ยนแปลงความหนืดได้ภายในระยะเวลาสั้น การวัดความหนืดด้วยเครื่องปรับเเบนเดอร์ อะมิโลวิสโคกราฟ และ RVA ให้ผลที่ไม่แตกต่างกัน พารามิเตอร์ที่ได้จากการวัดความหนืด คือ peak viscosity เป็นค่าความหนืดสูงสุด peak time เป็นเวลาที่น้ำแข็งมีความหนืดสูงสุด paste stability หรือ breakdown เป็นค่าแสดงถึงความคงทนของเม็ดสตาร์ซก่อนถูกทำลาย ได้จากการเปรียบเทียบระหว่างค่าความหนืดสูงสุดกับค่าความหนืดต่ำสุด set back หรือ cold paste viscosity เป็นค่าที่ได้จากการเปรียบเทียบระหว่างค่าความหนืดสูงสุดกับความหนืดสูดท้ายเมื่ออุณหภูมิลดลง บอกลักษณะแนวโน้มการเกิดรีໂโทรกราเดชันของสตาร์ซ

การวัดค่าวิทยากระແແນน์ทำลายໂຄຮສ້າງເພີຍເລັກນ້ອຍ ໃຊ້ໃນກາຮືກຢາຄຸມສົມບົດ ວິສໂຄອີລາສົດຶກ (viscoelastic) ຂອງກາຮືກເຈລາດໃນເຫັນແລະກາຮືກເກີດໄທໂກຮຣາເດັ່ນຂອງສຕາຣ໌ ເຊັ່ນ ວິສ Dynamic oscillatory rheometry ໃຊ້ໃນກາຮືກສອນໂຄຮສ້າງຮວ່າງກາຮືກເຈລາດຂອງສຕາຣ໌ ສາມາດວັດກາຮືກຕ້ວຍຍ່າງໄດ້ຍ່າງຕ່ອນເນື່ອໂຄຍໄນທໍາລາຍໂຄຮສ້າງ ກາຮືກຕ້ວຍຍ່າງດ້ວຍວິທີນີ້ ສາມາດວັດກາຮືກປະເລີນແປ່ງຂອງສ່ວນທີ່ເປັນຂອງແຈ້ງແລະສ່ວນທີ່ເປັນຂອງເໜລວ ບໍລະທີ່ມີກາຮືກໃຫ້ການເຄື່ອນກັນກາຮືກເຄີຍດ ໄດ້ຍ່າງຕ່ອນເນື່ອໂຄດອດໜ່ວງເວລາທີ່ຕ້ອງກາຮືກ ພາຣາມີເທືອර໌ທີ່ໄດ້ຈາກກາຮືກ ຄື່ວ storage modulus ( $G'$ ) ແລະ loss modulus ( $G''$ ) ອ່ານ  $G'$  ເປັນກາຮືກພັດງານທີ່ຖືກເກີນໃນວັດຖຸ ເປັນຄ່າທີ່ແສດງถึงກາຮືກຍື່ນຂອງຕ້ວຍຍ່າງຊື່ແສດງດຶງອົງປະກອບສ່ວນທີ່ເປັນຂອງແຈ້ງໃນຕ້ວຍຍ່າງ ແລະຄ່າ  $G''$  ເປັນກາຮືກພັດງານທີ່ສລາຍຫຼືສູງເສີຍຕ່ອງ 1 ຮອນ sinusoidal deformation ດັ່ງນັ້ນຄ່າ  $G''$  ແສດງດຶງສ່ວນທີ່ເປັນຂອງເໜລວຂອງຕ້ວຍຍ່າງຫຼື viscous ສ່ວນພາຣາມີເທືອර໌ອື່ນໆ ທີ່ປ່ອງເຊື້ອຄຸດກິດທາງກາຍກາພຂອງຮະບນ ໄດ້ແກ່ loss tangent ( $\tan \delta = G'' / G'$ ) ເປັນອັດຕາສ່ວນຂອງພັດງານທີ່ສູງເສີຍຕ່ອພັດງານທີ່ຖືກເກີນສໍາຫຼັບໜຶ່ງຮອນຂອງ deformation ອ່ານ  $\delta$  ປ່ອງເຊື້ອສັນພັນຮູ້ຂອງອົງປະກອບທີ່ເປັນ viscous ແລະ elastic ໃນວັດຖຸທີ່ມີຄຸມສົມບົດວິສໂຄອີລາສົດຶກ (Karim ແລະ ຄະ, 2000)

໬. X-ray diffraction ວິທີນີ້ເປັນເກົ່ານີກທີ່ອາຫັນຫັກກາຮືກກາຍິງຂອງຮັງສີເອັກໜ້າທີ່ກຽນກາຮືກຍາວຄລື່ນໄປກະທບ້ື້ນງານແລະເກີດກາຮືກເລີ້ມວັນຂອງຮັງສີທີ່ນຸ່ມຕ່າງກັນ ໂດຍມີຕ້ວ່າ detector ເປັນຕ້ວ່າຮັບຂໍ້ມູນ ເນື່ອງຈາກກາຮືກປະກອບແລະຮາຕຸມສ່ວນພົມທີ່ມີໂຄຮສ້າງຕ່າງກັນຈະທຳໄຫ້ເກີດກາຮືກເລີ້ມວັນທີ່ນຸ່ມທີ່ອົງຄາຕ່າງກັນ ຂໍ້ມູນທີ່ໄດ້ຮັບຈຶ່ງສາມາດນັ່ນກົດຂອງກົດຂອງກາຮືກປະກອບທີ່ມີອູ້ໃນສຕາຣ໌ຕ້ວຍຍ່າງແລະສາມາດໃຊ້ສຶກຢາຮືກໂຄຮສ້າງຂອງພົກສົກຂອງສຕາຣ໌ຕ້ວຍຍ່າງນັ້ນ ໄດ້ນອກຈາກນີ້ຂໍ້ມູນທີ່ໄດ້ບັນດາສາມາດນຳມາຫາປົມາພຽງຮ່າງໆ ຂອງປົມາພຽງການເປັນພົກສົກ ພາດຂອງພົກສົກ

และความคื้นของสารประกอบในสารตัวอย่าง ได้อีกด้วย การหักเหของรังสีเอ็กซ์เมื่อรังสีเอ็กซ์ กระแทบบนผิวทำให้อะตอนแตกและกระจัดกระจาย เป็นผลเนื่องมาจากการเร่งขึ้นและการหน่วง ลงของอิเล็กตรอนที่เกิดจากการเคลื่อนที่ โดยรังสีเอ็กซ์ที่ไปกระทบดูจะมีความยาวคลื่นเดียวกับรังสี เอ็กซ์ที่ไปกระทบ เมื่อร่วมกับความประดิษฐ์ของอะตอนในผิวทำให้เกิดการหักเหในสาม มิติ การหักเหหรือการรบกวนที่สร้างขึ้นเกิดขึ้นจากความแตกต่างในระยะทางเคลื่อนที่ โดยสอง คลื่นหักเหที่เหมือนกันเป็นเลขจำนวนเต็มของความยาวคลื่น เพื่อให้ความยาวคลื่นทั้งสองอยู่ในเฟส เดียวกันกับเส้นแนวระดับแกนระนาบของอะตอน ซึ่งระยะระหว่างระนาบผิวเป็น  $d$  และระยะทาง ที่แตกต่างกันทั้งหมดระหว่างรังสีทั้งสองเป็น  $2d \sin \theta$  ดังนั้นจะได้สมการ (แม่น, 2534;)

$$n\lambda = 2d \sin \theta$$

----2

$n$  คือ เลขจำนวนเต็มใด เช่น 1, 2, 3, ...

$\lambda$  คือ ค่าความยาวคลื่นของรังสีเอ็กซ์

$d$  คือ ระยะห่างระหว่างระนาบผิว

$\theta$  คือ มุมตugalของรังสีเอ็กซ์กับระนาบผิว

การวิเคราะห์ลักษณะโครงสร้างผิวของเม็ดสตาร์ตามธรรมชาตินี้ 3 แบบขึ้นอยู่กับ ความหนาแน่นในการจัดเรียงตัวของพันธะเกลียวคู่ ถ้าเกิดการเรียงตัวหนาแน่นจะเกิดผิวแบบ A ให้พิกที่ 17 และ  $17.9^\circ$  ที่ 20 เช่น แป้งจากชั้นชาติต่างๆ ถ้าจัดเรียงกันหลวมๆ จะเกิดผิวแบบ B ให้ พิกที่ 5.6 และ  $17^\circ$  ที่ 20 แต่ไม่มีพิกที่  $17.9^\circ$  ที่ 20 เช่น แป้งจากพืชหัว ถ้าเกิดการเรียงตัวทึบแบบ A และ B รวมกันจัดเป็นผิวแบบ C จะมีพิกที่ 5.6 และ  $17.9^\circ$  ที่ 20 เช่น แป้งจากพืชกระภูลถัว (กล้า ณรงค์ และ เกื้อกูล, 2546) แป้งที่มีโครงสร้างผิวคู่กันจะให้รูปแบบของการกระจายตัวของแสง และการหักเหรังสีเอ็กซ์ที่ต่างกัน และการนำแป้งธรรมชาติมาเปลี่ยนทำให้ผิวมีลักษณะที่ เปลี่ยนแปลงไป เกลสตาร์จะจากชั้นชาติที่มีไขมัน ในมันจะรวมตัวกับส่วนของมิโลสเกิดเป็น สารประกอบเชิงซ้อนได้ผิวที่มีโครงสร้างแบบ V ให้พิกที่  $20^\circ$  ที่ 20 เมื่อเจลสตาร์เปลี่ยนจาก ส่วนอสัณฐาน ไปเป็นผิวมากขึ้น เป็นการเกิดรีโทรกราเดชันและให้ผิวที่มีโครงสร้างแบบ B ความไวในการตรวจสอบผิวโดยเครื่อง X-ray diffraction มีค่าต่ำเมื่อเปรียบเทียบกับเทคนิค Nuclear magnetic resonance (NMR) และ Fourier transform infrared spectrophotometer (FTIR) (Karim และคณะ, 2000; Ribotta และคณะ, 2004)

ค. Thermal analysis เป็นเทคนิคที่ใช้วิเคราะห์ตัวอย่าง โดยการวัดการเปลี่ยนแปลง พลังงานเชิงความร้อนที่เกิดขึ้นเมื่อมีการคัดหรือการเพิ่มอุณหภูมิตัวอย่าง เครื่องมือที่ใช้ทดสอบ เช่น

เครื่อง Differential Thermal Analysis (DTA) และ Differential Scanning Calorimeter (DSC) เทคนิคในเครื่อง DTA และ DSC คล้ายคลึงกันแต่แตกต่างกันที่แหล่งให้ความร้อนในตัวอย่างกับตัวอย่างอ้างอิง การวัดด้วย DTA แหล่งให้ความร้อนแก่ตัวอย่างกับตัวอย่างอ้างอิงมีอันเดียว แต่การวัดด้วย DSC แหล่งให้ความร้อนแก่ตัวอย่างกับตัวอย่างอ้างอิงแยกกันอย่างอิสระ โดยเทคนิคการวัดด้วยเครื่อง DSC พัฒนามาจาก DTA และมีการใช้อุ่นกว้างขวาง

เทคนิคการวัดด้วย DSC เป็นวิธีการหนึ่งที่ใช้ศึกษาการเปลี่ยนแปลงของสารที่เกี่ยวข้องกับการเปลี่ยนแปลงพลังงาน โดยอาศัยหลักการที่ว่า ทั้งตัวอย่างและตัวอย่างอ้างอิงจะต้องมีอุณหภูมิเดียวกันในกระบวนการให้ความร้อนหรือทำให้เย็นลงในอัตราเร็วที่กำหนด ปริมาณความร้อนจะไหลเข้าสู่ระบบเพื่อที่จะพยายามรักษาความแตกต่างของอุณหภูมิของตัวอย่างและตัวอย่างอ้างอิงให้เป็นศูนย์ ปริมาณความร้อนจะบันทึกเป็นฟังก์ชันกับเวลาหรืออุณหภูมิ คาดคะเนความร้อนเป็นแหล่งพลังงานความร้อน ซึ่งทำหน้าที่เพิ่มอุณหภูมิตัวอย่างและตัวอย่างอ้างอิง เพื่อรักษาอุณหภูมิระหว่างตัวอย่างและตัวอย่างอ้างอิงให้เป็นศูนย์ สัญญาณที่เป็นสัดส่วนกับความแตกต่างของกำลังซึ่งป้อนให้กับตัวให้ความร้อนทั้งสอง จะบันทึกเป็นฟังก์ชันกับอุณหภูมิ ปริมาณความร้อนที่เกิดการเปลี่ยนแปลง สามารถหาโดยสมมติว่าค่า  $\Delta H$  และพื้นที่ใต้กราฟที่แสดงการเปลี่ยนแปลงดังกล่าวเป็นสัดส่วนกัน (กล้า้มรงค์ และ เกื้อกูล, 2546) การนำเทคนิคการวัดด้วยเครื่อง DSC มาประยุกต์ใช้ในการศึกษาการเกิดรีโทรกราเดชัน เป็นการวัดพลังงานที่ตัวอย่างคูลเช้าไปเพื่อสถาปัตย์ โครงสร้างผลึกในเม็ดสตาร์ช ค่าที่อ่านได้ประกอบด้วย อุณหภูมิเริ่มสถาปัตย์ ( $T_0$ ) อุณหภูมิที่จุดสูงสุดของการสถาปัตย์ ( $T_p$ ) อุณหภูมิสุดท้ายของการสถาปัตย์ ( $T_c$ ) และค่า  $\Delta H$  ของการเกิดรีโทรกราเดชัน ซึ่งจะบ่งบอกถึงพลังงานที่ใช้ในการหลอมเหลวผลึกสตาร์ชที่เกิดรีโทรกราเดชันตัวอย่างที่เกิดรีโทรกราเดชันสูงจะมีค่า  $\Delta H$  สูงด้วยเห็นกัน (Chang และ Lui, 1991) และนอกจากนี้ยังพบว่าพิกค์ที่ได้จากการคูดกลืนความร้อนของการเกิดรีโทรกราเดชันต่างจากพิกค์ของการเกิดเจลตัวในซึ่ด้วย โดยพิกค์ของการสถาปัตย์ผลึกที่เกิดจากรีโทรกราเดชันมีลักษณะพิกค์ที่กว้างและเกิดที่อุณหภูมิต่ำกว่าพิกค์ที่เกิดจากเจลตัวในซึ่ของสตาร์ช เมื่อจากโครงสร้างของผลึกที่เกิดรีโทรกราเดชันแตกต่างจากโครงสร้างผลึกที่มีอยู่ในสตาร์ชดังเดิม โครงสร้างผลึกที่เกิดขึ้นใหม่จากการเกิดรีโทรกราเดชันมีลักษณะขนาด ความสมบูรณ์ และความแข็งแรงที่แตกต่างกัน จึงทำให้พิกค์มีลักษณะกว้างมากขึ้น และผลึกที่เกิดขึ้นใหม่จากการเกิดรีโทรกราเดชันมีโครงสร้างผลึกเกิดจากการเรียงตัวของโมเลกุลที่มีความเป็นระเบียบเรียบร้อย ทำให้ความเสถียรของผลึกลดลงซึ่งทำให้สถาปัตย์ตัวที่อุณหภูมิต่ำกว่าผลึกที่เกิดจากการเจลตัวในซึ (Karim และคณะ, 2000; Lopez และ Perez, 1994 ; Sasaki และคณะ, 2000)

4. Turbidimetric method การวัดลักษณะทางกายภาพของการเกิดรีโทรกราเดชันของสตาร์ชด้วยเทคนิคการวัดความขุ่น ซึ่งเป็นผลจากการเปลี่ยนแปลงความหนาแน่นของตัวอย่าง

(Miles และคณะ, 1985) โดยสามารถตรวจสอบค่าแสงส่องผ่านหรือค่าดูดกลืนแสงโดยเครื่องสเปกโตรโฟโตมิเตอร์ (Spectrophotometer) ในการวัดการเกิดรีໂโทรกราเดชันต้องใช้ตัวอย่างที่มีความเข้มข้นน้อยกว่า 2% ถ้าตัวอย่างแสดงค่าความชุ่มน้ำมากแสดงว่าตัวอย่างนั้นเกิดรีໂโทรกราเดชันสูง (Ring และคณะ, 1987)

จ. การวัดสตาร์ที่ไม่สามารถย่อยด้วยเอนไซม์ (resistance of starch to hydrolysis) วิธีนี้ศึกษาการเกิดรีໂโทรกราเดชันจากการทนต่อการย่อยของสตาร์ชด้วยกรดหรือเอนไซม์ amylolytic enzyme (Morris, 1990; Sievert และคณะ, 1991) การวัดการซักขาวการย่อยสตาร์ชด้วยเอนไซม์เป็นวิธีที่เร็วมาก และเมื่อพบว่าสตาร์ชที่ไม่ถูกย่อยด้วยเอนไซม์มีปริมาณมากแสดงว่าเกิดรีໂโทรกราเดชันได้มาก

ฉ. การวัดน้ำที่แยกออกจากเจล (syneresis) วิธีนี้เป็นเทคนิคการวัดน้ำที่แยกออกจากเมื่อเจลสตาร์ชเกิดรีໂโทรกราเดชัน โดยไม่เลกุกภายในเจลสตาร์ชจับกันอย่างหนาแน่น ทำให้น้ำแยกออกจากโครงสร้างตามข่าย ปริมาณของน้ำที่ถูกแยกมาออกเป็นความสัมพันธ์ทางตรงกับแนวโน้มการเกิดรีໂโทรกราเดชันของสตาร์ช ค่าปริมาณน้ำที่แยกออกจากเจลคำนวณจากอัตราส่วนของน้ำอิสระที่ถูกแยกออกจากกันน้ำหนักของตัวอย่าง ถ้ามีปริมาณน้ำที่ถูกแยกออกจากมากเกิดรีໂโทรกราเดชันได้มาก (Karim และคณะ, 2000)

ช. Colorimetric วิธีนี้เป็นการวัดการเกิดสีระหว่างอะมิโลสกับสารละลายไอกอเดิน เมื่อสารละลายไอกอเดินจับตัวกับอะมิโลสจะเกิดสีน้ำเงิน สตาร์ชที่เกิดรีໂโทรกราเดชันมีปริมาณอะมิโลสสูงสามารถจับกับไอกอเดินเกิดสีน้ำเงินได้น้อยลง โดยวัดที่ความยาวคลื่น 640 นาโนเมตร ซึ่งวิธีนี้สามารถตรวจวัดการเกิดรีໂโทรกราเดชันของอะมิโลสเท่านั้น และการวัดค่าวิธีนี้จะมีสารรบกวนการเกิดสีมาก โดยเฉพาะไขมันและอะมิโลเพกติน (Karim และคณะ, 2000)

## 2.5 จลนพลศาสตร์ของการเกิดรีໂโทรกราเดชันของสตาร์ช (Kinetic of Starch Retrogradation)

จลนพลศาสตร์ (kinetic) เป็นการศึกษากลไกของกระบวนการ สามารถนำไปใช้ประโยชน์ 2 ลักษณะ คือ สามารถใช้อธิบายการเกิดปฏิกิริยาเชิงปริมาณและใช้ในการศึกษากลไกของปฏิกิริยาในระหว่างการเกิดรีໂโทรกราเดชัน ผลึกจะเกิดนิวเคลียสที่ระยะเวลาต่างกัน ระยะเวลาที่ต่างกันทำให้เกิดจำนวนผลึก อัตราการเจริญของผลึก และความหนาแน่นของผลึกที่แตกต่างกัน จำนวนของผลึกที่เกิดขึ้นจะขึ้นกับระยะเวลาการเกิดรีໂโทรกราเดชันของสตาร์ช ซึ่งเกี่ยวข้องกับการศึกษารูปแบบทางคณิตศาสตร์ โดยสมการ Avrami (สมการที่ 3) สามารถทำนายอัตราการเกิด

รีโทรกราเดชันของสตาร์ซที่ขึ้นกับเวลาการเก็บได้จากความสัมพันธ์ระหว่าง exponentially linear (n) กับเวลา (Fathat และคณะ, 2000; Farthat และ Blanshard, 2001)

จากสมการ Avrami (Baik และคณะ, 1997)

$$\frac{\theta = Y_L - Y_t}{Y_L - Y_0} = \exp(-kt^n) \quad ----3$$

เมื่อ  $\theta$  เป็นจำนวนของผลึกที่ได้จากการทดสอบ (เช่น XRD crystallinity index, NMR relaxation rates และ elastic modulus)

$Y_0$  และ  $Y_L$  เป็นค่าของผลึกที่ระยะเวลา 0 และที่ระยะเวลาที่ผลึกเกิดขึ้นมากสุดตามลำดับ

$Y_t$  เป็นค่าของผลึกที่ระยะเวลาใดๆ

$k$  เป็นค่าอัตราคงที่ ( $\text{time}^{-1}$ )

$n$  เป็นค่า Avrami exponent

จากสมการที่ 3 สามารถแปลงเป็นสมการที่ 4 ซึ่งสามารถคำนวณหาอัตราการเกิดรีโทรกราเดชันได้ โดยการหาอัตราการเกิดรีโทรกราเดชันขึ้นกับระยะเวลาการเก็บ สามารถคำนวณจากสมการที่ 4 โดยค่า Avrami exponent ( $n$ ) ได้จากความชันของกราฟระหว่างค่า  $\log \left[ -\ln \left( \frac{Y_L - Y_t}{Y_L - Y_0} \right) \right]$  กับค่า  $\log t$  และสามารถหาค่า  $k$  ซึ่งเป็นค่าแสดงถึงอัตราการเกิดผลึกหรือการเกิดรีโทรกราเดชันของเจลสตาร์ซ ถ้าค่า  $k$  มากอัตราการเกิดผลึกหรือการเกิดรีโทรกราเดชันมีค่ามาก โดยค่า  $k$  คำนวณได้จากค่า  $\log k$  ( $\log k$  คือ บุคคลคุณของสมการ 4)

$$\begin{aligned} \log \left[ -\ln \left( \frac{Y_L - Y_t}{Y_L - Y_0} \right) \right] &= n \log t + \log k \quad ----4 \\ Y &= mX + C \end{aligned}$$

## 2.6 Surfactants

การใช้ surfactants ในอาหารมีมาตั้งแต่ปีค.ศ. 1920 ปริมาณการใช้ประมาณ 100,000 ตัน ส่วนใหญ่ใช้ในอุตสาหกรรมอาหารที่ผลิตจากชัญชาติ โดยใช้ในการปรับสภาพของโอด ทำให้ขนมปังนุ่ม (Moorthy, 1985)

surfactants เป็นสาขาระหว่างกรดไขมันที่ไม่ซ่อนน้ำ esterified กับกลุ่มที่มีขั้วที่ซ่อนน้ำ surfactants เป็นกลุ่มของ polyvalent ของแอลกอฮอล์ที่แตกต่างกัน เช่น propylene glycol, glycerol, sorbitan หรือ sucrose นอกจากนี้กลุ่มของ surfactants ที่มีขั้วสามารถทำปฏิกิริยากับกรด เช่น lactic, acetic, citric, succinic และ diacetyl tartaric acid (DATA) เป็นต้น และมีกลุ่มของ surfactants ที่ซ่อนน้ำแต่ไม่มีประจุ เช่น ethoxylated sorbitan esters หรือ ethoxylated monoglycerides (EMG) และกลุ่มของ surfactants ที่มีประจุลบ เช่น sodium stearoyl-2-lactylate (SSL) หรือ calcium stearoyl-2-lactylate (CSL) surfactants มีโครงสร้างทางเคมีทั้งในส่วนที่ซ่อนน้ำและไม่ซ่อนน้ำ คังนั้นเมื่อเติม surfactants ในน้ำมันหรือน้ำจะมีการคุกคัประหว่างชั้นของน้ำมันและน้ำ ช่วยลดแรงตึงผิวของสาร 2 ชนิดที่ไม่ผสมกัน (น้ำและไขมัน) โดยการละลายหรือเกิดสารประกอบเชิงช้อนกับสารทั้ง 2 ชนิดและสนับสนุนการเป็นอิมัลชัน (Krog, 1981)

ค่า hydrophilic/lipophilic balance (HLB) ของ surfactants แสดงถึงความสมดุลระหว่างส่วนที่ซ่อนน้ำและไม่ซ่อนน้ำ surfactants แต่ละชนิดมีค่า HLB เฉพาะตัวขึ้นกับโครงสร้างทางเคมี surfactants ที่มีค่า HLB ต่ำ (3-6) เป็นกลุ่มที่มีขั้วเด็กน้อย ละลายได้ดีในน้ำมัน คงตัวได้ดีในอิมัลชันแบบน้ำในน้ำมัน เช่น monoglyceride (MG) หรือ propylene glycol ester มีผลต่อแรงตึงผิวน้อยกว่ากลุ่มที่มีขั้วมาก surfactant ที่มีค่า HLB สูง (8-18) ละลายในน้ำ คงตัวในอิมัลชันชนิดน้ำในน้ำมัน เช่น SSL, DATA หรือ polysorbate ค่า HLB ไม่สามารถบ่งชี้ถึงประสิทธิภาพของอิมัลชันໄฟเออร์ได้เพียงแต่บอกได้ว่าลักษณะของอิมัลชันควรเป็นแบบใด (Krog, 1981; Manley, 1991; Stauffer, 1996; McClements, 1999)

### 2.6.1 ชนิด surfactants

การแบ่งชนิดของ surfactants สามารถแบ่งได้หลายลักษณะ (Del, 1975; Stutz และคณา, 1973) ดังนี้คือ

- แบ่งตามต้นกำเนิด เช่น จากธรรมชาติหรือการสังเคราะห์ (ดังตารางที่ 2)
- แบ่งตามคุณสมบัติการละลาย
- แบ่งตามหน้าที่
- แบ่งตามค่า HLB
- แบ่งตามประจุ เช่น มีประจุ และไม่มีประจุ (ดังตารางที่ 2)

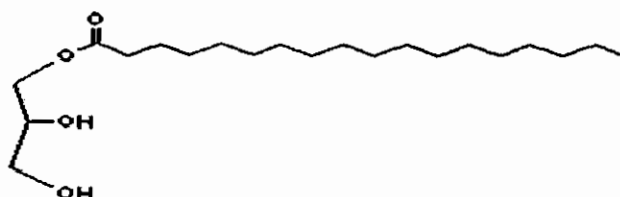
ตารางที่ 2 ชนิดของ surfactants

<b>Classification</b>	<b>Surfactants</b>
<b>Naturally</b>	
Ionic	Bile salt Phospholipids- lecithin Inositol phosphate
Nonionic	Saponin Monoglycerides
<b>Synthetic</b>	
Ionic	Acyl lactylates Soaps Diethyl sodium sulfosuccinate
Nonionic	Propylene glycol monoesters Glycerol monoesters Sucrose esters Polyglycerol esters Sobitan esters Polyoxyethylene sorbitan esters complex esters
<b>Regulated</b>	Polysorbate 65 Sodium lauryl sulfate Sorbitan monostearate Polysorbate 60 Monoglyceride citrate

Classification	Surfactants
	Calcium stearoyl-2-lactylate
	Dioctyl sodium sulfosuccinate
	Sodium stearyl fumarate
	Succinylated monoglycerides
	Sodium stearyl-2-lactylate
	Ethoxylated mono- and diglycerides

ที่มา : Del Vecchio (1975)

ก. Glycerol monostearate (GMS) มีสูตรโมเลกุลคือ  $C_{21}H_{42}O_4$ ;  $C_{39}H_{76}O_5$  และมีสูตรโครงสร้างคือ  $CH_3(CH_2)_{16}COOCH_2CHOHCH_2OH$  (รูปที่ 6) ผลิตทางการค้าโดยปฏิกริยา glycerolysis ของไขมันสัตว์ เช่น น้ำมันหมู เป็นต้น (Knightly, 1968) มีลักษณะเป็น wax solid มีสีขาวหรือสีครีม อุณหภูมิของจุดหลอมเหลว  $69^{\circ}\text{C}$  ละลายในแอลกอฮอล์และเอகเซน เป็น surfactant ชนิดชอบน้ำ มีค่า HLB 4-6 ใช้มากในการปรับปรุงคุณลักษณะทางกายภาพของผลิตภัณฑ์เป็นรวมถึงรักษาความนุ่มนวลของนมป้องระวังการเก็บรักษา (Gray และ Bemiller, 2003)



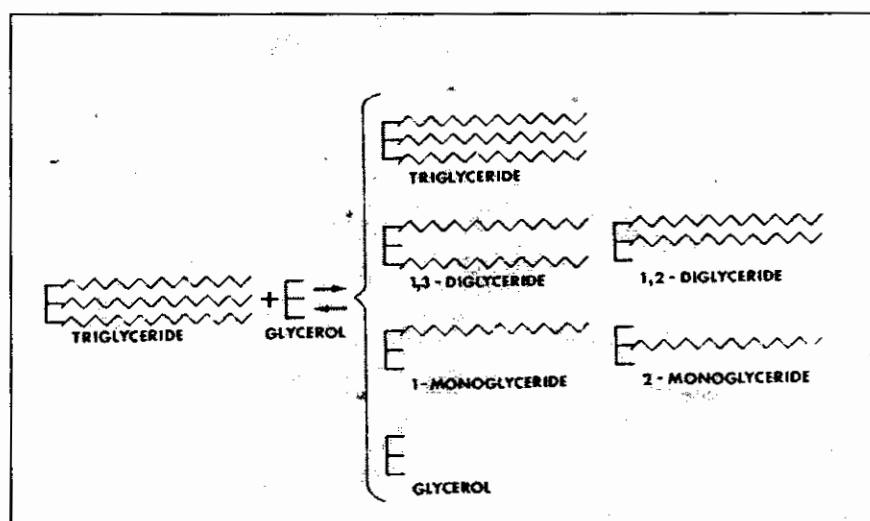
รูปที่ 6 สูตรโครงสร้างของ GMS

ที่มา : Field (2003)

Kaur และคณะ (2005) ได้ศึกษาอิทธิพลของ GMS ต่อการผัดเส้นก๋วยเตี๋ยวจากสารชี้ขาวโพดและสารชี้มันฝรั่ง พบร่วมกันว่าการเติม GMS 1% ต่อน้ำหนักเป็น ลดกำลังการพองตัว ค่าการละลายและการแยกน้ำ และมีผลทำให้อุณหภูมิการเกิดเจลาตินайซ์และค่า  $\Delta H$  เพิ่มขึ้น และการเติม GMS ในเส้นก๋วยเตี๋ยวทำให้เส้นก๋วยเตี๋ยวใช้เวลาทำให้สุกเพิ่มขึ้น ค่า cooked loss และ น้ำหนักของเส้นก๋วยเตี๋ยวสูงลดลง เนื่องจากการเติม GMS ทำให้เกิดการประกอบเชิงซ้อนระหว่าง GMS กับอะ-มิโนส จะยับยั้งน้ำไม่ให้เข้าไปภายในเม็ดสารชี้ ทำให้การพองตัวของเม็ดสารชี้ลดลง

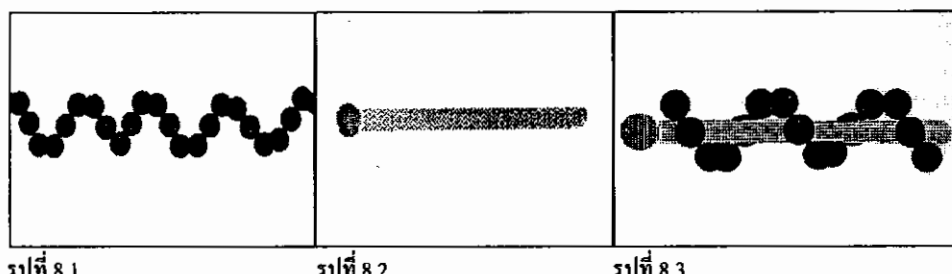
ii. Monoglyceride (MG) ผลิตจากไขมันจากพืชหรือสัตว์ เป็นการผสานของ mono-diacylglycerides ผ่านกระบวนการ transesterification ระหว่าง glycerol อิสระกับ triacylglycerides ลักษณะทางกายภาพเป็นก๊าซ ของเหลว หรือ plastic เป็นแผ่นหรือเม็ดกลมขึ้นกับชนิดของไขมัน หรือน้ำมันที่ใช้เป็นวัตถุดิน

หน้าที่ของ MG แตกต่างจากไขมันและน้ำมัน เพราะหมู่ hydroxyl อิสระในส่วนของ glycerol ในไขมันเลกุลของ MG จะชอบน้ำ ทำให้มักชั้นมีความคงค้าง ปรับปรุงเนื้อสัมผัสและปริมาณของเค็มและความนุ่มนวลของไขมันปั้น มีการประยุกต์ใช้อย่างกว้างขวางในผลิตภัณฑ์นม ขนมหวาน เช่น เช้ฟ กระบวนการผลิตนมฝรั่ง ชุดชาติ อาหารขบเคี้ยว และพาสตา เป็นต้น



รูปที่ 7 ปฏิกิริยาการเกิด MG (เส้นชัก霞กเป็นสัญลักษณ์สายโซ่ไขมันเลกุลของกรดไขมัน)  
ที่มา : Krog (1979)

ในอุตสาหกรรมนมอน MG ทำให้ crumb ในไขมันปั้นมีความนุ่มโดยเกิดสารประกอบ เชิงช้อนระหว่าง MG และอะมิโนโลสในสตาร์ชของไขมันปั้น โดยในระหว่างการอบที่อุณหภูมิประมาณ  $50^{\circ}\text{C}$  MG จะเข้าไปใน semi-solution (mesophase) จับกับส่วนของน้ำ ขณะที่อุณหภูมิเพิ่มขึ้นแล้วเริ่มเกิดเจลตัวในชั้นเม็ดสตาร์ชคุณน้ำมากขึ้นพร้อมกับพองตัวขึ้นเรื่อยๆ จนกระทั่งโครงสร้างของเม็ดสตาร์ชแตกไป เกิดการพองตัวแบบผันกลับไม่ได้ พร้อมกับสายโซ่ไขมันเลกุลอะมิโนโลสแพร่ออกมานอกเม็ดสตาร์ช MG จะจับกับอะมิโนโลส ภายนอก ทำให้เกิดสารประกอบเชิงช้อนระหว่าง MG และอะมิโนโลส สารประกอบเชิงช้อนที่เกิดขึ้นเป็นสารประกอบเชิงช้อนไม่ละลายน้ำ (รูปที่ 8) (Krog, 1979)



รูปที่ 8.1

รูปที่ 8.2

รูปที่ 8.3

รูปที่ 8 การเกิดสารประกอบเชิงซ้อนของ MG กับอะมิโลส (รูปที่ 8.1 โนมเลกุลอะมิโลส รูปที่ 8.2 โนมเลกุลสายโซ่ต่างของ MG และรูปที่ 8.3 การเกิดสารประกอบเชิงซ้อนของอะมิโลสกับ MG)

ที่มา : Krog (1979)

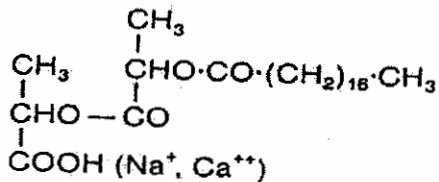
MG ที่อ่อนตัวจะมีประสิทธิภาพในการเกิดสารประกอบเชิงซ้อนมากกว่า MG ที่ไม่อ่อนตัว เมื่อเดิน MG ที่อ่อนตัวลงในบนมีน้ำจะเกิดสารประกอบเชิงซ้อนกับอะมิโลสเป็นผลึกแบบ  $\beta$ -crystalline hydrate ส่วน MG ที่ไม่อ่อนตัวจะให้ผลิตภัณฑ์ที่มีคุณภาพไม่ดี มีปริมาตรลดลง อายุการเก็บลดลง (Legendijk และ Pennings, 1970) นอกจากนี้การเติม MG ในผลิตภัณฑ์พวกราบปาเกตต์ กว่ายเติบะหรือบะหมี่ จะมีผลต่อความเหนียวแน่นของติดกันหรือจับกันเป็นก้อนลดลง เมื่อเติม MG ที่ระดับ 0.5% ลงในเส้นราบปาเกตต์ พบร้าความเหนียวแน่นของติดกันเป็นก้อนลดลงอย่างมีนัยสำคัญ เมื่อเปรียบเทียบกับเส้นราบปาเกตต์ที่ไม่เติม surfactants (Matsuo และคณะ, 1986) စอดคล้องกับการทดลองของ Rho และคณะ (1989) ที่เติม MG, SSL และ lecithin ที่ระดับ 0.1%, 0.3% และ 0.5% ลงในเส้นบะหมี่ที่ผลิตจาก hard red winter flour พบร้าการเติม SSL และ MG มีค่า surface firmness เพิ่มขึ้น และมีค่า cutting stress ลดลง ขณะที่การเติม lecithin ทำให้ค่า surface firmness เพิ่มขึ้นเพียงเล็กน้อย เนื่องจาก MG และ SSL ที่เติมลงไปมีผลกับสตาร์ชหรือกับโปรตีน โดย MG เกิดสารประกอบเชิงซ้อนกับอะมิโลส ทำให้ค่าการละลายและการพองตัวลดลง

Krog และ Jensen (1970) ศึกษาอิทธิพลของ MG ต่อความสามารถในการเกิดสารประกอบเชิงซ้อน และ anti – staling พบร้า MG ที่มีรูปแบบผลึกแบบ  $\alpha$  มีความสามารถในการเกิดสารประกอบเชิงซ้อนมากที่สุด

Lagendijk และ Pennings (1970) ศึกษาความสามารถของ MG กับน้ำหนักโนมเลกุลที่เพิ่มขึ้นในการเกิดสารประกอบเชิงซ้อนกับอะมิโลสและอะมิโลเพคติน พบร้าจำนวนของ MG เกิดสารประกอบเชิงซ้อนกับอะมิโลเพคตินได้น้อยกว่าอะมิโลส และการเพิ่มน้ำหนักโนมเลกุลของ MG ทำให้เพิ่มความสามารถการเกิดสารประกอบเชิงซ้อนระหว่าง MG กับ อะมิโลเพคติน

Toufeili และคณะ (1995) ได้เติม MG, SSL และ DATEM ที่ระดับ 0.25% และ 0.5% เพื่อศึกษาคุณสมบัติทางเคมีภysis การจับน้ำในข้นปั๊ง arabic พบร่วมกัน MG มีค่าประสิทธิภาพการจับน้ำและร้อยละของอะมิโลสที่ละลายอยู่ในน้ำเป็นของตัวอย่างน้อยสุด DATEM มีค่าประสิทธิภาพการจับน้ำและร้อยละของอะมิโลสที่ละลายอยู่ในน้ำเป็นของตัวอย่างมากสุด และ SSL มีค่าประสิทธิภาพการจับน้ำและร้อยละของอะมิโลสที่ละลายอยู่ในน้ำเป็นของตัวอย่างมากสุด เพราะอะมิโลสจะจับกับ surfactants เกิดเป็นสารประกอบเชิงซ้อน เป็นโครงสร้างที่แข็งแรง ซึ่งจะส่งผลให้ค่าการพองตัวและการละลายลดลง และการเกิดเจลติดในชั้นคลองด้วย เมื่อเปรียบเทียบกับตัวอย่างที่ไม่เติม surfactant (Ghiahi และคณะ, 1982; Riisom และคณะ, 1984)

ค. Sodium stearoyl -2- lactylate (SSL) ผลิตจากกรด lactic ร่วมกับกรด stearic และเป็นผลจากการทำปฏิกิริยาของโซเดียมไฮดรอกไซด์กับเกลือ มีสูตรโครงสร้างดังรูปที่ 9 SSL มีคุณสมบัติเป็นกรด มีค่า pH 4-5 มีประจุลบ ละลายได้ในน้ำร้อนหรือละลายในไขมันหรือน้ำมันที่ร้อน (Krog, 1990)



รูปที่ 9 สูตรทางเคมีของ SSL

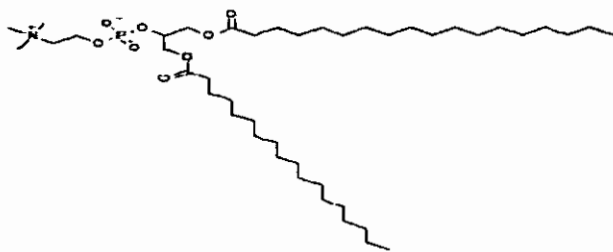
ที่มา : Krog (1990)

SSL สามารถใช้ร่วมกับอิมัลซิไฟเออร์อื่นๆ เช่น MG ทำให้เจลคงตัว SSL เป็น surfactant ที่ชอบน้ำ ใช้ในอิมัลชันชนิดน้ำมันในน้ำ และนอกจากนี้ SSL ใช้ร่วมกับ CSL มีผลในการเกิดสารประกอบเชิงซ้อนกับสตาร์ช และใช้มากในอุตสาหกรรมขนมอาหารและอุตสาหกรรมสตาร์ช การมีประจุลบช่วยป้องกันการเสียสภาพของโปรดีน (Gray และ Bemiller, 2003)

Azizi และ Rao (2005) ศึกษาผลของ SSL, DATEM, GMS และ distilled glycerol monostearate (DGMS) ต่อคุณภาพของข้นปั๊งที่ผลิตจากแป้งสาลี โดยการเติม SSL, DATEM, GMS และ DGMS ที่ระดับ 0.5% เก็บเป็นเวลา 3, 6, 9 และ 15 วัน พบร่วมกับการเติม SSL ปรับปรุงคุณภาพของข้นปั๊งได้มากที่สุด ตามด้วย DGMS, DATEM และ GMS ตามลำดับ เนื่องจาก SSL และ DATEM มีประจุเป็นลบ แต่ DGMS และ GMS ไม่มีประจุ และ SSL, DATEM, DGMS และ GMS มีค่า HLB 10-12, 8-10, 3-4 และ 3-4 ตามลำดับ ประจุลบและค่า HLB ส่งผลให้ความสามารถ

ของ surfactants แต่ก็ต่างกัน และนอกจานี้ยังพบว่า SSL จะไม่เกิดสารประกอบเชิงซ้อนเฉพาะกับอะมิโลสเท่านั้น แต่สามารถเกิดสารประกอบเชิงซ้อนกับอะมิโลเพคตินด้วย (Destefanis และคณะ, 1977)

4. Lecithin เป็นสารที่เกิดขึ้นตามธรรมชาติ มีสูตรทางเคมีแสดงดังรูปที่ 10 lecithin พมในไบ์แอลมีปริมาณ 8-10% ในถั่วเหลืองมีปริมาณ 2.5% และพบในผัก lecithin ที่เกิดขึ้นตามธรรมชาติได้รับการยกเว้นการควบคุมทางกฎหมาย (ค่า Acceptable daily intake in mg/kg body weight per day (ADI) = Not limited)



รูปที่ 10 สูตรทางเคมีของ lecithin

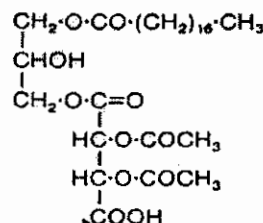
ที่มา : Field (2003)

การผลิต lecithin ในทางการค้าได้จากการสกัดจากถั่วเหลืองมากที่สุดเนื่องจากมีราคาถูก (Manley, 1991) lecithin มีค่า HLB 3-4 ใช้ในอุตสาหกรรมนมอบ ลดการเกิด stalting lecithin ที่สกัดได้จากการถั่วเหลืองมีประสิทธิภาพในการป้องกันการเกิดผลึกในเจลสตาร์ชและป้องกันการเกิด stalting ในขนมปัง แต่ lecithin ที่สกัดจากโว้คป้องกันการเกิด stalting ได้นากกว่า lecithin ที่สกัดได้จากการถั่วเหลืองแต่ไม่มีผลในการเกิดผลึกต่อเจลสตาร์ช (Forssell และคณะ, 1998)

Niihara และ Yonezawa (1981) เดิน lecithin กับ monoolein ที่ระดับ 0.3% ต่อน้ำหนัก แล้ว ลงในแป้งสาลีเพื่อศึกษาการเกิดเจลาตินซ์ พบว่า monoolein มีค่าการละลายและการพองตัวต่ำกว่าที่ lecithin มีค่าการละลายและการพองตัวสูงเมื่อเปรียบเทียบกับแป้งสาลีที่ไม่เดิน surfactants เนื่องจาก monoolein จะเกิดสารประกอบเชิงซ้อนกับอะมิโลสภายในเม็ดสตาร์ช ทำให้เกิดเป็นโครงสร้างที่แข็งแรง อะมิโลสจะช่วยคงอยู่ภายในเม็ดสตาร์ช ไม่ละลายหลุดออกมายานอก ทำให้ขับยึดค่าการพองตัวและการละลาย ซึ่งสอดคล้องกับการทดลองของ Rho และคณะ (1989) ที่เดิน SSL, MG และ lecithin ที่ระดับ 0.1%, 0.3% และ 0.5% ลงในผลิตภัณฑ์เส้น绑หนี เพื่อเพิ่ม surface firmness และลด cutting stress การเดิน SSL และ MG จะเพิ่มค่า surface firmness และลด cutting

stress แต่ lecithin เป็น surface firmness ได้เพียงเล็กน้อย และทำให้ cutting stress เพิ่มขึ้น ผลกระทบของการเติม lecithin ในเด็นบะหมี่แตกต่างจากการเติม MG หรือ SSL เนื่องจาก lecithin ไม่เกิดสารประกอบเชิงชั้อนกับอะมิโน\_acid

จ. Diacetyl tartaric acid ester of monoglyceride (DATEM) มีประจุลบและขอบน้ำผลิตโดยการทำปฏิกิริยาของ diacetylated tartaric acid anhydride กับ MG โดย diacetylated tartaric acid anhydride เตรียมได้จากการกลั่น tartaric acid จากอุดสาหกรรมไวน์ โดย tartaric acid ทำปฏิกิริยากับ acid anhydride องค์ประกอบทางเคมีของ DATEM อธิบายได้ดังรูปที่ 11 องค์ประกอบหลักของ DATEM ขึ้นอยู่กับชนิดของ MG ที่ใช้เป็นวัตถุคุณิตในการผลิต DATEM มีลักษณะเป็นแผ่นหรือผงหรือเป็นลักษณะก้อนของเหลว DATEM อัตรา C16/C18 มีความเสถียรอุ่นในรูปผลึก α มีจุดหลอมเหลว 45 °C และลายน้ำได้ มีค่า pH ต่ำ (pH 2-3) เนื่องจากมีหมู่ของ carboxyl อิสระและลະลายน้ำได้มากขึ้นถ้า pH สูงถึง 4-5 DATEM บางส่วนละลายในไขมันและน้ำมัน DATEM นำมาใช้มากในอุดสาหกรรมนมอบที่ใช้สต์ เพื่อปรับสภาพโคล (Krog, 1990)

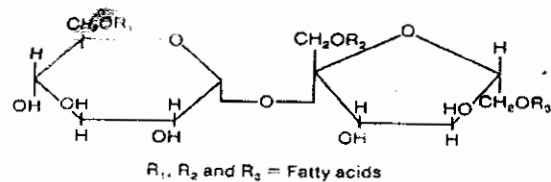


รูปที่ 11 สูตรทางเคมีของ DATEM  
ที่มา : Krog (1990)

Rogers และ Hoseney (1983) พบว่า DATEM 0.05% สามารถให้ผลในการเป็น antistaling agents เช่นเดียวกับ SSL หรือ ethoxylated monoacylglycerols เมื่อเทียบขนาดปั่นนานกว่า 5 วัน แต่ประสิทธิภาพของ DATEM ในการลดการเกิดริโทรกราเดชันและการเกิดสารประกอบเชิงชั้อนกับอะมิโน\_acid เมื่อเทียบกับ MG และ polyoxyethylene monostearate (POEMS) มีประสิทธิภาพน้อยกว่า (Krog และคณะ, 1989) แสดงว่าคุณสมบัติของ DATEM ในการป้องกันเชิงตัวของนมปั่น อาจเกิดเนื่องจากการเปลี่ยนแปลงความหนาของ cell wall และ elasticity นอกจากนี้เมื่อใช้ DATEM ร่วมกับ MG จะช่วยลดการแข็งตัวในนมปั่นเมื่อระยะเวลาการเก็บนานขึ้น (Gray และ Bemiller, 2003)

ฉ. Sucrose Esters ของครค ไขมัน เป็นที่รู้จักมากกว่า 30 ปี ได้จากการ esterification ของครค ไขมันกับซูโคโรสและน้ำตาลอื่นๆ sucrose esters มีองค์ประกอบของ mono-ester และ octa-

ester อยู่เป็นจำนวนมากขึ้นอยู่กับระดับของการ esterification มีสูตรทางเคมีดังแสดงในรูปที่ 12 (Krog, 1990)



รูปที่ 12 สูตรทางเคมีของ sucrose ester ของครด. ใบมัน  
ที่มา : Krog (1990)

Sucrose ester ใช้ปรับปรุงปริมาตรของนมปั่นและเนื้อสัมผัสร่วมถึงการยึดอาหารเก็บรักษา และช่วยปรับปรุงการขยายตัวของคุกกี้ด้วย sucrose ester ที่มีค่า HLB สูงมีประสิทธิภาพในการปรับปรุงความนุ่มนวล ปริมาตร และการขยายตัวของคุกกี้มากกว่าที่มีค่า HLB ค่า sucrose ester เพิ่มความนุ่มนวลของผลิตภัณฑ์นมอบของโคลที่ผ่านการแช่แข็งมากกว่าในผลิตภัณฑ์นมอบของโคลที่ไม่ผ่านการแช่แข็ง และนอกจากนี้ยังพบว่าปริมาตรของนมปั่นบางชนิดที่ไม่มีส่วนผสมของแป้งสาลีจะไม่เปลี่ยนแปลงเมื่อมีการเติม sucrose ester (Finey และ Shogren, 1974; Ebeler และ Walker, 1983; Breyer และ Walker, 1984; American Institute of Baking Report, 1990)

ช. Polyoxyethylene monostearate (POEMS) เป็นการทำปฏิกิริยาของ ethylene oxide และ stearic acid พบว่า POEMS ป้องกันการเกิด stalting ได้ โดยใช้ POEMS ที่ระดับ 0.5-1% สามารถลดอัตราการแข็งตัวของนมปั่นระหว่างการเก็บวันที่ 1 ถึงวันที่ 3 กล. ในการป้องกันการเกิด stalting ของ POEMS คือ POEMS ทำให้อะมิโลสไม่ละลายและ POEMS สามารถทำปฏิกิริษาระหว่างเม็ดสารซักบันธ์ไฮโดรเจน (Maga, 1975; Edelmann และคณะ, 1950; Skovholt และ Dowdle, 1950)

### 2.6.2 หน้าที่ของ surfactants

ก. การเกิดสารประกอบเชิงช้อนกับสตาร์ช การเกิดสารประกอบเชิงช้อนระหว่างอะมิโลสและใบมันมีมากกว่าอะมิโลเพคตินและใบมัน เนื่องจากโมเลกุลอะมิโลสมีลักษณะเป็นสายโซ่ข้าวมีจำนวนน้ำตาลกรูโคส 20-40 หน่วย ในขณะที่อะมิโลเพคตินมีลักษณะเป็นกิ่งสันๆ มีกิ่งก้านของน้ำตาลกรูโคส 15-20 หน่วย ใบมันที่มีข้าว เช่น MG ครด. ใบมัน และสารประกอบอื่นๆ ที่คัด抜ค้างกัน เกิดการรวมตัวเป็นสารประกอบเชิงช้อนกับอะมิโลสได้ การเกิดสารประกอบ

เชิงชี้อนระหว่างอะมิโลสและไขมันเกิดจากสายไฮดรอคาร์บอนของไขมันและพันธะเกลี่ยวุ่งของอะมิโลส (Eliasson และ Gudmundsson, 1996) นอกจากนี้การเกิดสารประกอบเชิงชี้อนขึ้นอยู่กับความยาวของสายโซ่การรับอนของไขมันหรือ surfactants ไขมันที่มีสายการรับอนน้อยกว่า 9 มีความสามารถในการเกิดสารประกอบเชิงชี้อนต่ำ ไขมันที่มีความยาวของสายการรับอนอยู่ระหว่าง 12-18 สามารถเกิดสารประกอบเชิงชี้อนได้ดี (Eliasson และ Gudmundsson, 1996) การตรวจสอบสารประกอบเชิงชี้อนของอะมิโลสกับไขมันทำได้โดยใช้ X-ray diffraction, DSC และ Electron microscopy

ข. ลดการพองตัวของสตาร์ช การเติม surfactants ลดการพองตัวในเม็ดสตาร์ชและควบคุมการพองตัวของเม็ดสตาร์ชระหว่างการอบ โดยเกิดสารประกอบเชิงชี้อนกับอะมิโลสที่ภายนอกเม็ดสตาร์ช ทำให้พอลิเมอร์ของสตาร์ชนีการเคลื่อนที่น้อย ดังนั้นการตอบสนองเกิดขึ้นได้น้อยช่วยลดอัตราการเกิดรีโทรกราเดชันของสตาร์ช surfactants ที่มีข้อเกิดสารประกอบเชิงชี้อนที่แข็งแรงกับอะมิโลส เช่น ครดไขมันสายโซ่ยาว MG และ POEMS (Gray และ Bemiller, 2003)

ค. มีความสัมพันธ์กับโปรตีน ในเลกุลของ surfactants กับกลูเตน (gluten) ถูกปลดปล่อยระหว่างการอบและเกิดสารประกอบเชิงชี้อนกับพอลิเมอร์ของสตาร์ชที่หลุดออกภายนอกในช่องว่างของเม็ดสตาร์ช (Gray และ Bemiller, 2003)

### 2.6.3 กลไกของ surfactants ในการป้องกันการเกิดรีโทรกราเดชัน

กลไกการทำงานของ surfactants ในการป้องกันการเกิดรีโทรกราเดชันของเจล คือในขณะเกิดเจลโครงสร้างโนเลกุลของอะมิโลสเดิมเป็นสายตรงเกิดการเปลี่ยนแปลงเป็นแบบเกลี่ยวสั่งผลให้บางส่วนของโนเลกุลอะมิโลสที่มีคุณสมบัติไม่ชอบน้ำฟังก์ชันภายในโครงสร้างที่เป็นเกลี่ยว surfactants ที่เติมลงไปจะทำงานร่วมกับโนเลกุลอะมิโลส โดยโครงสร้างบางส่วนของ surfactants ซึ่งเป็นส่วนที่ไม่ชอบน้ำถูกผลักดันให้เข้าไปภายในโครงสร้างที่เป็นเกลี่ยวของอะมิโลส อีกส่วนหนึ่งของสาร surfactants ซึ่งเป็นส่วนที่ชอบน้ำ จะยึดอกรากด้านนอกทำให้สามารถเกิดพันธะไฮdroเจนกับโนเลกุลน้ำ เกิดการคุกซับน้ำไว้ในอะมิโลส จึงเป็นการป้องกันการเกิดรีโทรกราเดชันจากกลไกดังกล่าวพบว่า surfactants ที่ใช้ป้องกันการเกิดรีโทรกราเดชันนั้นจำเป็นต้องมีโครงสร้างเหมาะสมเพื่อที่จะสามารถเข้าไปในโครงสร้างที่เป็นเกลี่ยวได้ (Destefanis และคณะ, 1977; Mord และ D'Appolonia, 1980; Krog, 1981)

Conde-petit และ Escher (1991) ได้ใช้ DSC ในการตรวจพบรการเกิดสารประกอบเชิงชี้อนของ surfactants กับโนเลกุลอะมิโลสในเจลสตาร์ช พบร่องว่าเจลสตาร์ชที่เกิดสารประกอบเชิงชี้อนของโนเลกุลอะมิโลสกับ surfactant ป้องกันการแข็งตัวของนมปั่น โดยลดอัตราการเกิด

ผลึกของสตาร์ช ซึ่งการเกิด staling ในขณะปั้งขึ้นตอนแรกเกิดจากการตกผลึกของสตาร์ชและเกิดไฉลอย่างรวดเร็วที่อุณหภูมิ  $-2^{\circ}\text{C}$  (Knightly, 1968) นอกจากนี้มีการใช้เทคนิค X-ray diffraction, DSC และ Electron microscopy อธิบายการเกิดสารประกอบของเชิงช้อนของไขมันกับอะมิโลส และสามารถสรุปได้ว่าส่วนทางที่เป็นไฮdrocarbon (hydrocarbon) ของกรดไขมันที่เกิดสารประกอบ เชิงช้อน จะอยู่ด้านในของ hydrate V helix และส่วนหัวที่มีข้ออ้อด้านนอกของ lumen (Godet และ คณะ, 1993) นอกจากนี้ยังพบว่าการเติม surfactants จะลดการพองตัวของสตาร์ช เนื่องจากเมื่อเติม surfactants ลงในสตาร์ชเกิดสารประกอบเชิงช้อนกับอะมิโลสทำให้เกิดเป็นพันธะที่แข็งแรงขึ้นช่วยป้องกันการละลายและการหลุดออกของอะมิโลส จึงทำให้มีค่าสตาร์ชลดการพองตัว ทำให้พอลิเมอร์ของสตาร์ชลดการเคลื่อนที่หลังเกิดสารประกอบเชิงช้อน ดังนั้นจึงเกิดผลึกได้น้อยลง (Gray และ Bemiller, 2003)

## บทที่ 3

### วัตถุดิน อุปกรณ์ และวิธีการ

#### 3.1 วัตถุดินและสารเคมี

1. น้ำมันพืชตราอยุ่น
2. แป้งข้าวเจ้าตราช้างสามศรียชนิดไม่น้ำ
3. วัตถุกันเสีย (โซเดียมเบนโซเอต) (Ajax chemicals)
4. เอทิลแอลกอฮอล์ 95% (Fluka)
5. โซเดียมไไฮดรอกไซด์ (Merk)
6. กรดอะซิติก 100% (Merk)
8. อะมิโนสบาร์สูทซ์จากมันฝรั่ง (Sigma)
9. ไอโอดีน (Merk)
10. โพแทสเซียมไอโอดีด (Ajax finechem)
11. กรดซัลฟูริกเข้มข้น 95-97% (Merk)
12. คอปเปอร์ซัลเฟต (Fluka)
13. โซเดียมไไฮดรอกไซด์ (Merk)
14. กรดบอริก (Fluka)
15. ไบปัตเตเชิมซัลเฟต (APS finechem)
16. กรดไฮโดรคลอริก (Merk)
17. เมทิลเรคและไบร์ โมครีซอลกรีน (Merk)
18. ปีโตรเลียมอีเทอร์ (Malinckrodt Baker)
19. MG จากบริษัท cognis
20. GMS จากบริษัท cognis
21. SSL จากบริษัท cognis

### 3.2 อุปกรณ์และเครื่องมือ

1. ถาดสแตนเลสขนาด 20 x 30 เซนติเมตร
2. หนอนจี้ไฟฟ้า
3. ผ้าขาวบาง
4. มีดปลายแหลม
5. เครื่องชั่งรุ่น Sartorius BP 3100 s พิกัด 3100 กรัม และรุ่น Sartorius BP 221 s พิกัด 220 มิลลิกรัม
6. ชุดเครื่องแก้ว (ใช้ในการกราดห้องเคมี)
7. เครื่อง Differential Scanning Calorimeter รุ่น Pyris I Perkin Elmer ประเทศไทย
8. เครื่องหาความชื้น Hot air oven รุ่น WTB BINDER ประเทศไทยเยอรมัน
9. เครื่อง Texture Analyzer รุ่น TA-XT2i , Stable micro system™ ประเทศไทย
10. เครื่องหาปริมาณไขมัน (Soxtec extraction unit) ยี่ห้อ Tecator รุ่น 1043 ประเทศไทยสวีเดน
11. เครื่องย่อยโปรตีน (Digestion unit) ยี่ห้อ Gerhardt Kjeldatherm รุ่น Type TR ประเทศไทยเยอรมัน
12. เครื่องกั่นวิเคราะห์โปรตีน (Distillation unit) ยี่ห้อ Gerhardt รุ่น VAP33 ประเทศไทยเยอรมัน
13. เครื่อง X-ray Diffraction ยี่ห้อ Jeol รุ่น JDX-3530 ประเทศไทยญี่ปุ่น
14. เครื่อง Rapid Visco Analyzer ยี่ห้อ Newport Scientific รุ่น RVA-4 ประเทศไทยอเมริกา
15. เครื่องวัดค่าดูดกลืนแสง (UV-visible spectrophotometer) ยี่ห้อ Spectronic Unicam รุ่น GENESYS 10 UV ประเทศไทยสหรัฐอเมริกา
16. เครื่อง Rheometer ยี่ห้อ Paar Physica รุ่น MR 300 ประเทศไทยเยอรมัน

### 3.3 วิธีการทดลอง

#### 3.3.1 ศึกษาผลของอุณหภูมิและเวลาในการเก็บรักษาต่อการเกิดริโกรกรานเดชันของเส้นกวยเตี๋ยว

ก. ศึกษาองค์ประกอบพื้นฐานของแป้งข้าวเจ้าทางด้านเคมี เคมีกายภาพ และกายภาพ

- วิเคราะห์องค์ประกอบพื้นฐานทางเคมีของแป้งข้าวเจ้าในด้านความชื้น เส้าโปรตีน ไขมัน คาร์โบไฮเดรต ตามวิธี A.O.A.C (1995) และปริมาณอะมิโนไซด์ คัดแปลงจากวิธีของ Juliano (1971)

- วิเคราะห์คุณสมบัติทางเคมีภาระของแป้งข้าวในด้านความคงตัวของเจลแป้งข้าว ด้วยคัดแปลงจากวิธีของ Juliano และ Villareal (1993)
- วิเคราะห์คุณสมบัติทางเคมีภาระของแป้งข้าวในด้านกำลังการพองตัวและค่าการละลาย ด้วยคัดแปลงจากวิธีของ Yoonyongbuddhagal และ Noomhorn (2002)

**ก. การเตรียมเส้นก๋วยเตี๋ยว โดยคัดแปลงจากวิธีของเสนอ (2522)**

- การเตรียมน้ำแป้ง เตรียมน้ำแป้งโดยมีเนื้อแป้ง 42% (w/v) โดยคำนวณความชื้นของแป้งข้าวเจ้าและเติมน้ำให้ได้ความชื้นที่ 42% ตามต้องการ
  - การนึ่ง เติมน้ำเดือนเป็น 2% ของน้ำหนักแป้งลงในน้ำแป้ง ก่อนให้ละลายเป็นเนื้อเดียวกัน พักน้ำแป้งไว้ 30 นาที เพื่อให้แป้งดูดซึมน้ำได้เต็มที่ ใช้ช้อนคนไม่ให้แยกตัว แล้วคงน้ำแป้ง 50 กรัม เทลงในถาดขนาด  $20 \times 30$  เซนติเมตร ซึ่งทาผิวด้วยคราดคัวข้าวมัน 0.2 มิลลิลิตร เอียงถาดและเขย่าเบาๆ ให้น้ำแป้งกระจายตัวเต็มถาดเป็นแผ่นฟิล์มนบางๆ นึ่งด้วยไอน้ำที่อุณหภูมิน้ำเดือดนาน 5 นาที แล้วพิงไว้ให้เย็นในตาก
  - ตอกแผ่นก๋วยเตี๋ยวออกจากถาด โดยตัดเส้นก๋วยเตี๋ยวให้มีขนาด  $2.5 \times 5$  เซนติเมตร หนา 0.5-0.7 เซนติเมตร หนา มัน 0.2 มิลลิลิตร ที่ผิวน้ำของเส้นก๋วยเตี๋ยวเพื่อไม่ให้เส้นก๋วยเตี๋ยวติดกัน เก็บเส้นก๋วยเตี๋ยวใส่ถุงซิปแล้วใส่กล่องพลาสติก เก็บที่อุณหภูมิ 9, 30 และ  $40^{\circ}\text{C}$  เป็นระยะเวลา 0, 24, 48, 72, 96 และ 120 ชั่วโมง (factorial in CRD ขนาด  $3 \times 3$ ) แล้วทำการวัดคุณภาพเส้นก๋วยเตี๋ยว

**ก. การตรวจสอบคุณภาพเส้นก๋วยเตี๋ยว**

วัดคุณภาพของเส้นก๋วยเตี๋ยวดังนี้

- ค่าความชื้นของก๋วยเตี๋ยวโดยใช้วิธีของ A.O.A.C (1995)
- ทดสอบคุณลักษณะทางเนื้อสัมผัส ด้วยเครื่อง Texture Analyzer ด้วยคัดแปลงจากวิธีของ Inglett และคณะ (2005) ใช้หัววัสดุปูทรงกระบอก ขนาดเส้นผ่าศูนย์กลาง 10 มิลลิเมตร (P/10) กดเส้นก๋วยเตี๋ยวที่มีความกว้าง 2.5 เซนติเมตร ยาว 5 เซนติเมตร หนา 0.5 - 0.7 มิลลิเมตร และวางช้อนก้นจำนวน 10 เส้น กำหนดให้หัววัดกดลงบนเส้นก๋วยเตี๋ยวเป็นระยะทาง 80% ของความสูงตัวอย่าง บันทึกค่าแรงกดสูงสุดและระยะทาง ณ จุดที่เส้นก๋วยเตี๋ยวขาด
- ทดสอบการเปลี่ยนแปลงเชิงความร้อนด้วยเครื่อง DSC ตามวิธีของ Perdon และคณะ (1999) ชั่งตัวอย่าง 13-15 มิลลิกรัม ลงใน aluminum pan เพิ่มอุณหภูมิ  $30 - 100^{\circ}\text{C}$  ลดอุณหภูมิจาก  $100 - 30^{\circ}\text{C}$  และเพิ่มอุณหภูมิอีกครั้งจาก  $30 - 100^{\circ}\text{C}$  ด้วยอัตราการเพิ่ม – ลดอุณหภูมิ

เป็น 10 °C/นาที ใช้ pan เป็น reference subtract peak และว่างการให้ความร้อนครั้งแรกและให้ความร้อนครั้งที่สอง บันทึกค่า ΔH, To, Tp และ Tc

- ตรวจสอบโครงสร้างภายใน ด้วยเครื่อง X-ray Diffraction ตามวิธีของ Shi และ Seib (1992) เริ่มสแกนมุมหักเหช่วง 3.00° ถึง 40.00° ด้วยอัตราเร็ว 0.01°/วินาที บันทึกรูปแบบการเดี่ยวแบบของรังสีเอกซ์ และคำนวณร้อยละความเป็นผลึกชนิด B-type และ V-type ดังสมการ

$$\text{ความเป็นผลึกหักเห (ร้อยละ)} = \frac{\text{พื้นที่ได้พีคของความเป็นผลึกหักเห}}{\text{พื้นที่หักเหของスペกตรัม}} \times 100 \quad \text{----5}$$

$$\text{ความเป็นผลึกชนิด B-type (ร้อยละ)} = \frac{\text{พื้นที่ได้พีคของผลึกชนิด B-type}}{\text{พื้นที่หักเหของスペกตรัม}} \times 100 \quad \text{----6}$$

$$\text{ความเป็นผลึกชนิด V-type (ร้อยละ)} = \frac{\text{พื้นที่ได้พีคของผลึกชนิด V-type}}{\text{พื้นที่หักเหของスペกตรัม}} \times 100 \quad \text{----7}$$

### 3.3.2 ศึกษาผลของชนิดและปริมาณสาร surfactants ต่อการเกิดริโกรกราเดชันของเจลเป็นข้าวและคุณภาพของเส้นก้าวเดี่ยว

ผสมสาร surfactants ชนิดต่างๆ ที่ระดับแตกต่างกันกับแป้งข้าว นำมาเก็บที่อุณหภูมิที่ 9, 30 และ 40 °C โดยแต่ละอุณหภูมิจะเก็บเจลแป้งและเส้นก้าวเดี่ยวไว้เป็นระยะเวลา 0, 24, 48, 72, 96 และ 120 ชั่วโมง จากนั้นทำการวัดคุณภาพเจลแป้งข้าวและเส้นก้าวเดี่ยว

#### ก. การเตรียม surfactants

เติม surfactants คือ MG ที่ระดับ 0.1%, 0.3% และ 0.5% SSL ที่ระดับ 0.3%, 0.5% และ 0.7% และ GMS ที่ระดับ 0.08%, 0.2% และ 0.4% ของน้ำหนักแป้ง เตรียม surfactants โดยหลอมเหลว surfactants ให้เป็นสารละลาย โดยให้ความร้อนที่อุณหภูมิของจุดหลอมเหลวของ surfactant แต่ละชนิด (MG ที่ 59 °C, SSL ที่ 45 °C และ GMS ที่ 65 °C) ใช้อัตราส่วนของ surfactants ต่อ น้ำ 1:4 กวนด้วย magnetic bar ด้วยความเร็ว 1,200 รอบ/นาที เป็นเวลา 7 นาที จึงได้เป็นอิมัลชันเติมลงในน้ำแป้งที่ใช้ผลิตเส้นก้าวเดี่ยว ผลิตเส้นก้าวเดี่ยวตามข้อ 3.3.1. ฉ

#### ข. วิเคราะห์คุณภาพเจลแป้งด้วยเครื่อง RVA

เตรียม surfactants ตามข้อ 3.3.2 ก. เติม surfactant ในน้ำแป้งโดยเติม MG ที่ระดับ 0.1%, 0.3% และ 0.5% SSL ที่ระดับ 0.3%, 0.5% และ 0.7% และ GMS ที่ระดับ 0.08%, 0.2% และ 0.4% ของน้ำหนักแป้ง ผสมกับน้ำแป้งตามที่กำหนด โดยใช้แป้ง 2.5 กรัม (น้ำหนักแห้ง) ในน้ำ 25

นิลลิติตร โดยรีบ์ให้ความร้อนที่  $50^{\circ}\text{C}$  เป็นเวลา 1 นาที จากนั้นเพิ่มอุณหภูมิจาก  $50 - 95^{\circ}\text{C}$  และให้อุณหภูมิกลงที่  $95^{\circ}\text{C}$  นาน 18 วินาที จากนั้นลดอุณหภูมิเป็น  $50^{\circ}\text{C}$  โดยมีอัตราการเพิ่ม-ลดอุณหภูมิเป็น  $13.6^{\circ}\text{C}/\text{นาที}$  เปรียบเทียบความหนืดของแป้งข้าวที่ไม่เติม surfactants กับแป้งข้าวที่เติม surfactants ด้วยเครื่อง RVA ตามวิธีของ Azizi และ Rao (2005) โดยบันทึกอุณหภูมิที่เริ่มเกิดความหนืด ค่าความหนืดสูงสุด ค่า breakdown ค่าความหนืดสุดท้าย และค่า setback

#### ค. วิเคราะห์คุณภาพเจลแป้งข้าวต้มเครื่อง Rheometer

ทดสอบการเปลี่ยนแปลงคุณสมบัติทางวิทยากระแสด้วยเครื่อง Rheometer เตรียมเจลแป้งด้วยเครื่อง RVA โดยนำน้ำแป้งที่ความเข้มข้น 30% ทั้งแบบที่เติมและไม่เติม surfactant ในระดับที่เหมาะสม มาเพิ่มอุณหภูมิจาก  $50 - 95^{\circ}\text{C}$  คงไว้ที่  $95^{\circ}\text{C}$  เป็นเวลา 2 นาที ลดอุณหภูมิมาที่  $80^{\circ}\text{C}$  คงไว้ที่  $80^{\circ}\text{C}$  เป็นเวลา 2 นาที โดยมีอัตราการเพิ่ม-ลดอุณหภูมิเป็น  $12.5^{\circ}\text{C}/\text{นาที}$  นำเจลแป้งที่บังร้อนมาวัดค่า  $G'$  ทันทีด้วยเครื่อง Rheometer โดยใช้หัววัด pp25, 1 Hz, gap 2 mm., 0.01% strain ซึ่งอยู่ในช่วง linear region วัดที่อุณหภูมิ  $9^{\circ}\text{C}$  เป็นเวลา 10 ชั่วโมง นำค่า  $G'$  ที่เวลาต่างๆ มาคำนวณอัตราการเกิดรีໂทร-กราเดชันของเจลแป้งด้วย Avrami equation

#### ง. ศึกษาผลของชนิดและปริมาณสาร surfactants ต่อการเกิดรีໂทรกราเดชันของเส้นก๋วยเตี๋ยว

เตรียม surfactants ตามข้อ 3.3.2. ก และนำไปเติมลงในน้ำแป้ง ผลิตเป็นเส้นก๋วยเตี๋ยวตามข้อ 3.3.1 ข นำเส้นก๋วยเตี๋ยวที่เติม surfactant และไม่เติม surfactant มาเก็บที่อุณหภูมิ 9, 30 และ  $40^{\circ}\text{C}$  เป็นระยะเวลา 0, 24, 48, 72, 96 และ 120 ชั่วโมง วัดคุณภาพดังนี้

##### ตรวจสอบคุณสมบัติทางเคมีกายภาพของเส้นก๋วยเตี๋ยว

- ทดสอบคุณลักษณะทางเนื้อสัมผัสด้วยเครื่อง Texture Analyzer ดัดแปลง จากวิธีของ Inglett และคณะ (2005) เช่นเดียวกับข้อ 3.3.1. ก
- ทดสอบการเปลี่ยนแปลงเชิงความร้อนด้วยเครื่อง DSC ตามวิธีของ Perdon และคณะ (1999) เช่นเดียวกับข้อ 3.3.1. ก
  - ตรวจสอบโครงสร้างภายใน ด้วยเครื่อง X-ray Diffraction ตามวิธีของ Shi และ Seib (1992) เช่นเดียวกับข้อ 3.3.1. ก

### 3.3.3 การวิเคราะห์ผลทางสถิติ

ใช้แผนการทดลองแบบ Factorial in CRD วิเคราะห์ความแปรปรวน (ANOVA) ที่ระดับความเชื่อมั่น 95% ทดสอบความแตกต่างด้วยวิธี DMRT (duncan's new multiple range test) ด้วยโปรแกรม SAS Version 8

บทที่ 4  
ผลและวิจารณ์

#### 4.1 ผลของอุณหภูมิและเวลาในการเก็บรักษาต่อการกิจกรรมกราดขันของเส้นก๋วยเตี๋ยว

##### 4.1.1 องค์ประกอบพื้นฐานของแป้งทางด้านเคมี เคมีกายภาพ และกายภาพ

###### ก. ผลการวิเคราะห์องค์ประกอบทางเคมี

องค์ประกอบทางเคมีของแป้งที่ใช้ในการผลิตเส้นก๋วยเตี๋ยว มีผลต่อถั่น้ำของ พลิตภัณฑ์ ได้ทำการวิเคราะห์องค์ประกอบทางเคมีของแป้งข้าวเจ้าแสดงผลดังตารางที่ 3

ตารางที่ 3 องค์ประกอบทางเคมีของแป้ง

ตัวอย่าง	องค์ประกอบทางเคมี (ร้อยละน้ำหนักแห้ง)					
	ความชื้น	ถ้า	โปรตีน	ไขมัน	คาร์โบไฮเดรต	อะมิโน_acid
แป้งข้าวเจ้า	13.16	0.30	6.56	0.46	79.52	28.84
	$\pm 0.08$	$\pm 0.06$	$\pm 0.17$	$\pm 0.01$	$\pm 0.15$	$\pm 0.34$

หมายเหตุ  $\pm$  คือ ส่วนเบี่ยงเบนมาตรฐาน

จากการวิเคราะห์ปริมาณความชื้นของแป้งข้าว พบวมีปริมาณความชื้น  $13.16 \pm 0.08\%$  ปริมาณถ้า  $0.30 \pm 0.06\%$  ปริมาณโปรตีน  $6.56 \pm 0.17\%$  ปริมาณโปรตีนแสดงถึง ภูมิภาคของแป้งสูงและมีผลต่อสีของพลิตภัณฑ์ เมล็ดข้าวที่มีโปรตีนสูงทำให้ข้าวสุกกระด้างและสี คล้ำกว่าเมล็ดข้าวที่มีโปรตีนต่ำ ดังนั้นปริมาณโปรตีนมีผลต่อสีและความเนียน滑ของเส้นก๋วยเตี๋ยว เส้นก๋วยเตี๋ยวที่มีโปรตีนโปรตีนสูงทำให้เส้นมีสีคล้ำและเนื้อสัมผัสระดับ สูงทำให้ในเมล็ดข้าว มีโปรตีนเฉลี่ย 7% เป็นปริมาณโปรตีนที่มีอยู่น้อย (อรอนงค์, 2547) ดังนั้นปริมาณโปรตีนที่มีใน แป้งข้าวเจ้าที่ใช้เป็นวัตถุดินอยู่ในเกษตรที่ใช้ได้สำหรับปริมาณไขมันในแป้งมี  $0.46 \pm 0.01\%$  และมี ปริมาณคาร์โบไฮเดรต  $79.52 \pm 0.15\%$  ซึ่งเป็นองค์ประกอบที่มีมากที่สุดในแป้ง องค์ประกอบทางเคมี ของแป้งที่ใช้ในการทดลองมีค่าใกล้เคียงกับงานวิจัยที่ผ่านมา (เสนาอ, 2522; อรพรวรรณ, 2547; Yoenyongbuddhagal และ Noomhorm, 2002) และจากการทดลองพบว่ามีปริมาณอะมิโน\_acid  $28.84 \pm 0.34\%$  ปริมาณอะมิโน\_acid มีความสัมพันธ์กับสมบัติการดูดซับน้ำของข้าวหรือแป้งข้าว ข้าวที่

มีอัมโนไลต์สูงจะดูดซึมน้ำ ขยายตัว และพองตัวในระหว่างการหุงต้ม ได้นำกว่าข้าวที่มีปริมาณอะมิโนไอลส์ต่ำ นอกจากนี้ปริมาณอะมิโนไลต์สูงมีความสัมพันธ์กับลักษณะเนื้อสัมผัสในด้านความนุ่มนวลหรือความเหนียว และความร่วน (เสนอ, 2522) ดังนั้นปริมาณอะมิโนไลต์ในเบื้องข้าวเจ้าจึงสามารถคาดคะเนลักษณะเนื้อสัมผัสของเส้นก้าวเดียวได้ ผลิตภัณฑ์ก้าวเดียวนิยมใช้ข้าวที่มีปริมาณอะมิโนไลต์สูง (มากกว่า 27% ขึ้นไป) เนื่องจากข้าวที่มีปริมาณอะมิโนไลต์สูง การขยายตัวของเบื้องเป็นไปอย่างนั่นคง แข็งแรง ไม่ยุบตัวง่าย สามารถด้านทานการแตกถลายของเม็ดสารชีวะอุณหภูมิสูงได้มาก สามารถทำเป็นแผ่นได้ดี (พินพีเพ็ญ, 2533) ดังนั้นจากการวิเคราะห์ปริมาณอะมิโนไลต์ในเบื้องข้าวเจ้า พนวณเป็นเบื้องข้าวเจ้าที่มีปริมาณอะมิโนไลต์สูง จึงเหมาะสมในการผลิตเส้นก้าวเดียว

#### ข. ผลการวิเคราะห์องค์ประกอบทางเคมีภysis

ความคงตัวของเจลเป็นคุณสมบัติทางเคมีภysis โดยลักษณะของเบื้องสุกปุงบอกถึงลักษณะคุณภาพความคงตัวของเจลดังตารางที่ 4 เบื้องสุกอ่อนมีความนุ่มนของเจลมากกว่าเบื้องสุกที่มีลักษณะแข็ง ผลการวิเคราะห์ความคงตัวของเจลเบื้องที่ใช้ผลิตเส้นก้าวเดียวแสดงในตารางที่ 5

ตารางที่ 4 ระยะทางที่เบื้องไหลด

ระยะทางที่เบื้องไหลด(มล.)	ความคงตัวของเจล	ข้าวสุก
25-40	แข็ง	ร่วนมาก
41-60	ปานกลาง	ค่อนข้างร่วน
61-100	อ่อน	นุ่น

ที่มา : งานชั้น (2529)

ตารางที่ 5 ความคงตัวของเจลเบื้อง

คงตัวอย่าง	ระยะทาง(มล.)
เบื้องข้าวเจ้า	$53.50 \pm 0.71$
หมายเหตุ $\pm$ คือค่าเบี่ยงเบนเหลือ	

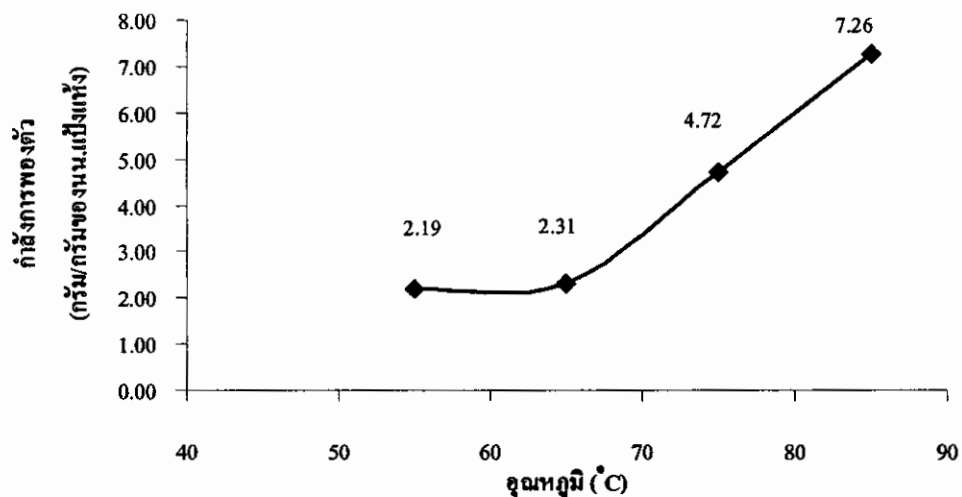
จากผลการทดลองถ้าความคงตัวของเจลเบื้องข้าวเจ้า พนวณเบื้องข้าวเจ้ามีระยะทางการไหลด 53.50 มิลลิเมตร แสดงถึงลักษณะของเบื้องสุกอ่อนข้างร่วนและมีความคงตัวของเจลปานกลาง สอดคล้องกับการทดลองของ อรพรวน (2547) วิเคราะห์เบื้องข้าวเจ้าทางการค้ามีความคงตัว 51

นิคลิเมต์ มีความคงตัวของเจลปานกลาง เมื่อหุงเป็นข้าวสุกค่อนข้างร่วน และค่าความคงตัวของเจล มีความสัมพันธ์กับปริมาณอะมิโลสด้วย โดยเป็นข้าวที่มีปริมาณอะมิโลสสูงความคงตัวของเจลสูง ตามด้วย สอดคล้องกับการศึกษาของ Ott และ Hester (1965) ได้ทดลองความคงตัวของเจลเมื่อเพิ่ม ปริมาณอะมิโลสในแป้งข้าวโพด พนว่าค่าความคงตัวของเจลสูงขึ้นเมื่อเพิ่มปริมาณอะมิโลส ปริมาณอะมิโลสช่วยให้เจลเกิดโครงร่างตาย่าย ซึ่งช่วยในการกักเก็บน้ำและเป็นตัวชี้อัมเม็ดสารซึ่ง และส่วนต่างๆ ซึ่งเส้นก้าวเดียวเป็นผลิตภัณฑ์ที่ต้องการความคงตัวและความเหนียวของเส้น ดังนั้น เป็นข้าวเจ้าหรือข้าวพันธุ์ที่มีอะมิโลสสูงจึงเหมาะสมในการผลิตเส้นก้าวเดียว และจากการทดลองหา ปริมาณอะมิโลสในแป้งพบว่ามีปริมาณอะมิโลสสูง จึงเหมาะสมในการผลิตเส้นก้าวเดียว

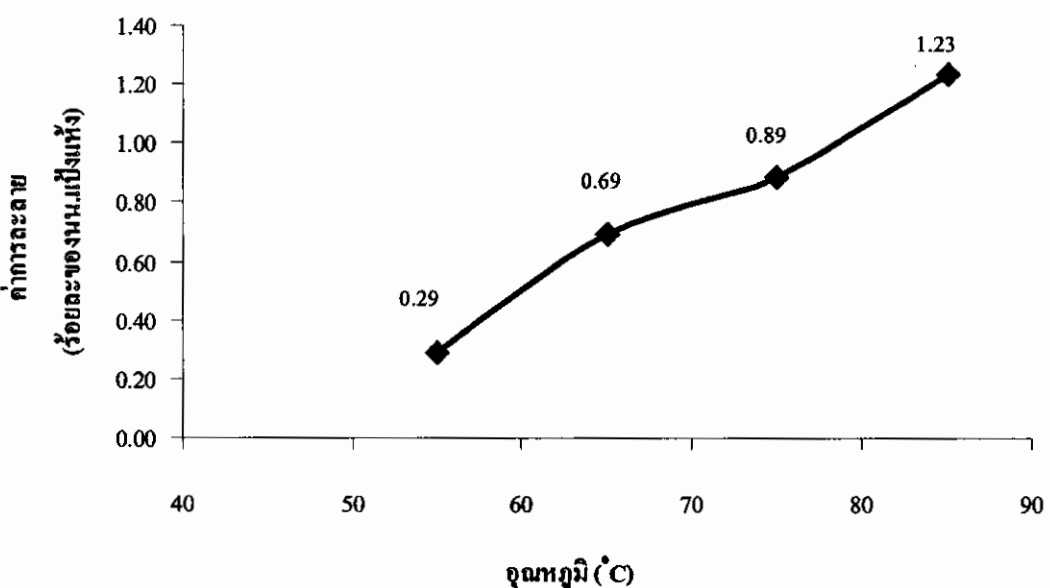
#### ก. การวิเคราะห์องค์ประกอบทางกายภาพ

จากการวัดค่ากำลังการพองตัวและค่าการละลายของแป้งข้าวเจ้า พนว่าที่อุณหภูมิ 55, 65, 75 และ 85 °C มีกำลังการพองตัว 2.19, 2.31, 4.72 และ 7.26 กรัม/กรัมน้ำหนักแห้ง ตามลำดับ และมีค่าการละลาย 0.29%, 0.69%, 0.89% และ 1.23% ของน้ำหนักแป้งแห้ง ตามลำดับ สอดคล้อง กับการทดลองของอรพรรณ (2547) พนว่ากำลังการพองตัวของแป้งข้าวเจ้าชนิดไม่น้ำ ที่อุณหภูมิ 55, 65, 75 และ 85 °C มีกำลังการพองตัว 2.06 - 6.68 กรัม/กรัมน้ำหนักแห้ง และมีค่าการละลาย 0.39 - 1.41% ของน้ำหนักแป้งแห้ง ผลจากการทดลองแสดงดังรูปที่ 13 และ 14 พนว่ากำลังการพอง ตัวและค่าการละลายมีค่าแตกต่างกันตามอุณหภูมิการทดลอง เมื่ออุณหภูมิเพิ่มขึ้นกำลังการพองตัว และค่าการละลายมีค่าเพิ่มขึ้น เนื่องจากค่าการละลายมีผลต่อเนื่องจากกำลังการพองตัวของเม็ด สารซึ่งที่อุณหภูมิต่ำการพองตัวของเม็ดสารซึ่งพองตัวได้น้อยไม่เพียงพอให้ไมเลกุลขนาดใหญ่เป็น อิสระและละลายออกมากได้ แต่เมื่ออุณหภูมิสูงขึ้นทำให้ไมเลกุลอิสระละลายออกมากได้มากขึ้นทำให้ ค่าการละลายเพิ่มสูงขึ้น การละลายของแป้งมากขึ้น (Yoenyongbuddhagal และ Noomhorm, 2002) และจากการทดลองพบว่าที่อุณหภูมิ 55 °C มีค่ากำลังการพองตัวและค่าการละลายต่ำที่สุดเนื่องจาก อุณหภูมิที่ 55 °C เป็นอุณหภูมิที่ต่ำกว่าอุณหภูมิการเกิดเจลาตินเซชัน แป้งคิบจะไม่ละลายในน้ำที่ อุณหภูมิต่ำกว่าอุณหภูมิเจลาตินเซชัน เนื่องจากมีพันธะไไซโครเจนซึ่งเกิดจากหมู่ไไซโครอกซิลของ ไมเลกุลแป้งที่อยู่ใกล้กัน เชื่อมต่อกันอยู่ แต่เมื่อเพิ่มอุณหภูมิถึง 65 °C พันธะไไซโครเจนคลายตัว เม็ดสารซึ่งจะซึมเข้าไปแล้วพองตัวย่างรัวเร็วและถาวร น้ำสามารถซึมผ่านเข้าไปในเม็ดสารซึ่ง ได้ทำให้มีค่าการพองตัวและการละลายสูงตามอุณหภูมิที่สูงขึ้น (Yoenyongbuddhagal และ Noomhorm, 2002; Singh และคณะ, 2003) สอดคล้องกับการทดลองของ Tester และ Morrison (1990) พนว่าสารซึ่งข้าวมีกำลังการพองตัวที่อุณหภูมิสูงกว่าอุณหภูมิการเกิดเจลาตินซึ่งเล็กน้อย นอกจากนี้ยังพบว่ากำลังการพองตัวมีความสัมพันธ์กับลักษณะความแข็งแรงของเจล แป้งที่มีค่า

กำลังการพองตัวสูงและสามารถอุ่นน้ำได้ดี ทำให้เส้นกวยเดี่ยวมีเนื้อสันผสานเหนียวชึ้นเป็นลักษณะที่ต้องการ(Crosbie, 1991)



รูปที่ 13 ผลกำลังการพองตัวของแป้ง



รูปที่ 14 ผลค่าการละลายของแป้ง

#### 4.1.2 ผลของอุณหภูมิและเวลาในการเก็บต่อการเกิดริโโทรกราเดชันของเส้นก้าวยเตี๋ยว

นำเส้นก้าวยเตี๋ยวเก็บที่อุณหภูมิ 9, 30 และ 40 °C เป็นระยะเวลา 0, 24, 48, 72, 96 และ 120 ชั่วโมง จากนั้นทำการวัดคุณภาพเส้นก้าวยเตี๋ยว โดยการหาปริมาณความชื้น วิเคราะห์ลักษณะเนื้อสัมผัสด้วยเครื่อง Texture Analyzer ทดสอบการเปลี่ยนแปลงเชิงความร้อนด้วยเครื่อง DSC ทดสอบโครงสร้างภายในโดยใช้ X-ray Diffraction เพื่อศึกษาการเกิดการริโตรกราเดชันของเส้นก้าวยเตี๋ยว

##### ก. ผลการทดสอบด้านปริมาณความชื้น

อุณหภูมิและระยะเวลาการเก็บมีผลต่อปริมาณความชื้นในเส้นก้าวยเตี๋ยวอย่างมีนัยสำคัญ ( $P \leq 0.05$ ) (ตารางผนวกที่ 1) เมื่อเก็บเส้นก้าวยเตี๋ยวนานขึ้นปริมาณความชื้นในเส้นก้าวยเตี๋ยวมีแนวโน้มลดลง เนื่องจากเมื่อเก็บเส้นก้าวยเตี๋ยวเป็นเวลานาน เส้นก้าวยเตี๋ยวจะเกิดริโตรกราเดชัน ทำให้มีน้ำแยกออกมา ความชื้นในเส้นก้าวยเตี๋ยวลดลง สอดคล้องกับการทดลองของ Lin และ คงะ (2001) ที่ได้ศึกษาการเคลื่อนที่ของน้ำในเซลล์ของข้าวพันธุ์ต่างๆ 9 ชนิดที่มีปริมาณน้ำ 25% เก็บเป็นระยะเวลา 1 เดือน โดยตรวจสอบด้วยเครื่อง NMR พบว่าระยะเวลาการเก็บในช่วง 6 วันแรก การเคลื่อนที่ของน้ำจะเพิ่มขึ้นอย่างรวดเร็วและหลังจากนั้นการเคลื่อนที่

ตารางที่ 6 อิทธิพลของระยะเวลาและอุณหภูมิการเก็บต่อปริมาณความชื้นของเส้นก้าวยเตี๋ยว

ระยะเวลาการเก็บรักษา	ปริมาณความชื้น (ร้อยละ)			
	ชั่วโมง	9 °C	30 °C	40 °C
0		53.11 <sup>aA</sup> ± 0.15	53.11 <sup>aA</sup> ± 0.15	53.11 <sup>bA</sup> ± 0.15
24		52.92 <sup>aA</sup> ± 0.05	53.20 <sup>aA</sup> ± 0.14	53.82 <sup>aA</sup> ± 0.53
48		51.76 <sup>bb</sup> ± 0.23	53.44 <sup>aAB</sup> ± 0.25	52.52 <sup>cB</sup> ± 0.30
72		51.29 <sup>bb</sup> ± 0.26	52.36 <sup>aB</sup> ± 0.23	52.39 <sup>cA</sup> ± 0.10
96		50.73 <sup>dB</sup> ± 0.38	51.89 <sup>cbA</sup> ± 0.08	51.92 <sup>cdA</sup> ± 0.05
120		50.57 <sup>dB</sup> ± 0.33	51.48 <sup>cA</sup> ± 0.24	51.62 <sup>dA</sup> ± 0.23

หมายเหตุ ± คือส่วนเบี่ยงเบนมาตรฐาน

อักษรตัวเล็กแสดงความแตกต่างตามแนวโน้ม ( $P \leq 0.05$ )

อักษรตัวใหญ่แสดงความแตกต่างตามแนวตั้ง ( $P \leq 0.05$ )

ของน้ำจะลดลง การเปลี่ยนแปลงการเคลื่อนที่ของน้ำช่วงแรกเป็นผลจากอะมิโลส ในช่วงหลังเป็นผลจากอะมิโลเพคติน

จากการทดลองเส้นก้าวเดี่ยวมีปริมาณน้ำเปล่า 42% ปริมาณความชื้นเริ่มน้อยในช่วง 53% เก็บที่อุณหภูมิ 9, 30 และ 40 °C ความชื้นมีแนวโน้มลดลงในระหว่างการเก็บรักษานาน 120 ชั่วโมง เมื่อจากเกิดการเกิดริโตรกราเดชันของเส้นก้าวเดี่ยว ปริมาณน้ำในเจลสตาร์ชมีผลต่อการเกิดริโตรกราเดชัน ถ้าปริมาณน้ำในระบบต่ำกว่า 10% ทำให้ไม่เกิดริโตรกราเดชันเป็นไปได้ยาก และถ้าหากปริมาณน้ำสูงเกิน 80% ไม่เกิดริโตรกราเดชันได้ยากเช่นกัน (Yuan และคณะ, 1993) สอดคล้องกับการทดลองของ Gudmundson (1994) พบว่าเจลสตาร์ชที่เข้มข้น 50-55% เกิดริโตรกราเดชันได้นานที่สุด และการทดลองของ Kim และคณะ (1997) พบว่าเมื่อเปรียบเทียบปริมาณน้ำในสตาร์ชข้าว 30% และ 50% ปริมาณน้ำในสตาร์ชข้าว 50% เก็บเป็นเวลา 3 วัน เกิดริโตรกราเดชันสูงสุด และเมื่อเปรียบเทียบผลของอุณหภูมิการเก็บ พบร่วาก้าวเดี่ยวที่เก็บที่อุณหภูมิ 9 °C มีความชื้นต่ำกว่าก้าวเดี่ยวที่เก็บที่อุณหภูมิ 30 และ 40 °C เมื่อจากที่อุณหภูมิต่ำเกิดริโตรกราเดชันได้นาน สอดคล้องกับการทดลองของ Bailek และคณะ (1997) ได้ทดลองการเกิดผลึกของเจลสตาร์ชข้าวเจ้าและข้าวเหนียวที่มีความชื้น 60% เก็บที่อุณหภูมิ -20, -12, 4, 20 และ 30 °C พบร่วาก้าวที่อุณหภูมิ 4 °C เกิดนิวเคลียสและการเริ่มต้นของนิวเคลียสมากที่สุด และที่อุณหภูมิต่ำกว่า -20 และสูงกว่า 30 °C ไม่เกิดผลึก เมื่อจากที่อุณหภูมิเยื่อออกแข็งสตาร์ชไม่สามารถเกลี่อนที่ໄใช้เกิดริโตรกราเดชันได้น้อย

#### ๔. ผลการทดสอบคุณภาพเครื่อง Texture Analyzer

จากการศึกษาเนื้อสัมผัสของเส้นก้าวyle เติบโตด้วยเครื่อง Texture Analyzer โดยเก็บเส้นก้าวyle เติบโตที่อุณหภูมิ 9, 30 และ 40 °C เป็นระยะเวลา 0, 24, 48, 72, 96 และ 120 ชั่วโมง แสดงดังตารางที่ 7 พบว่าระยะเวลาการเก็บและอุณหภูมิการเก็บมีผลต่อเนื้อสัมผัสของเส้นก้าวyle เติบโตอย่างมีนัยสำคัญ ( $P \leq 0.05$ ) (ตารางผนวกที่ 2) เส้นก้าวyle เติบโตที่อุณหภูมิ 9, 30 และ 40 °C ระยะเวลา 0 ชั่วโมงมีค่าแรงกดสูงสุด ณ จุดที่เส้นก้าวyle เติบโตขาด 3,465.4 กรัม แต่เมื่อระยะเวลาการเก็บรักษาเพิ่มขึ้นจาก 0 ถึง 24 ชั่วโมง ที่อุณหภูมิ 9, 30 และ 40 °C ค่าแรงกดสูงสุด ณ จุดที่เส้นก้าวyle เติบโตขาดที่ได้คือ 6,680.8, 3,971.6 และ 3,720.6 กรัม ตามลำดับ ค่าแรงกดสูงสุด ณ จุดที่เส้นก้าวyle เติบโตขาดจะเพิ่มมากขึ้นเมื่อระยะเวลาการเก็บมากขึ้นและที่อุณหภูมิ 9 °C ค่าแรงกดสูงสุด ณ จุดที่เส้นก้าวyle เติบโตขาดจะเพิ่มขึ้นอย่างรวดเร็วกว่าที่อุณหภูมิ 30 และ 40 °C ทำให้เส้นก้าวyle เติบโตที่อุณหภูมิ 9 °C มี

ตารางที่ 7 อิทธิพลของระยะเวลาและอุณหภูมิการเก็บต่อลักษณะเนื้อสัมผัสของเส้นก้าวเดียว

ชั่วโมงที่	ค่าแรงสูงสุด(กรัม)			ระยะทางสูงสุด(มิลลิเมตร)		
	9°C	30°C	40°C	9°C	30°C	40°C
0	3465.39 <sup>aE</sup>	3465.39 <sup>aD</sup>	3465.39 <sup>aE</sup>	6.81 <sup>aA</sup>	6.81 <sup>aC</sup>	6.81 <sup>aB</sup>
24	6680.80 <sup>aC</sup>	3971.56 <sup>bC</sup>	3720.63 <sup>cD</sup>	3.45 <sup>bB</sup>	7.19 <sup>aA</sup>	7.47 <sup>aA</sup>
48	10388.70 <sup>aD</sup>	4512.51 <sup>bB</sup>	3954.74 <sup>cC</sup>	3.38 <sup>cB</sup>	7.01 <sup>bAB</sup>	7.50 <sup>aA</sup>
72	11385.40 <sup>aB</sup>	4667.20 <sup>bBA</sup>	4134.64 <sup>cC</sup>	3.13 <sup>bB</sup>	6.84 <sup>aAB</sup>	7.02 <sup>aB</sup>
96	11748.10 <sup>aAB</sup>	4712.40 <sup>bBA</sup>	4359.37 <sup>bB</sup>	3.20 <sup>cB</sup>	6.61 <sup>bCD</sup>	7.08 <sup>aB</sup>
120	12251.40 <sup>aA</sup>	4893.10 <sup>bA</sup>	4720.04 <sup>bA</sup>	3.20 <sup>cB</sup>	6.38 <sup>bD</sup>	7.09 <sup>aB</sup>

หมายเหตุ อักษรตัวเล็กแสดงความแตกต่างตามแนวอน ( $P \leq 0.05$ )

อักษรตัวใหญ่แสดงความแตกต่างตามแนวตั้ง ( $P \leq 0.05$ )

ความแข็งมากกว่าเส้นก้าวเดียวเที่ยวก็เป็นที่อุณหภูมิ 30 และ 40 °C แต่หลังจากระยะเวลาการเก็บ 48 ชั่วโมง ค่าแรงกดสูงสุด ณ จุดที่เส้นก้าวเดียวขาดของเส้นก้าวเดียวจะเพิ่มขึ้นอย่างช้าๆ โดยพบว่าที่ระยะเวลาเก็บ 48, 72, 96 และ 120 ชั่วโมง ที่อุณหภูมิ 9 °C มีค่าแรงกดสูงสุด ณ จุดที่เส้นก้าวเดียวขาด 10,388.7, 11,385.4, 11,748.1 และ 12,251.4 กรัม ตามลำดับ ที่อุณหภูมิ 30 °C มีค่าแรงกดสูงสุด ณ จุดที่เส้นก้าวเดียวขาด 4,512.5, 4,667.2, 4,712.4 และ 4,893.1 กรัม ตามลำดับ และที่อุณหภูมิ 40 °C ค่าแรงกดสูงสุด ณ จุดที่เส้นก้าวเดียวขาด 3,954.7, 4,134.6, 4,359.4 และ 4,720.0 กรัม ตามลำดับ ดังนั้นพบว่าค่าแรงกดสูงสุด ณ จุดที่เส้นก้าวเดียวขาดจะมีค่าเพิ่มมากขึ้นตามระยะเวลา การเก็บ โดยที่อุณหภูมิ 9 °C ค่าแรงกดสูงสุด ณ จุดที่เส้นก้าวเดียวขาดจะมีอัตราการเพิ่มขึ้นเร็วกว่าที่ อุณหภูมิที่อุณหภูมิ 30 และ 40 °C เนื่องจากอัตราการเกิดผลึกของสารซึ่งขึ้นอยู่กับอุณหภูมิ โดยผลึก จะเกิดขึ้นในช่วงอุณหภูมิ  $T_g < T < T_m$  ซึ่งเป็นช่วงอุณหภูมิที่สารซึ่งมีสภาพเหนียวคล้ายยาง และจากการทดลองพบว่าอุณหภูมิที่ 9 °C เป็นอุณหภูมิที่สูงกว่า  $T_g$  ( $T_g = -5 °C$ ) และต่ำกว่า  $T_m$  ( $T_m = 60 °C$ ) เจลสารซึ่งที่เก็บที่อุณหภูมิสูงกว่า  $T_g$  จะเกิดรีไทร์ราเดชันได้มากเนื่องจากไม่เกิดกลุ่มของเจล สารซึ่งไม่เสถียร มีการเคลื่อนที่อย่างต่อเนื่องทำให้ไม่เกิดกลุ่มของมิโลสเคลื่อนที่เข้าใกล้กันและ เกิดพันธะไอกิจเร่งระหว่างไม่เกิดกลุ่มและเกิดผลึกมากขึ้น และเมื่อเก็บรักษาที่อุณหภูมิ 30 และ 40 °C เป็นช่วงที่อุณหภูมิใกล้  $T_m$  การเกิดรีไทร์ราเดชันจึงเกิดได้อย่างช้าๆ ทำให้ความแข็งของเส้น ก้าวเดียวเพิ่มขึ้นอย่างช้าๆ ดังนั้นอุณหภูมิและระยะเวลาในการเก็บมีความสัมพันธ์กับการเกิดรี- ไทร์ราเดชัน Chang และ Lui (1991) พบว่าในช่วงแรกสารซึ่งข้ามเข้าไปเกิดรีไทร์ราเดชันอย่าง

รวมเริ่วเนื่องจาก การรวมตัวของ โนเลกูลอะมิโลส เมื่อระยะเวลาการเก็บนานขึ้น โนเลกูลอะมิโลสเพคตินจัดเรียงตัวเป็นเส้นตรงและจับกันเป็นผลึกได้ชั่นเดียวกับ โนเลกูลอะมิโลส และเมื่อพิจารณาระยะเวลา ณ จุดที่เส้นกวนดีกว่าเดียวขา พบว่า ที่ระยะเวลาการเก็บ 0, 24, 48, 72, 96 และ 120 ชั่วโมง ที่อุณหภูมิ 9 °C มีระยะเวลา ณ จุดที่เส้นกวนดีกว่าเดียวขา 6.81, 3.45, 3.38, 3.13, 3.20 และ 3.20 มิลลิเมตรตามลำดับ ที่อุณหภูมิ 30 °C มีระยะเวลา ณ จุดที่เส้นกวนดีกว่าเดียวขา 6.81, 7.19, 7.01, 6.84, 6.61 และ 6.38 มิลลิเมตร ตามลำดับ ที่อุณหภูมิ 40 °C มีระยะเวลา ณ จุดที่เส้นกวนดีกว่าเดียวขา 6.81, 7.47, 7.50, 7.02, 7.08 และ 7.09 มิลลิเมตร ตามลำดับ ดังนั้นจะพบว่า ที่อุณหภูมิ 9 °C ระยะเวลาการเก็บจาก 0 ถึง 24 ชั่วโมง ระยะเวลา ณ จุดที่เส้นกวนดีกว่าเดียวขา มีค่าลดลงอย่างรวดเร็ว และหลังจากระยะเวลา 48 ชั่วโมง ค่าแรงกดสูงสุด ณ จุดที่เส้นกวนดีกว่าเดียวขาจะลดลงอย่างช้าๆ แต่ที่ อุณหภูมิ 30 และ 40 °C การเปลี่ยนแปลงของระยะเวลา ณ จุดที่เส้นกวนดีกว่าเดียวขา มีค่าลดลงอย่างช้าๆ ซึ่งพบว่า ค่าแรงกดสูงสุดและระยะเวลา ณ จุดที่เส้นกวนดีกว่าเดียวขา มีความสอดคล้องกัน คือเมื่อเก็บรักษาเส้นกวนดีกว่าเดียวเป็นระยะเวลาหนาน ขึ้น ค่าแรงกดสูงสุด ณ จุดที่เส้นกวนดีกว่าเดียวขาเพิ่มขึ้นจนกระทั่งคงที่ และระยะเวลา ณ จุดที่เส้นกวนดีกว่าเดียวขาจะมีค่าลดลง ค่าที่ได้แตกต่างกันแล้วแต่อุณหภูมิการเก็บรักษา ซึ่งจะทำให้ลักษณะเนื้อสัมผัสของเส้นกวนดีกว่าเดียวเปลี่ยนแปลงจากเหนียวขึ้นเป็นหยุ่นๆ แต่ก็เป็นแข็งและเปราะ สอดคล้องกับการทดลองของ Gujul และ Pathak (2002) ที่ได้ทดลองวัดเนื้อสัมผัสของขนม chapatti (เป็นขนมปังที่ไม่ได้ใส่เชื้อให้ขึ้นฟู ทำจากแป้งสาลีเป็นอาหารของประเทศอินเดียและตะวันออกกลาง) โดยเปรียบเทียบขนม chapatti สดกับขนม chapatti ที่เก็บไว้เป็นระยะเวลา 24 ชั่วโมง พบว่าขนม chapatti สดมีความนุ่มและยืดหยุ่นสูง โดยค่าแรงกดที่ทำให้ผลิตภัณฑ์เสียรูปร่างมีค่าต่ำแต่ระยะเวลาที่ทำให้ให้ผลิตภัณฑ์เสียรูปร่างมีค่าสูง และเมื่อเก็บเป็นระยะเวลา 24 ชั่วโมง ความแข็งและความเปราะของขนม chapatti เพิ่มขึ้น บ่งชี้โดยค่าแรงของการเปลี่ยนแปลงรูปร่างมีค่าเพิ่มขึ้น และระยะเวลาที่ทำให้เสียรูปร่างมีค่าลดลง

### ก ผลการทดสอบด้วยเครื่อง DSC

เส้นกวนดีกว่าเก็บที่อุณหภูมิ 9, 30 และ 40 °C เป็นระยะเวลา 0, 24, 48, 72, 96 และ 120 ชั่วโมง วิเคราะห์ค่า  $\Delta H$ ,  $T_o$ ,  $T_p$  และ  $T_c$  แสดงดังตารางที่ 8 พบว่า มีค่า  $T_o$  ในช่วง 40 - 60 °C และค่า  $T_c$  อยู่ในช่วง 67-79 °C  $\Delta H$  ของการเกิดรีโทรกราเดชันของอะมิโลเพคตินพบได้ชัดเจนที่สุดที่ อุณหภูมิ 9 °C แต่ที่ อุณหภูมิ 30 °C จะเริ่มเห็น Endothermic peak ที่ระยะเวลา 96 ชั่วโมง ส่วนที่ 40 °C จะมองไม่เห็น Endothermic peak ตลอดระยะเวลาการทดลอง ดังนั้น อุณหภูมิและระยะเวลา มีผลต่อการเกิดผลึก ระยะเวลาการเก็บเพิ่มขึ้นที่ อุณหภูมิ 9 และ 30 °C ค่า  $\Delta H$  ของการเกิดรีโทรกราเดชันเพิ่มขึ้น และอุณหภูมิการเก็บที่ 9 °C มีค่า  $\Delta H$  ของการเกิดรีโทรกราเดชันมากกว่า

ตารางที่ 8 อิทธิพลของระยะเวลาและอุณหภูมิการเก็บต่อค่า  $\Delta H$ ,  $T_o$ ,  $T_p$  และ  $T_c$ 

ระยะเวลา (ช.ม)	อุณหภูมิ (°C)	$\Delta H$ (J/g)	$T_o$ (°C)	$T_p$ (°C)	$T_c$ (°C)
0	9	ND	ND	ND	ND
	30	ND	ND	ND	ND
	40	ND	ND	ND	ND
24	9	$1.67 \pm 0.04$	$44.49 \pm 2.05$	$55.81 \pm 2.96$	$67.96 \pm 2.21$
	30	ND	ND	ND	ND
	40	ND	ND	ND	ND
48	9	$2.62 \pm 0.06$	$42.88 \pm 1.90$	$53.21 \pm 1.18$	$67.90 \pm 0.92$
	30	ND	ND	ND	ND
	40	ND	ND	ND	ND
72	9	$3.17 \pm 0.14$	$45.46 \pm 0.45$	$55.93 \pm 0.02$	$67.69 \pm 0.36$
	30	ND	ND	ND	ND
	40	ND	ND	ND	ND
96	9	$3.32 \pm 0.01$	$43.63 \pm 0.78$	$54.22 \pm 0.00$	$69.28 \pm 0.00$
	30	$1.56 \pm 0.57$	$60.95 \pm 2.71$	$65.87 \pm 1.74$	$79.59 \pm 6.56$
	40	ND	ND	ND	ND
120	9	$3.43 \pm 0.01$	$40.81 \pm 3.77$	$55.40 \pm 3.07$	$70.48 \pm 2.33$
	30	$1.81 \pm 0.61$	$56.97 \pm 0.97$	$66.28 \pm 0.70$	$76.35 \pm 2.37$
	40	ND	ND	ND	ND

หมายเหตุ Nd = no endothermic peak

± คือ ส่วนเบี่ยงเบนมาตรฐาน

ที่อุณหภูมิ 30 และ 40 °C ทั้งนี้เนื่องจากที่อุณหภูมิ 9 °C เป็น อุณหภูมิที่เกิดผลลัพธ์ได้มากที่สุดและที่อุณหภูมิ 40 °C เกิดผลลัพธ์ได้น้อยที่สุดเป็นไปในทิศทางเดียวกับผลการวิเคราะห์ด้วยเครื่อง Texture Analyzer และสอดคล้องกับการทดลองของ Baik และคณะ (1997) ซึ่งศึกษาการเปลี่ยนแปลงการเกิดผลลัพธ์ของสารชาข้าวเจ้าและสารชาข้าวเหนียวเป็นระยะเวลา 9 วัน พบว่าทั้งในสารชาข้าวเจ้า และสารชาข้าวเหนียวเกิดผลลัพธ์สูงสุดที่อุณหภูมิ 4 °C และเกิดผลลัพธ์ต่ำสุดที่อุณหภูมิต่ำกว่า -20 °C และมากกว่าอุณหภูมิ 30 °C เนื่องจากผลลัพธ์สามารถเกิดขึ้นได้มากที่สุดที่อุณหภูมิสูงกว่า  $T_g$  และต่ำกว่า  $T_m$  และจากการทดลองพบว่าที่อุณหภูมิ 9 °C มี Endothermic peak กว้างกว่าที่อุณหภูมิ 30 °C อาจเนื่องมาจากการเก็บต่อค่าที่อุณหภูมิ 9 °C เกิดผลลัพธ์นิวเคลียสได้ร้ายกว่าที่อุณหภูมิ 30 °C ทำให้การเก็บ

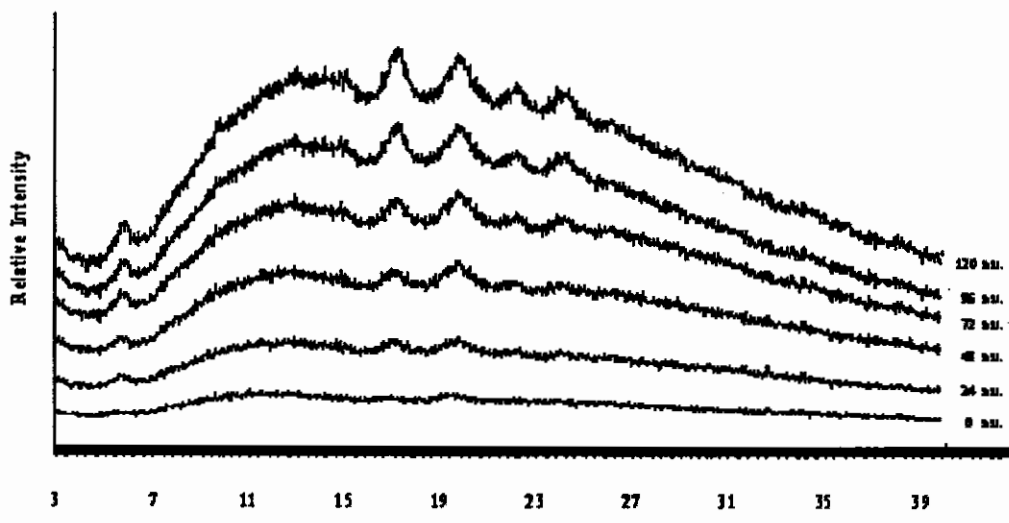
เส้นกวยเตี๋ยวที่อุณหภูมิ  $9^{\circ}\text{C}$  มีอุณหภูมิ  $T_0$  ของผลึกอะมิโลเพคตินเกิดขึ้นที่อุณหภูมิต่ำกว่าการเก็บที่อุณหภูมิ  $30^{\circ}\text{C}$  แสดงถึงกับการทดลองของ Yuan และคณะ (1993) พบว่า  $T_0$  ของอะมิโลเพคตินเพิ่มขึ้นตามอุณหภูมินิการเก็บ เนื่องจากการเก็บที่อุณหภูมิสูง ไม่เลกุลของอะมิโลเพคตินสายยาวไม่เสถียรเคลื่อนที่เข้ามาพันกันเป็นเกลียวคู่และจัดเรียงตัวเป็นโครงร่างผลึกที่เสถียร ทำให้ผลึกอะมิโลเพคตินที่เก็บที่อุณหภูมิสูงเกิดร้าว corruption ได้มากขึ้น มีความแข็งแรงมากขึ้น และเกิดผลึกที่สมบูรณ์ ทำให้อุณหภูมิที่ใช้สามารถลดลงของเจลสตาร์ทที่เก็บที่อุณหภูมิสูงต้องใช้อุณหภูมิสูงในการถabilization ส่วนการเก็บที่อุณหภูมิต่ำเกิดนิวเคลียสมากกว่าการเจริญเติบโตของผลึกนิวเคลียสที่เกิดขึ้นเป็นผลึกที่ไม่เสถียร ทำให้อุณหภูมิ  $T_0$  มีค่าต่ำ (Vandeputte และคณะ, 2003; Lu และ Jane, 1997; Chang และ Lui, 1991; Gudmundsson, 1994) เมื่อพิจารณาระยะเวลาเก็บพบว่าระยะเวลาเก็บเส้นกวยเตี๋ยวนี้ผลต่อการเกิดร้าว corruption ด้วย เมื่อระยะเวลาเก็บนานขึ้นค่า  $\Delta H$  สูงขึ้น แสดงว่ามีการเกิดร้าว corruption เพิ่มสูงขึ้นด้วย โดยที่อุณหภูมิ  $9^{\circ}\text{C}$  ในช่วง 48 ชั่วโมงแรก มีค่า  $\Delta H$  สูง ดังนั้นที่อุณหภูมิ  $9^{\circ}\text{C}$  ในช่วงแรกของการเก็บรักษาสามารถเกิดร้าว corruption ได้ช้ากว่า การเก็บที่อุณหภูมิ  $30^{\circ}\text{C}$  การเก็บที่อุณหภูมิ  $30^{\circ}\text{C}$  ในช่วงแรกของการเก็บรักษาสามารถเกิดร้าว corruption ได้เร็ว得多 แต่หลังจากนั้นจะเกิดอย่างช้าๆ และมีแนวโน้มคงที่ และที่อุณหภูมิ  $30^{\circ}\text{C}$  การเกิดร้าว corruption ของอะมิโลเพคตินเกิดขึ้นได้เร็ว การเก็บเส้นกวยเตี๋ยวที่อุณหภูมิ  $30^{\circ}\text{C}$  เป็นเวลา 96 และ 72 ชั่วโมง มีค่า  $\Delta H$  ต่ำกว่าการเก็บเส้นกวยเตี๋ยวที่อุณหภูมิ  $9^{\circ}\text{C}$

#### 4. ผลการทดสอบด้วยเครื่อง X-ray diffraction

จากการวิเคราะห์การเกิดร้าว corruption ด้วยเครื่อง Texture และ DSC พบว่าที่ อุณหภูมิ  $9^{\circ}\text{C}$  เกิดร้าว corruption มากที่สุดและเกิดได้เร็วที่สุด ดังนั้นจึงนำเส้นกวยเตี๋ยวกับที่  $9^{\circ}\text{C}$  เป็นระยะเวลา 0, 24, 48, 72, 96 และ 120 ชั่วโมง มาศึกษาความเป็นผลึกของอะมิโลเพคตินในการเกิดร้าว corruption ด้วยเครื่อง X-ray diffraction พบว่าเส้นกวยเตี๋ยวเกิดผลึกเพิ่มขึ้นตามระยะเวลาเก็บ โดยเก็บเส้นกวยเตี๋ยวที่ 24 ชั่วโมง เกิดพีกที่  $17.0^{\circ}$  และ  $20.0^{\circ} 2\theta$  ตามลำดับ ที่ 48 ชั่วโมง เกิดพีกที่  $17.0^{\circ}$ ,  $20.0^{\circ}$  และ  $24.0^{\circ} 2\theta$  ที่ 72 ชั่วโมง เกิดพีกที่  $17.0^{\circ}$ ,  $20.0^{\circ}$ ,  $22.2$  และ  $24.0^{\circ} 2\theta$  ที่ 96 ชั่วโมง เกิดพีกที่  $17.0^{\circ}$ ,  $20.0^{\circ}$ ,  $22.2^{\circ}$  และ  $24.0^{\circ} 2\theta$  (ดังรูปที่ 15) จากการทดลองของ Ribotta และคณะ (2004) พบว่าพีกที่  $20^{\circ} 2\theta$  สัมพันธ์ กับโครงสร้าง V-type แสดงการเกิดสารประกอบเชิงซ้อนของอะมิโลสกับไขมันเกิดเป็นลักษณะ เกลียว และพีกที่  $15^{\circ}$ ,  $17^{\circ}$ ,  $22.2^{\circ}$  และ  $24^{\circ} 2\theta$  สัมพันธ์กับโครงสร้าง B-type แสดงการเกิดร้าว corruption หรือการเกิดผลึกในผลิตภัณฑ์ และเมื่อพิจารณาปริมาณผลึกชนิด B-type ซึ่งคำนวณจากสมการที่ 6 พบว่าเส้นกวยเตี๋ยวกับที่เวลา 0, 24, 48, 72, 96 และ 120 ชั่วโมง มีปริมาณผลึกชนิด B-type คือ 0, 1.55%, 1.79%, 1.78%, 3.38% และ 3.04% ตามลำดับดังตารางที่ 9 ปริมาณผลึกชนิด B-

type เพิ่มขึ้นตามระยะเวลาการเก็บเส้นก้าวเดียว และคงว่าระยะเวลาเก็บเส้นก้าวเดียวนานขึ้น เส้นก้าวเดียวสามารถลดการเกิดริบอตต้าได้มากขึ้น

เมื่อพิจารณาปริมาณผลึกชนิด V-type ซึ่งคำนวณจากสมการที่ 7 พบว่าเมื่อเก็บเส้นก้าวเดียวที่เวลา 0, 24, 48, 72, 96 และ 120 ชั่วโมง เส้นก้าวเดียวมีปริมาณผลึกชนิด V-type คือ 0.77%, 0.66%, 0.69%, 0.67% 0.79% และ 0.66% ตามลำดับดังแสดงในตารางที่ 9 แสดงว่าปริมาณผลึกชนิด V-type ไม่เปลี่ยนแปลงตามระยะเวลาการเก็บชั่วโมงเดียวกับการทดลองของ Ribotta และคณะ (2004); Dragsdorf และ Marston (1980); Knightly (1977); Zobel และคณะ (1988) พบว่าโครงสร้าง B-type เพิ่มมากขึ้นหลังจากการเก็บใน 24 ชั่วโมงแรก เมื่อระยะเวลาการเก็บเพิ่มขึ้นผลึกชนิด B-type เพิ่มมากขึ้น และใน 24 ชั่วโมงแรกผลึกเพิ่มขึ้นอย่างรวดเร็ว แต่โครงสร้างผลึกชนิด V-type ไม่เปลี่ยนแปลงตามระยะเวลาการเก็บ ดังนั้นการศึกษาการเกิดริบอตต้าโดยการเดินทางของเส้นก้าวเดียวด้วยเครื่อง X-ray diffraction พบว่าโครงสร้างผลึก B-type และจำนวนผลึก B-type แสดงถึงการเกิดริบอตต้าโดยการเดินทางของอะโนไลเพคตินซึ่งเพิ่มขึ้นตามระยะเวลาการเก็บ ส่วนค่าร้อยละความเป็นผลึกทั้งหมด (Total mass crystallinity, TC) ในเส้นก้าวเดียวเก็บเป็นระยะเวลา 0, 24, 48, 72, 96 และ 120 ชั่วโมง ที่อุณหภูมิ 9°C พบว่าเส้นก้าวเดียวมีค่าร้อยละความเป็นผลึกทั้งหมด 1.96%, 3.11%, 3.24%, 3.44% 4.55% และ 4.64% ตามลำดับ (คำนวณได้จากสมการที่ 5)



รูปที่ 15 X-ray Diffractograms ของก้าวเดียวเก็บที่อุณหภูมิ 9°C เป็นระยะเวลาต่างๆ

ตารางที่ 9 อิทธิพลของระยะเวลาการเก็บต่อปริมาณผลึกกั่วยเตี๋ยวที่เก็บที่ 9 °C

ระยะเวลา (ชั่วโมง)	ร้อยละความเป็นผลึก		
	TC	B-type	V-type
0	1.96	0	0.77
24	3.11	1.55	0.66
48	3.24	1.79	0.69
72	3.44	1.78	0.67
96	4.55	3.38	0.79
120	4.64	3.04	0.66

หมายเหตุ TC = Total mass crystallinity

#### 4.2 ผลของชนิดและปริมาณสาร surfactants ต่อการเกิดริโกรกราเดชันของเจลแป้งข้าวเจ้าและคุณภาพของเส้นกั่วยเตี๋ยว

##### 4.2.1 วิเคราะห์การเปลี่ยนแปลงค่าความหนืดด้วยเครื่อง RVA

การวัดคุณสมบัติการเปลี่ยนแปลงความหนืดของแป้งข้าวเจ้าที่ไม่เติม surfactants กับแป้งข้าวเจ้าที่เติม surfactants 3 ชนิด คือ MG ที่ระดับ 0.1%, 0.3% และ 0.5%, SSL ที่ระดับ 0.3%, 0.5% และ 0.7% และ GMS ที่ระดับ 0.08%, 0.2% และ 0.4% ตามลำดับ วิเคราะห์ด้วยเครื่อง RVA ที่อุณหภูมิระหว่าง 50 ถึง 95 °C ค่าที่ได้คืออุณหภูมิเริ่มเกิดความหนืด ค่าความหนืดสูงสุด ค่า breakdown ค่าความหนืดสุดท้าย และค่า setback แสดงในตารางที่ 10 จากการทดลองพบว่าอุณหภูมิเริ่มเกิดความหนืดของแป้งข้าวเจ้าที่ไม่เติม surfactants และเติม surfactants แตกต่างกันอย่างมีนัยสำคัญ ( $p \leq 0.05$ ) (ตารางผนวกที่ 3) โดยแป้งข้าวเจ้าที่เติม surfactants มีอุณหภูมิเริ่มเกิดความหนืดสูงกว่าแป้งข้าวเจ้าที่ไม่เติม surfactants เนื่องจากการเติม surfactants เป็นกระบวนการป้องกันไม่ให้น้ำเข้ามาภายในเม็ดสตาร์ช ลดความสามารถในการจับน้ำได้ ช่วยรักษาโครงสร้างเม็ดสตาร์ช ดังนั้นแป้งข้าวเจ้าที่เติม surfactants มีอุณหภูมิเริ่มเกิดความหนืดสูงกว่าแป้งที่ไม่เติม surfactants (Kim และ Walker, 1992; Mohamed และ Duare, 2003; Siswoyo และ Morita, 2003; Phillips และ Williams, 2000; Singh และคณะ, 2002) สถาคัตส์องกับการทดลองของ Azzi และ Rao (2005) การเติม surfactants เช่น SSL, DATEM, GMS และ distilled glycerol monostearate (DGMS) ในสตาร์ชข้าวสาลี สตาร์ชข้าวโพด และสตาร์ช มันฝรั่ง พบร่วมสตาร์ชที่มีการเติม surfactants อุณหภูมิเริ่มเกิดความหนืดมีค่าสูงกว่าสตาร์ชที่ไม่เติม surfactants เช่นเดียวกับการทดลองของ Kaur และ Singh (2000)

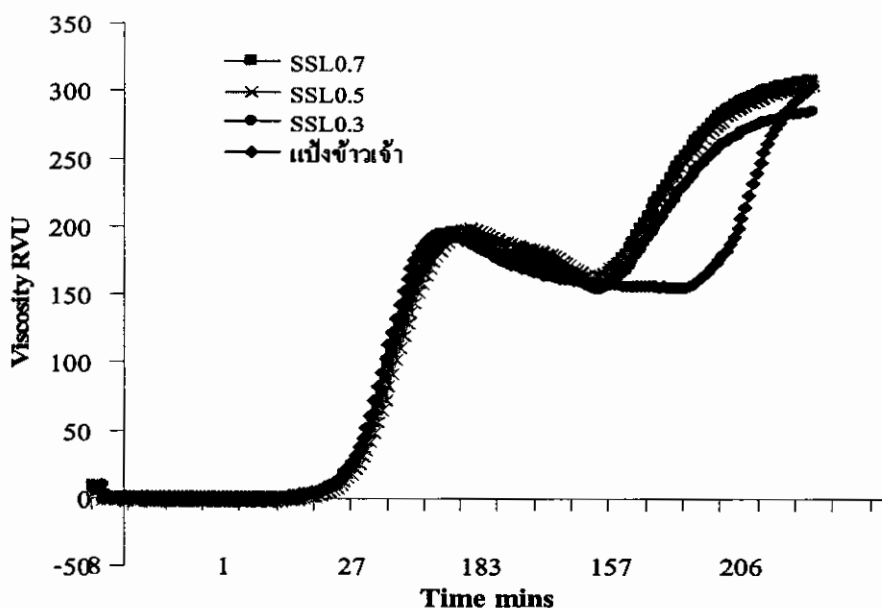
ตารางที่ 10 อิทธิพลของ surfactants ต่อความหนืดของแป้งข้าวมันอ้วกตัวเม็ดของ RVA

ตัวอย่าง	Pasting temperature (°C)	Peak time (min)	Peak viscosity (RVU)	Breakdown (RVU)	Final viscosity (RVU)	Set back (RVU)
Control	87.97 <sup>a</sup> +0.04	6.33 <sup>a</sup> +0.00	202.25 <sup>cd</sup> +0.82	31.00 <sup>f</sup> +0.82	331.88 <sup>a</sup> +1.82	160.63 <sup>a</sup> +1.82
SSL 0.30%	89.20 <sup>d</sup> +0.42	6.70 <sup>ad</sup> +0.63	193.34 <sup>g</sup> +2.82	37.79 <sup>de</sup> +1.15	286.71 <sup>cd</sup> +8.66	131.17 <sup>d</sup> +5.22
SSL 0.50%	90.39 <sup>ab</sup> +0.78	6.80 <sup>ab</sup> +0.14	195.38 <sup>g</sup> +4.19	35.13 <sup>fe</sup> +0.55	299.75 <sup>eb</sup> +5.54	139.50 <sup>cb</sup> +7.55
SSL 0.70%	89.95 <sup>cd</sup> +0.45	6.64 <sup>b</sup> +0.04	196.13 <sup>ef</sup> +0.81	36.63 <sup>fe</sup> +0.82	308.09 <sup>b</sup> +1.49	148.88 <sup>b</sup> +1.72
GMSO 0.08%	89.65 <sup>ad</sup> +0.46	6.87 <sup>c</sup> +0.18	202.92 <sup>ef</sup> +3.97	44.84 <sup>c</sup> +3.88	281.21 <sup>d</sup> +4.53	123.13 <sup>c</sup> +1.42
GMSO 0.20%	89.98 <sup>cd</sup> +0.51	6.77 <sup>cd</sup> +0.07	205.29 <sup>cd</sup> +4.77	40.92 <sup>cd</sup> +0.89	293.13 <sup>cd</sup> +3.14	128.75 <sup>cd</sup> +2.33
GMSO 0.40%	89.28 <sup>ad</sup> +0.80	6.87 <sup>cd</sup> +0.07	207.75 <sup>d</sup> +2.14	42.42 <sup>cd</sup> +0.75	307.21 <sup>cb</sup> +14.77	141.88 <sup>ad</sup> +13.83
MG 0.10%	91.68 <sup>ba</sup> +0.83	6.74 <sup>cd</sup> +0.07	213.71 <sup>e</sup> +2.68	51.42 <sup>b</sup> +5.64	302.00 <sup>cb</sup> +7.35	134.71 <sup>cd</sup> +3.58
MG 0.30%	91.63 <sup>a</sup> +0.46	6.71 <sup>cd</sup> +0.07	216.75 <sup>b</sup> +3.75	53.33 <sup>b</sup> +3.75	300.09 <sup>b</sup> +0.54	136.67 <sup>cd</sup> +8.25
MG 0.50%	92.40 <sup>a</sup> +0.75	6.84 <sup>ab</sup> +0.10	223.54 <sup>a</sup> +2.98	61.21 <sup>b</sup> +5.87	303.75 <sup>b</sup> +7.86	140.42 <sup>cb</sup> +3.35

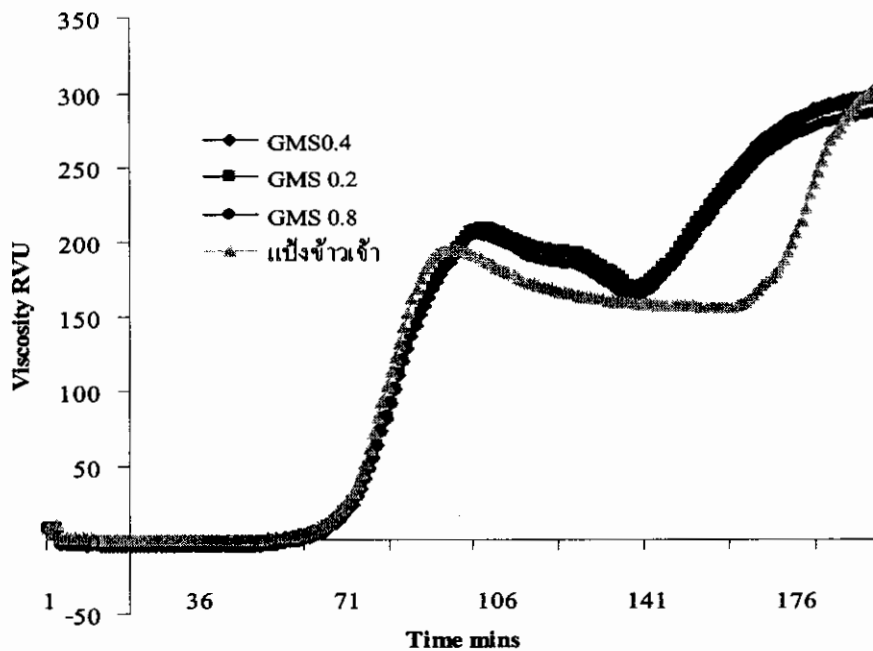
หมายเหตุ ± คือ ส่วนเบี่ยงเบนมาตรฐาน

ปัจจัยตัวแปรแต่ละรายการมีผลต่อการทดสอบ (P ≤ 0.05)

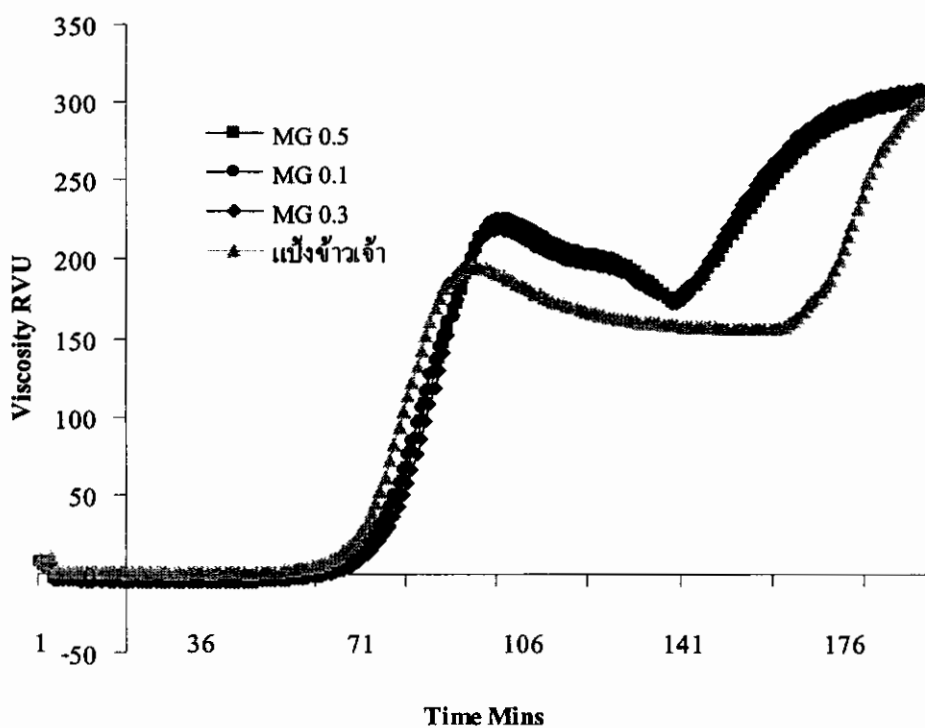
ได้คุณภาพนั้นลงในแป้งข้าวเจ้าพบว่าอุณหภูมิเริ่มเกิดความหนืดสูงกว่าแป้งข้าวเจ้าที่ไม่มีการเติม surfactants และการทดลองของ Kaur และคณะ (2005) ได้คุณภาพนั้นคือ GMS ในเส้นก้าวยเดียวเพิ่มขึ้น เมื่อเปรียบเทียบกับเส้นก้าวยเดียวที่ไม่เติม surfactants การเติม surfactants จะลดการพองตัวของเม็ดสตาร์ซเกิดการปะกอบเชิงช้อนระหว่าง surfactants กับอะโนไลส์ จึงทำให้มีผลต่ออุณหภูมิเริ่มเกิดความหนืดและระยะเวลาการเกิดเจลติดในช่องสตาร์ซในเส้นก้าวยเดียว และจากการทดลองพบว่าการเติม surfactants แต่ละชนิดมีผลต่ออุณหภูมิเริ่มเกิดความหนืดอย่างนัยสำคัญ ( $p \leq 0.05$ ) (ตารางผนวกที่ 3) โดยแป้งข้าวเจ้าที่เติม MG มีอุณหภูมิเริ่มเกิดความหนืดสูงกว่าแป้งข้าวเจ้าที่เติม SSL และ GMS แต่แป้งข้าวเจ้าที่เติม SSL และ GMS มีอุณหภูมิเริ่มเกิดความหนืดไม่แตกต่างกันอย่างมีนัยสำคัญ ( $p > 0.05$ ) แสดงว่าชนิดของ surfactants มีผลต่ออุณหภูมิเริ่มเกิดความหนืด และการเติม surfactants ชนิดเดียวกัน (GMS และ MG) แต่เติมในปริมาณที่แตกต่างกันอุณหภูมิเริ่มเกิดความหนืดมีค่าไม่แตกต่างกันอย่างมีนัยสำคัญ ( $p > 0.05$ ) แสดงดังรูปที่ 16, 17 และ 18



รูปที่ 16 ลักษณะเส้นกราฟการเปลี่ยนแปลงความหนืดของแป้งและแป้งที่เติม SSL 0.3%,  
SSL 0.5% และ SSL 0.7%



รูปที่ 17 ลักษณะเส้นกราฟการเปลี่ยนแปลงความหนืดของแป้งและแป้งที่เติม GMS 0.2%, GMS0.4% และ GMS0.8%



รูปที่ 18 ลักษณะเส้นกราฟการเปลี่ยนแปลงความหนืดของแป้งและแป้งที่เติม MG0.1%, MG0.3% และ MG0.5%

ค่าความหนืดสูงสุด เป็นค่าบ่งบอกความสามารถในการพองตัวอย่างอิสระของเม็ดสตาร์ซก่อนที่เม็ดสตาร์จะแตก (Sigh และคณะ, 2004) จากผลการทดลองพบว่าเปรี้ยวเจ้าที่ไม่เติม surfactants มีค่าความหนืดสูงสุดไม่แตกต่างกันอย่างมีนัยสำคัญ ( $p>0.05$ ) กับเปรี้ยวเจ้าที่เติม GMS แต่เปรี้ยวเจ้าที่เติม SSL และ MG แตกต่างกันกับเปรี้ยวเจ้าที่ไม่เติม surfactants อย่างมีนัยสำคัญ ( $p\leq0.05$ ) (ตารางผนวกที่ 3) โดยเปรี้ยวเจ้าที่เติม MG มีค่าความหนืดสูงสุดมากกว่าเปรี้ยวเจ้าที่เติม GMS และ SSL และเปรี้ยวเจ้าที่เติม MG มีค่าความหนืดสูงสุดสูงกว่าเปรี้ยวเจ้าที่ไม่เติม surfactants แต่เปรี้ยวเจ้าที่เติม SSL มีค่าความหนืดสูงสุดต่ำกว่าเปรี้ยวเจ้าที่ไม่เติม surfactants แสดงว่าการเติม SSL ขับยั้งการพองตัว ทำให้ความสามารถในการพองตัวของเจลเปรี้ยวเจ้าลดลง เนื่องจากการเติม SSL จะเป็นเกราะป้องกันไม่ให้น้ำเข้ามาภายในสตาร์ช ลดความสามารถในการจับน้ำ ช่วยรักษาโครงสร้างเม็ดสตาร์ช ลดคลอกล่องกับการทดลองของ Zhou และคณะ (2007) พบว่าการเติมไขมันชนิดอิมตัว stearic ในเปรี้ยวเจ้า ค่าความหนืดสูงสุดลดลงต่ำกว่าเปรี้ยวเจ้าที่ไม่เติมไขมัน แต่การเติม GMS มีผลไม่แตกต่างกับเปรี้ยวเจ้าที่ไม่เติม surfactants แสดงว่าการเติม GMS ไม่มีผลต่อกำลังความสามารถการพองตัวของเจลเปรี้ยวเจ้า ลดคลอกล่องกับการทดลองของ Knightly (1968) พบว่า GMS ไม่มีผลต่อกำลังความสามารถนี้ เนื่องจาก GMS มี monoester เป็นองค์ประกอบ พนว่าระดับของ ester ไม่มีผลต่อการเกิดเจลติดในชีวะ โดยบ่งชี้จากการเพิ่มการขับยั้งการแตกของเม็ดสตาร์ซกับแรงเฉือน

เมื่อพิจารณาผลต่างของความหนืดสูงสุดกับความหนืดต่ำสุดหรือค่า break down ซึ่งบ่งบอกถึงความทนต่อแรงเฉือนของเม็ดสตาร์ชนพนว่าเปรี้ยวเจ้าที่เติม surfactants มีค่า break down ต่างกับเปรี้ยวเจ้าที่ไม่เติม surfactants อย่างมีนัยสำคัญ ( $p\leq0.05$ ) (ตารางผนวกที่ 3)- โดยเปรี้ยวเจ้าที่เติม surfactants มีค่า break down สูงกว่าที่ไม่เติม surfactants แสดงว่าเปรี้ยวเจ้าที่ไม่เติม surfactants ถูกทำลายได้ง่ายในขณะพองตัว ส่วนเปรี้ยวเจ้าที่เติม surfactants มีความแข็งแรงมากกว่าและไม่ถูกทำลายได้ง่ายด้วยความร้อน ลดคลอกล่องกับ Kim และ Walker (1992) พบว่าการเติมไขมันในสตาร์ช ทำให้ไขมันคุณพื้นผิวของสตาร์ชถูกทำลายเป็นแผ่นพิล์มนบนผิวสตาร์ชเพิ่มความสามารถไม่จับน้ำและขับยั้งการเคลื่อนที่ของน้ำเข้าไปในเม็ดสตาร์ช ทำให้ความสามารถการพองตัวของสตาร์ชลดลงและมีความแข็งแรงมากขึ้น ไม่ถูกทำลายได้ง่ายด้วยความร้อน นอกจากนี้จากการทดลองของ Perera และ Hoover (1997) ได้นำสตาร์ชที่ถูกสกัดไขมันออกเปรียบเทียบกับสตาร์ชที่ไม่ถูกสกัด ไขมันออก พนว่าสตาร์ชที่ถูกสกัดไขมันออกมีค่าความหนืดสูงกว่าสตาร์ชที่ไม่ถูกสกัดไขมันออก และจากการทดลองพนว่าค่า break down ของเจลเปรี้ยวเจ้าที่เติม MG มีค่าสูงสุดตามด้วยเปรี้ยวเจ้าที่เติม GMS และ SSL ตามลำดับ และเจลเปรี้ยวเจ้าที่ไม่เติม surfactants มีค่า breakdown ต่ำสุดในค้านปริมาณของ surfactants พนว่า surfactants ชนิดเดียวกันแต่มีปริมาณต่างกันมีค่า breakdown

ไม่แตกต่างกันอย่างมีนัยสำคัญ ( $p>0.05$ ) (ตารางผนวกที่ 3) แต่มีปริมาณ surfactants เพิ่มมากขึ้น ค่า breakdown มีแนวโน้มเพิ่มขึ้นด้วยเช่นกันแสดงดังรูปที่ 16, 17 และ 18 แสดงว่าการเพิ่มปริมาณ surfactants แต่ละชนิด ทำให้มีค่าสาระนิคความแข็งแรงเพิ่มขึ้น ไม่ถูกทำลายได้ง่ายขององค์ประกอบตัว

ผลการทดลองค่าความหนืดท้าย พบร่วมค่าความหนืดท้ายของแป้งข้าวเจ้าที่เติม

surfactants และ ไม่เติม surfactants ไม่แตกต่างกันอย่างมีนัยสำคัญ ( $p>0.05$ ) (ตารางผนวกที่ 3) โดย แป้งข้าวเจ้าที่เติม surfactants มีค่าความหนืดท้ายต่ำกว่าที่ไม่เติม surfactants ซึ่งสอดคล้องกับการทดลองของ Takahashi และ Seib (1988) ได้เติมไขมันปริมาณ 0.5%, 1.0% และ 2.0% ลงในแป้งสาลีพบว่าปริมาณไขมันที่เพิ่มขึ้นความหนืดท้ายเพิ่มสูงขึ้น เช่นเดียวกับการทดลองของ Kaur และ Singh (2000) ได้เติมไขมันลงในแป้งข้าวเจ้าพบว่าแป้งข้าวเจ้าที่เติมไขมันความหนืดท้ายเพิ่มสูงขึ้นมากกว่าแป้งข้าวเจ้าที่ไม่เติมไขมัน นอกจากนี้แป้งข้าวเจ้าที่เติม MG มีค่าความหนืดท้ายสูงกว่าที่เติม GMS และ SSL ในด้านปริมาณของ surfactants พบร่วมการเติม surfactants แต่ ละชนิดในปริมาณที่มากขึ้นค่าความหนืดท้ายมีแนวโน้มเพิ่มขึ้นด้วยเช่นกัน แต่ surfactants ชนิดเดียวกันเติมในปริมาณที่ต่างกันมีความหนืดท้ายไม่แตกต่างกันอย่างมีนัยสำคัญ ( $p>0.05$ ) และ เมื่อพิจารณาค่าผลต่างระหว่างความหนืดท้ายกับความหนืดต่ำสุด คือ ค่า setback ซึ่งมี

ความสัมพันธ์กับเนื้อสัมผัสของผลิตภัณฑ์ พบร่วมแป้งข้าวเจ้าที่มีการเติม surfactants มีค่า setback ต่ำกว่าไม่เติม surfactants แสดงว่า surfactants ลดการเกิดรtrogradation เดชันหรือลดการเกิด short term retrogradation ได้ สอดคล้องกับการทดลองของ Takahashi และ Seib (1988) ได้เติมไขมันปริมาณ 0.5%, 1.0% และ 2.0% ลงในแป้งสาลี พบร่วมปริมาณไขมันเพิ่มขึ้นค่า setback ลดลง และจากการทดลองพบว่าค่า setback ของแป้งที่เติม SSL และ MG ไม่แตกต่างกันอย่างมีนัยสำคัญ ( $p>0.05$ ) และมีค่าสูงกว่าแป้งข้าวเจ้าที่เติม GMS ในด้านปริมาณของ surfactants พบร่วมเมื่อเติม surfactants แต่ ละชนิดเพิ่มมากขึ้นค่า setback มีแนวโน้มเพิ่มขึ้นด้วยเช่นกัน แสดงดังรูปที่ 16, 17 และ 18 ดังนั้น การเติม SSL และ MG ลดการเกิด short term retrogradation มากกว่าการเติม GMS และเมื่อเติม surfactants ในปริมาณที่มากขึ้น การเกิด short term retrogradation เกิดขึ้นได้น้อยลง

#### 4.2.2 ผลการทดสอบด้วย Texture Analyzer

การวิเคราะห์เนื้อสัมผัสของเส้นกวยเตี๋ยวสดที่ไม่เติม surfactants และเส้นกวยเตี๋ยวสดที่มีการเติม surfactants โดยเก็บที่อุณหภูมิ 9, 30 และ 40 °C เป็นระยะเวลา 0, 24, 48, 72 , 96 และ 120 ชั่วโมง พบร่วมระยะเวลาการเก็บและอุณหภูมิการเก็บมีผลต่อเนื้อสัมผัสของเส้นกวยเตี๋ยว เมื่อระยะเวลาการเก็บเพิ่มมากขึ้น เส้นกวยเตี๋ยวมีเนื้อสัมผัสที่แข็งและประมาณากขึ้น โดยที่อุณหภูมิ 9 °C เนื้อสัมผัสของเส้นกวยเตี๋ยวเกิดการเปลี่ยนแปลงจากเหนียวและขิดหุ้นกล้ายเป็นแข็งและเปราะ ได้

เร็วที่สุด โดยมีค่าแรงกต ณ จุดที่เส้นก่วงเดียวขาดมากกว่าเส้นก่วงเดียวเก็บที่อุณหภูมิ 30 และ 40 °C และมีระยะเวลา ณ จุดที่เส้นก่วงเดียวขาดต่ำกว่าเส้นก่วงเดียวเก็บที่อุณหภูมิ 30 และ 40 °C และเมื่อมีการเติม surfactants พนว่าก่วงเดียวที่เติม surfactants มีค่าแรงกตสูงสุด ณ จุดที่เส้นก่วงเดียวขาดต่ำกว่าก่วงเดียวที่ไม่เติม surfactants และมีระยะเวลา ณ จุดที่เส้นก่วงเดียวขาดสูงกว่าก่วงเดียวที่ไม่เติม surfactants โดยเส้นก่วงเดียวที่เติม SSL ที่ระดับ 0.5% มีค่าแรงกตสูงสุด ณ จุดที่เส้นก่วงเดียวขาดต่ำที่สุด คือที่เวลา 0 ชั่วโมงมีค่าแรงกตสูงสุด ณ จุดที่เส้นก่วงเดียวขาด 3,107.08 กรัม และที่ระยะเวลา 24 ชั่วโมง เก็บที่อุณหภูมิ 9, 30 และ 40 °C มีค่าแรงกตสูงสุด ณ จุดที่เส้นก่วงเดียวขาด 6,490.9, 3,559.1 และ 3,082.8 กรัม ตามลำดับ (แสดงดังตาราง 11, 12 และ 13) และเมื่อระยะเวลาเพิ่มขึ้นเป็นเวลา 48 ชั่วโมง พนว่าค่าแรงกตสูงสุด ณ จุดที่เส้นก่วงเดียวขาดเพิ่มสูงขึ้นและมีแนวโน้มคงที่เมื่อระยะเวลาเพิ่มเป็น 72, 96 และ 120 ชั่วโมง โดยที่ระยะเวลา 48 ชั่วโมง ที่อุณหภูมิ 9, 30 และ 40 °C มีค่าแรงกตสูงสุด ณ จุดที่เส้นก่วงเดียวขาด คือ 9,171.8, 4,059.6 และ 3,144.1 กรัม ตามลำดับ โดยที่ระยะเวลา 72 ชั่วโมง ที่อุณหภูมิ 9, 30 และ 40 °C มีค่าแรงกตสูงสุด ณ จุดที่เส้นก่วงเดียวขาด คือ 9,285.6, 4,154.4 และ 3,463.7 กรัม ตามลำดับ โดยที่ระยะเวลา 96 ชั่วโมง ที่อุณหภูมิ 9, 30 และ 40 °C มีค่าแรงกตสูงสุด ณ จุดที่เส้นก่วงเดียวขาด คือ 9,483.1, 4,147.4 และ 3,411.1 กรัม ตามลำดับ โดยที่ระยะเวลา 120 ชั่วโมง ที่อุณหภูมิ 9, 30 และ 40 °C มีค่าแรงกตสูงสุด ณ จุดที่เส้นก่วงเดียวขาด คือ 10,293.1, 4,131.8 และ 3,420.4 กรัม ตามลำดับ ส่วนเส้นก่วงเดียวที่มีการเติม surfactants ชนิด GMS ที่ระดับ 0.08%, 0.2% และ 0.4% ระยะเวลา 0, 24, 48, 72, 96 และ 120 ชั่วโมง เก็บที่ 9, 30 และ 40 °C พนว่า GMS ที่ระดับ 0.2% มีค่าแรงกตสูงสุด ณ จุดที่เส้นก่วงเดียวขาดต่ำที่สุด ที่ระยะเวลา 0 ชั่วโมงมีค่าแรงกตสูงสุด ณ จุดที่เส้นก่วงเดียวขาด คือ 3,055.6 กรัม และที่ระยะเวลา 24 ชั่วโมง ที่อุณหภูมิ 9, 30 และ 40 °C มีค่าแรงกตสูงสุด ณ จุดที่เส้นก่วงเดียวขาด คือ 6,415.1, 2,881.1 และ 2,925.8 กรัม ตามลำดับ และเมื่อระยะเวลาเพิ่มขึ้นเป็นเวลา 48 ชั่วโมง พนว่าค่าแรงกตสูงสุด ณ จุดที่เส้นก่วงเดียวขาดเพิ่มสูงขึ้นและมีแนวโน้มคงที่ โดยที่ระยะเวลา 48 ชั่วโมง ที่อุณหภูมิ 9, 30 และ 40 °C มีค่าแรงกตสูงสุด ณ จุดที่เส้นก่วงเดียวขาด คือ 9,367.9, 3,456.2 และ 2,979.2 กรัม ตามลำดับ โดยที่ระยะเวลา 72 ชั่วโมง ที่อุณหภูมิ 9, 30 และ 40 °C มีค่าแรงกตสูงสุด ณ จุดที่เส้นก่วงเดียวขาด คือ 9,285.6, 3,905.9 และ 3,424.9 กรัม ตามลำดับ โดยที่ระยะเวลา 96 ชั่วโมง ที่อุณหภูมิ 9, 30 และ 40 °C มีค่าแรงกตสูงสุด ณ จุดที่เส้นก่วงเดียวขาด คือ 9,483.1, 4,034.3 และ 3,344.3 กรัม ตามลำดับ โดยที่ระยะเวลา 120 ชั่วโมง ที่อุณหภูมิ 9, 30 และ 40 °C พนว่า GMS ที่ระดับ 0.2% มีค่าแรงกตสูงสุด ณ จุดที่เส้นก่วงเดียวขาด คือ 10,293.1, 4,146.3 และ 3,456.1 กรัม ตามลำดับ และเส้นก่วงเดียวที่มีการเติม surfactants ชนิด MG ที่ระดับ 0.5% 0.3% และ 0.1% ระยะเวลา 0, 24, 48, 72, 96 และ 120 ชั่วโมง เก็บที่ 9, 30 และ 40 °C พนว่า MG ที่ระดับ 0.5% มี

ค่าแรงกต ณ จุดที่เส้นกวยเตี๋ยวหาดต่ำที่สุด ที่ระยะเวลา 0 ชั่วโมงมีค่าแรงกตสูงสุด ณ จุดที่เส้น กวยเตี๋ยวหาด คือ 3,158.6 กรัม และที่ระยะเวลา 24 ชั่วโมง ที่อุณหภูมิ 9, 30 และ 40 °C มีค่าแรงกต ณ จุดที่เส้นกวยเตี๋ยวหาดต่ำที่สุด คือ 5,791.9, 3,399.0 และ 2,847.3 กรัม ตามลำดับ และเมื่อ ระยะเวลาเพิ่มขึ้นเป็นเวลา 48 ชั่วโมง พบร่วมค่าแรงกต ณ จุดที่เส้นกวยเตี๋ยวหาดเพิ่มสูงขึ้นและน แนวโน้มคงที่ โดยที่ระยะเวลา 48 ชั่วโมง ที่อุณหภูมิ 9, 30 และ 40 °C มีค่าแรงกตสูงสุด ณ จุดที่เส้น กวยเตี๋ยวหาด คือ 9,849.9, 4,283.31 และ 3,010.49 กรัม ตามลำดับ โดยที่ระยะเวลา 72 ชั่วโมง ที่ อุณหภูมิ 9, 30 และ 40 °C มีค่าแรงกตสูงสุด ณ จุดที่เส้นกวยเตี๋ยวหาด คือ 10,529.8, 4,293.5 และ 3,251.3 กรัม ตามลำดับ โดยที่ระยะเวลา 96 ชั่วโมง มีค่าแรงกตสูงสุด ณ จุดที่เส้นกวยเตี๋ยวหาด คือ 10,421.3, 4,398.1 และ 3,351.4 กรัม ตามลำดับ โดยที่ระยะเวลา 120 ชั่วโมง มีค่าแรงกตสูงสุด ณ จุดที่เส้นกวยเตี๋ยวหาด คือ 10,141.5, 4,470.5 และ 3,444.2 กรัม ตามลำดับ ดังนั้นกวยเตี๋ยวที่เติม SSL และ GMS ให้ค่าแรงกตสูงสุด ณ จุดที่เส้นกวยเตี๋ยวหาดน้อยกว่าเส้นกวยเตี๋ยวที่เติม MG และเมื่อ พิจารณาด้านระบบทาง ณ จุดที่เส้นกวยเตี๋ยวหาดต่ำกว่าเส้นกวยเตี๋ยวที่ไม่เติม surfactants มี ระบบทาง ณ จุดที่เส้นกวยเตี๋ยวหาดต่ำกว่าเส้นกวยเตี๋ยวที่ไม่เติม surfactants แสดงว่าเส้นกวยเตี๋ยวที่ เติม surfactants ทำให้เนื้อสัมผัสมีความประณากกว่าไม่เติม surfactants กวยเตี๋ยวที่เติม SSL และ GMS มีระบบทาง ณ จุดที่เส้นกวยเตี๋ยวหาดสูงกว่าเส้นกวยเตี๋ยวที่เติม MG และแสดงว่าการเติม MG ทำ ให้เส้นกวยเตี๋ยวมีเนื้อสัมผัสแข็งและประณากกว่าการเติม SSL และ GMS นอกจากนี้ปริมาณ surfactants แต่ละชนิดมีผลต่อการเปลี่ยนแปลงเนื้อสัมผัศักดิ์ โดยการเติม SSL ที่ระดับ 0.5% GMS ที่ระดับ 0.2% และ MG ที่ระดับ 0.5% ทำให้เส้นกวยเตี๋ยวมีค่าแรงกตสูงสุด ณ จุดที่เส้นกวยเตี๋ยว หาดต่ำกว่าและระบบทาง ณ จุดที่กวยเตี๋ยวหาดสูงกว่าใช้ surfactants ที่ระดับอื่นๆ แสดงดังตารางที่ 11, 12 และ 13

ตารางที่ 11 อิทธิพลของ surfactants ต่อลักษณะเนื้อสัมผัสของเส้นกวยเดียวที่เก็บที่อุณหภูมิ 9°C

ระยะเวลา เก็บ (ชั่วโมง)	ค่าแรงกดสูงสุด (กรัม)			ระยะทางสูงสุด (มิลลิเมตร)				
	control	SSL 0.5%	MG 0.5%	GMS 0.2%	control	SSL 0.5%	MG 0.5%	GMS 0.2%
	0	3465.4	3107.1	3158.6	3055.6	6.808	6.978	6.925
24	6680.8	6433.7	6477.6	6378.3	3.448	3.372	3.245	3.237
48	10388.7	9727.3	9849.9	9367.9	3.382	3.183	2.934	3.183
72	10571.1	9817.7	10307.0	9442.8	3.132	2.982	3.158	3.224
96	11748.1	9825.8	10401.3	9854.6	3.204	3.123	3.131	3.058
120	12251.4	10104.4	10770.1	10335.0	3.196	2.954	3.180	3.234

ตารางที่ 12 อิทธิพลของ surfactants ต่อลักษณะเนื้อสัมผัสของเส้นกวยเดียวที่เก็บที่อุณหภูมิ 30°C

ระยะเวลา เก็บ (ชั่วโมง)	ค่าแรงกดสูงสุด (กรัม)			ระยะทางสูงสุด (มิลลิเมตร)				
	control	SSL 0.5%	MG 0.5%	GMS 0.2%	control	SSL 0.5%	MG 0.5%	GMS 0.2%
	0	3465.4	3107.1	3158.6	3055.6	6.808	6.978	6.925
24	6680.8	3559.1	3399.0	2881.1	3.448	7.013	6.797	6.936
48	10388.7	4059.6	4283.31	3456.2	3.382	6.361	6.608	6.881
72	10571.1	4154.4	4293.5	3905.9	3.132	6.139	6.202	6.350
96	11748.1	4147.4	4398.1	4034.3	3.204	6.007	6.126	6.154
120	12251.4	4131.8	4470.5	4146.3	3.196	6.154	6.191	6.193

ตารางที่ 13 อิทธิพลของ surfactants ต่อลักษณะเนื้อสัมผัสของเส้นกาวเดี่ยวที่เก็บที่อุณหภูมิ  $40^{\circ}\text{C}$

ระยะเวลา เก็บ (ชั่วโมง)	ค่าแรงกดสูงสุด (กรัม)			ระยะทางสูงสุด (มิลลิเมตร)				
	control	SSL	MG	GMS	control	SSL	MG	GMS
	control	0.5%	0.5%	0.2%	control	0.5%	0.5%	0.2%
0	3465.4	3107.8	3158.6	3055.6	6.808	6.978	6.925	7.163
24	6680.8	3082.8	2847.3	2925.8	3.448	7.123	7.282	7.227
48	10388.7	3144.1	3010.5	2979.2	3.382	7.114	7.313	7.242
72	10571.1	3463.7	3251.3	3424.9	3.132	7.024	6.542	6.909
96	11748.1	3411.1	3351.4	3344.3	3.204	7.059	6.562	7.122
120	12251.4	3420.4	3444.2	3456.1	3.196	6.974	6.646	6.917

#### 4.2.3 ผลการทดสอบด้วยเครื่อง DSC

นำเส้นกาวเดี่ยวที่ไม่เติม surfactants เปรียบเทียบกับเส้นกาวเดี่ยวที่เติม surfactants ชนิด MG ที่ระดับ 0.1%, 0.3% และ 0.5% SSL ที่ระดับ 0.3%, 0.5% และ 0.7% และ GMS ที่ระดับ 0.08%, 0.2% และ 0.4% เก็บที่อุณหภูมิ 9, 30 และ  $40^{\circ}\text{C}$  เป็นระยะเวลา 0, 24, 48, 96 และ 120 ชั่วโมง มาวิเคราะห์การเกิดรีไทรกรรมาเศษน้ำด้วยเครื่อง DSC โดยวัดค่า  $\Delta H$  ในการเกิดรีไทรกรรมาเศษน้ำ  $T_o$ ,  $T_p$  และ  $T_c$  แสดงดังตารางที่ 14, 15, 16 และ 17 ตามลำดับ ผลการทดลองพบว่าอุณหภูมิและระยะเวลาการเก็บรักษามีผลต่อการเกิดรีไทรกรรมาเศษน้ำของเส้นกาวเดี่ยวที่เติม surfactants และไม่เติม surfactants กาวเดี่ยวที่เติม surfactants มีค่า  $\Delta H$  น้อยกว่าเส้นกาวเดี่ยวที่ไม่เติม surfactants เนื่องจากการเติม surfactants ทำให้โครงสร้างของแป้งในเส้นกาวเดี่ยวมีการเปลี่ยนแปลงเกิดขึ้น โดย surfactants เกิดสารประกอบเชิงซ้อนกับโมเลกุลอะมิโน酇ส์ในแป้งเกิดจากการที่โมเลกุลอะมิโน酇ส์พันเกลียวรอบๆ surfactants โดยบริเวณส่วนในของเกลียวเป็นส่วนที่ไม่ชอนน้ำ สารประกอบเชิงซ้อนจะเกิดขึ้นระหว่างการเกิดเจลติดในซึ่งมีสารประกอบเชิงซ้อนเกิดขึ้นในโมเลกุลของอะมิโน酇ส์ทำให้ป้องกันไม่ให้โมเลกุลอะมิโน酇ส์แพร่ออกมายานอกเม็ดสตาร์ช การกลับมาจัดเรียงตัวกันใหม่ของโมเลกุลอะมิโน酇ส์ค่อนข้างเป็นไปได้ยาก (Eliasson และ Gudmundson, 1996; Gray และ Bemiller, 2003) ดังนั้นจากการทดลองของ Conde-Petit และ Escher (1991) ได้ศึกษาด้วย DSC พบว่าการเกิดสารประกอบเชิงซ้อนของ surfactants มีประสิทธิภาพในการป้องกันการเกิดการแข็งตัวของขนมปัง และการทดลองของ Zhou และคณะ (2007) ได้เติมครา

ตารางที่ 14 อิทธิพลของ surfactants ต่อ  $\Delta H$

ນຳມາຮັງ ນຳ = no endothermic curve peak

ପ୍ରକାଶନ କମିଶନ

ตารางที่ 15 อิทธิพลของ surfactants ต่อ T<sub>0</sub>

การเก็บรักษา				T <sub>0</sub> (°C)			
ระยะเวลา (ชั่วโมง)	อุณหภูมิ (°C)	control	SSL	GMS		MG	
		0%	0.3%	0.5%	0.7%	0.08%	0.2%
0	9	ND	ND	ND	ND	ND	ND
30	ND	ND	ND	ND	ND	ND	ND
40	ND	ND	ND	ND	ND	ND	ND
24	9	44.49±2.05	44.52±1.59	45.40±0.98	47.37±0.02	44.01±2.91	46.77±2.64
30	ND	ND	ND	ND	ND	ND	ND
40	ND	ND	ND	ND	ND	ND	ND
48	9	42.88±1.90	43.79±1.14	45.32±3.82	44.27±1.01	42.97±4.16	44.73±2.87
30	ND	ND	ND	ND	ND	ND	ND
40	ND	ND	ND	ND	ND	ND	ND
72	9	45.46±0.45	44.71±0.11	44.67±0.45	44.30±0.33	42.62±3.65	45.71±0.18
30	ND	ND	ND	ND	ND	ND	ND
40	ND	ND	ND	ND	ND	ND	ND
96	9	43.63±0.78	43.53±0.54	43.95±0.76	41.59±2.21	44.51±0.77	43.61±0.21
30	60.95±2.71	60.93±1.55	62.22±2.99	58.04±0.34	66.36±0.01	67.58±0.73	59.62±0.02
40	ND	ND	ND	ND	ND	ND	ND
120	9	40.81±3.77	40.92±1.26	43.10±4.34	44.53±0.95	46.36±1.65	43.29±1.81
30	56.97±0.97	63.38±0.01	59.96±3.94	59.31±0.64	61.31±0.01	60.50±2.28	58.89±0.02
40	ND	ND	ND	ND	ND	ND	ND

หมายเหตุ ND = no endothermic peak

± คือตัวอย่างบันทุมารฐาน

ตารางที่ 16 อิทธิพลของ surfactants ต่อกำลัง  $T_p$ 

การเก็บรักษา			$T_p$ (°C)									
ระยะเวลา (วัน)	อุณหภูมิ (°C)	control	SSL				GMS		MG			
			0%	0.3%	0.5%	0.7%	0.08%	0.2%	0.4%	0.1%	0.3%	0.5%
0	9	ND	ND									
	30	ND	ND									
	40	ND	ND									
24	9	55.81±2.96	56.65±0.35	55.22±1.67	58.16±1.53	56.15±0.12	55.15±0.12	55.81±2.74	57.99±0.59	56.41±2.85	58.61±0.29	
	30	ND	ND									
	40	ND	ND									
48	9	53.21±1.18	55.81±2.26	54.81±2.49	55.40±0.71	55.31±1.32	58.83±1.54	55.92±2.12	55.74±1.90	55.39±0.24	58.74±0.00	
	30	ND	ND									
	40	ND	ND									
72	9	55.93±0.02	54.66±0.62	54.72±0.72	54.38±0.01	55.06±1.19	56.26±1.40	54.72±0.96	56.90±0.70	56.48±0.60	54.64±0.36	
	30	ND	ND									
	40	ND	ND									
96	9	54.22±0.00	54.13±0.12	54.22±0.25	56.23±2.60	56.99±0.82	56.23±0.00	56.40±0.01	56.15±0.35	54.87±0.24	55.53±0.50	
	30	65.87±1.74	68.53±3.68	71.94±3.82	77.00±4.67	75.47±0.00	75.56±0.12	69.45±0.71	73.69±0.14	72.72±0.35	65.49±0.64	
	40	ND	ND									
120	9	55.40±3.07	55.81±2.72	55.23±3.08	56.64±0.12	55.65±2.01	55.32±1.77	56.75±0.94	56.49±0.13	56.90±0.35	54.73±0.48	
	30	66.28±0.70	76.47±0.71	75.21±0.81	74.28±3.53	70.95±0.47	68.71±0.35	68.71±0.35	68.54±0.62	65.78±0.93	65.48±0.42	
	40	ND	ND									

หมายเหตุ ND = no endothermic peak  
 ± คือตัวนับผิดบนมาตรฐาน

ตารางที่ 17 อิทธิพลของ surfactants ต่อค่า Tc

การเก็บรักษา			Tc (°C)									
ระยะเวลา (วัน)	อุณหภูมิ (°C)	control	SSL			GMS			MG			
			0.5%	0.7%	0.08%	0.2%	0.4%	0.1%	0.3%	0.5%		
0	9	ND	ND	ND	ND							
	30	ND	ND	ND	ND							
	40	ND	ND	ND	ND							
24	9	67.96±2.21	66.29±1.32	68.41±2.17	69.82±1.30	67.84±0.89	66.88±0.51	63.72±4.46	69.88±5.27	69.33±0.30	69.43±1.38	
	30	ND	ND	ND	ND							
	40	ND	ND	ND	ND							
48	9	67.90±0.92	66.15±2.81	67.25±0.17	67.13±2.20	63.62±0.35	66.53±0.66	68.26±0.07	67.47±1.95	70.40±1.36	68.17±0.01	
	30	ND	ND	ND	ND							
	40	ND	ND	ND	ND							
72	9	67.69±0.36	67.54±0.14	64.88±0.53	66.95±0.61	66.34±2.42	66.84±0.80	65.98±2.47	66.41±1.32	68.09±0.04	65.66±3.45	
	30	ND	ND	ND	ND							
	40	ND	ND	ND	ND							
96	9	69.28±0.00	65.12±0.19	68.61±0.62	67.35±2.93	66.91±0.97	69.28±0.02	66.54±2.15	67.58±1.13	67.49±0.07	66.92±0.26	
	30	79.59±6.56	77.58±6.06	78.34±7.39	75.01±1.32	85.71±3.93	82.96±0.06	77.76±0.05	88.15±0.58	82.40±0.21	74.16±0.00	
	40	ND	ND	ND	ND							
120	9	70.48±2.33	67.59±1.74	69.07±0.76	68.14±0.05	68.33±1.82	67.66±0.22	64.978±2.73	69.38±0.45	66.89±0.07	66.87±0.74	
	30	76.35±2.37	86.29±0.12	77.58±5.70	77.28±3.06	85.57±0.30	79.28±0.96	77.74±0.15	76.51±0.24	77.99±0.67	77.68±2.42	
	40	ND	ND	ND	ND							

หมายเหตุ ND = no endothermic peak  
 ± คือส่วนเบี่ยงเบนมาตรฐาน

ไขมนอัมตัวในสตราช้าพบว่าค่า  $\Delta H$  ของการเกิดริโตรกราเดชันมีค่าต่ำกว่าสตราช้าที่ไม่เติมกรดไขมน การเติมกรดไขมนอัมตัวทำให้เกิดสารประกอบเชิงซ้อนของไขมนกับอะโนโลสเพิ่มขึ้นระหว่างการเกิดริโตรกราเดชัน Labell (1983) ได้รายงานผลการเติม surfactants ในโคลามาราดเกิดสารประกอบเชิงซ้อนกับอะโนโลส การเกิดสารประกอบเชิงซ้อนกับอะโนโลสเพิ่มขึ้นกับความสามารถของ surfactants ที่แตกต่างกัน(Destefanis และคณะ 1977; Morad และ D' Appolonia, 1980; Osman และคณะ, 1961; Tamstorf, 1983) และผลจากการทดลองพบว่าการเติม surfactants แต่ละชนิดลงในเส้นกวยเตี๋ยวมีผลต่อค่า  $\Delta H$  ของการเกิดริโตรกราเดชันของอะโนโลเพคติน คือ กวยเตี๋ยวที่เติม SSL มีค่า  $\Delta H$  ต่ำกว่ากวยเตี๋ยวที่เติม GMS และกวยเตี๋ยวที่เติม MG มีค่า  $\Delta H$  สูงสุด และในด้านปริมาณของ surfactants พบร่วมกับการเติม SSL ที่ระดับ 0.5% GMS ที่ระดับ 0.2% และ MG ที่ระดับ 0.5% ทำให้เส้นกวยเตี๋ยวนมีค่า  $\Delta H$  ต่ำที่สุดคัวคาย ดังนั้นการเติม surfactants ในเส้นกวยเตี๋ยวช่วยลดการเกิดริโตรกราเดชันได้ โดยระดับที่ช่วยปรับปรุงคุณภาพของเส้นกวยเตี๋ยวคือ SSL ที่ระดับ 0.5% สอดคล้องกับการทดลองของ Destefanis และคณะ (1977) พบร่วมกับการเติม SSL ไม่เกิดสารประกอบเชิงซ้อนกับอะโนโลสอย่างเดี๋ยวแต่เกิดสารประกอบเชิงซ้อนกับอะโนโลเพคตินด้วย และจากการทดลองของ Lagendijk และ Pennings (1970) ได้รายงานว่า MG ลดการเกิดการแข็งตัวของไขมนปังโดยเกิดสารประกอบเชิงซ้อนกับอะโนโลสมากกว่าอะโนโลเพคติน ขณะที่อะโนโลสเกี่ยวกับข้องับการเกิดการแข็งตัวของไขมนปังอย่างรวดเร็วหลังการอบ แต่อะโนโลเพคตินเกี่ยวกับข้องับการเกิดการแข็งตัวของไขมนปังระหว่างการเก็บรักษา (Stampfli และ Nersten, 1995) และการศึกษาของ Mikus และคณะ (1946) พบร่วมพันธุ์กุ้งที่เกิดสารประกอบเชิงซ้อนระหว่างอะโนโลสและ MG มีผลต่อความนุ่มนวลของไขมนปังแต่ไม่มีผลต่ออัตราการแข็งตัวของไขมนปัง

จากผลการทดลองค่า  $T_o$ ,  $T_p$  และ  $T_c$  ของเส้นกวยเตี๋ยวที่เติม surfactants และไม่เติม surfactants พบร่วมกับการเติมที่อุณหภูมิ  $9^{\circ}\text{C}$  มีค่า  $T_o$ ,  $T_p$  และ  $T_c$  ต่ำกว่าเก็บที่อุณหภูมิ  $30$  และ  $40^{\circ}\text{C}$  ดังนั้นอุณหภูมิที่ใช้สลายผลึกในการเกิดริโตรกราเดชันเพิ่มขึ้นตามอุณหภูมิการเก็บ (Shi และ Seib, 1994; Yauw และคณะ, 1993) สอดคล้องกับการทดลองของ Ribotta และคณะ (2003) พบร่วมที่อุณหภูมิต่ำ  $4^{\circ}\text{C}$  ผลึกอะโนโลเพคตินที่เกิดขึ้นมีความแข็งแรงน้อยที่สุด เมื่องจากที่อุณหภูมิต่ำเป็นอุณหภูมิที่สามารถเกิดผลึกนิวเคลียสได้มากแต่การเจริญเติบโตของผลึกเกิดขึ้นได้น้อย ทำให้ผลึกที่ได้ไม่แข็งแรงและไม่เสถียร และเมื่อศึกษาความสัมพันธ์ระหว่างระยะเวลาการเก็บกับค่า  $T_o$ ,  $T_p$  และ  $T_c$  พบร่วมว่าระยะเวลาการเก็บของเส้นกวยเตี๋ยวที่เติม surfactants และไม่เติม surfactants ค่าของ  $T_o$ ,  $T_p$  และ  $T_c$  มีค่าใกล้เคียงกัน แสดงว่าระยะเวลาการเก็บไม่มีผลต่ออุณหภูมิที่ใช้ในการสลายผลึก และเมื่อพิจารณาค่า  $T_o$ ,  $T_p$  และ  $T_c$  ของกวยเตี๋ยวที่เติม surfactants และไม่เติม surfactants พบร่วมกับการเติมที่ไม่เติม surfactants มีอุณหภูมิที่ใช้ในการสลายผลึกต่ำกว่ากวยเตี๋ยวที่

เติม surfactants เนื่องจากก๋วยเตี๋ยวที่เติม surfactants มีโครงสร้างผลึกที่แข็งแรงทำให้การสลายผลึกต้องใช้อุณหภูมิสูงกว่าก๋วยเตี๋ยวที่ไม่เติม surfactants

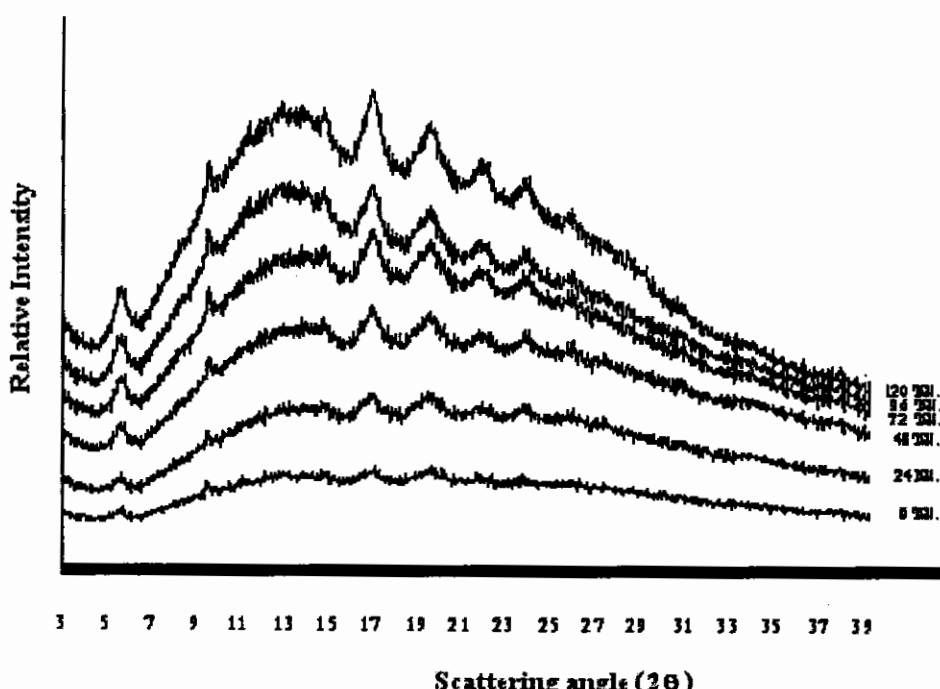
#### 4.2.4 ผลการทดสอบด้วยเครื่อง X-ray Diffraction

การทดสอบด้วยเครื่อง X-ray Diffraction (แสดงในรูปที่ 19-21) สามารถแสดงถึงการเกิดสารประกอบเชิงซ้อน ความเป็นผลึก และชนิดของผลึก โดยพบว่าเส้นก๋วยเตี๋ยวที่เติม surfactants และไม่เติม surfactants เกิดพีคที่  $15.0, 17.0, 22.2$  และ  $24.0^{\circ}2\theta$  ซึ่งเป็นผลึกชนิด B-type (Ribotta และคณะ, 2004) และเส้นก๋วยเตี๋ยวที่เติม surfactants มีปริมาณผลึกชนิด B-type น้อยกว่าเส้นก๋วยเตี๋ยวที่ไม่เติม surfactants ตลอดระยะเวลาการเก็บ แสดงว่าเส้นก๋วยเตี๋ยวที่เติม surfactants เกิดริโตรกราเดชันได้น้อยกว่าเส้นก๋วยเตี๋ยวที่ไม่เติม surfactants และจากการทดลองพบว่าเส้นก๋วยเตี๋ยวที่เติม surfactants แต่ละชนิดมี ปริมาณผลึกชนิด B-type แตกต่างกัน โดยเส้นก๋วยเตี๋ยวที่เติม MG 0.5% มีปริมาณผลึกชนิด B-type มากที่สุด เมื่อเก็บที่อุณหภูมิ  $9^{\circ}\text{C}$  เวลา 0, 24, 48, 72, 96 และ 120 ชั่วโมง มีปริมาณผลึกชนิด B-type 0, 1.42%, 1.24%, 2.16% 2.19% และ 2.66% ตามลำดับ ตามด้วย GMS 0.2% เมื่อเมื่อเก็บที่อุณหภูมิ  $9^{\circ}\text{C}$  เวลา 0, 24, 48, 72, 96 และ 120 ชั่วโมง มีปริมาณผลึกชนิด B-type 0, 1.08%, 1.26%, 1.16%, 1.48% และ 2.16% ตามลำดับ และ SSL 0.5% มีปริมาณผลึก B-type ได้น้อยที่สุด เมื่อเก็บที่อุณหภูมิ  $9^{\circ}\text{C}$  เวลา 0, 24, 48, 72, 96 และ 120 ชั่วโมง มีปริมาณผลึกชนิด B-type 0%, 0.52%, 0.84%, 1.12%, 1.17 % และ 1.05% ตามลำดับ (ตารางที่ 16) แสดงว่าเส้นก๋วยเตี๋ยวที่เติม SSL 0.5% เกิดริโตรกราเดชันได้น้อยที่สุดสอดคล้องกับการวัดด้วย Texture Analyzer และ DSC

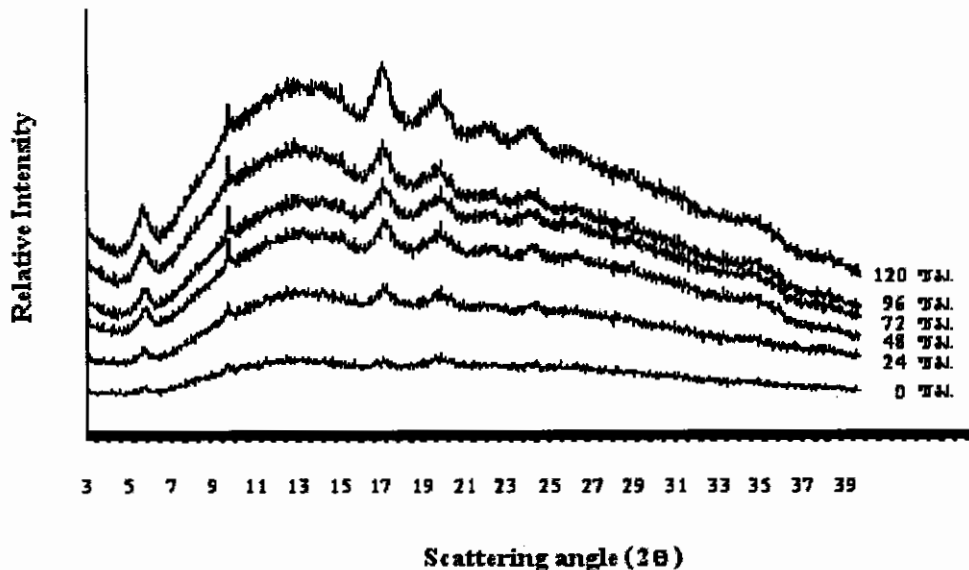
เมื่อพิจารณาโครงสร้างผลึกชนิด V-type ซึ่งสัมพันธ์กับการเกิดสารประกอบเชิงซ้อนกับอะมิโลส (ที่  $20^{\circ}2\theta$ ) พบว่าเส้นก๋วยเตี๋ยวที่เติม surfactants มีปริมาณผลึก V-type มากกว่าที่ไม่เติม surfactants และเส้นก๋วยเตี๋ยวที่เติม SSL 0.5% มีปริมาณผลึกชนิด V-type มากที่สุด เมื่อเก็บที่อุณหภูมิ  $9^{\circ}\text{C}$  เวลา 0, 24, 48, 72, 96 และ 120 ชั่วโมง มีปริมาณผลึกชนิด V-type 0.94%, 0.97%, 0.96%, 1.08%, 1.09% และ 0.86% ตามลำดับ ตามด้วยก๋วยเตี๋ยวที่เติม GMS 0.2% เมื่อเก็บที่อุณหภูมิ  $9^{\circ}\text{C}$  เวลา 0, 24, 48, 72, 96 และ 120 ชั่วโมงปริมาณผลึกชนิด V-type 0.86%, 0.78%, 0.71%, 0.71% 0.70% และ 0.75% ตามลำดับ และเส้นก๋วยเตี๋ยวที่เติม MG 0.5% มีปริมาณผลึกชนิด V-type น้อยที่สุด เมื่อเก็บที่อุณหภูมิ  $9^{\circ}\text{C}$  เวลา 0, 24, 48, 72, 96 และ 120 ชั่วโมง มีปริมาณผลึกชนิด V-type 0.75%, 0.84%, 0.83%, 0.75% 0.79% และ 0.80% ตามลำดับ ดังนั้นการเติม surfactants ในเส้นก๋วยเตี๋ยวทำให้มีปริมาณผลึก V-type เพิ่มขึ้น เกิดสารประกอบเชิงซ้อนกับอะมิโลสได้มาก ทำให้โครงสร้างของอะมิโลสแข็งแรงและหยุดนิ่ง ไม่กลับมาจัดเรียงตัวใหม่จึงทำให้เส้นก๋วยเตี๋ยวที่

เติม surfactants มีการเกิดรีโทรกราเดชันลดลง สอดคล้องกับการทดลองของ Zobel (1973) ได้เติม surfactants ในขั้นปั้งที่เก็บไว้เป็นระยะเวลา 3 วัน พนว่าการเติม surfactants ทำให้ V-line เพิ่มขึ้น บ่งบอกถึงลักษณะระหว่างอะมิโนโปรดและ surfactants ที่เติมลงไป เช่นเดียวกับการทดลองของเกิดโครงสร้าง V-complex ป้องกันการเคลื่อนที่ของโมเลกุลสารซหลุคออกจากเม็ดสารระหว่างการอบ ดังนั้นจะป้องกันการเกิดการแข็งตัวในผลิตภัณฑ์ขั้นปั้ง

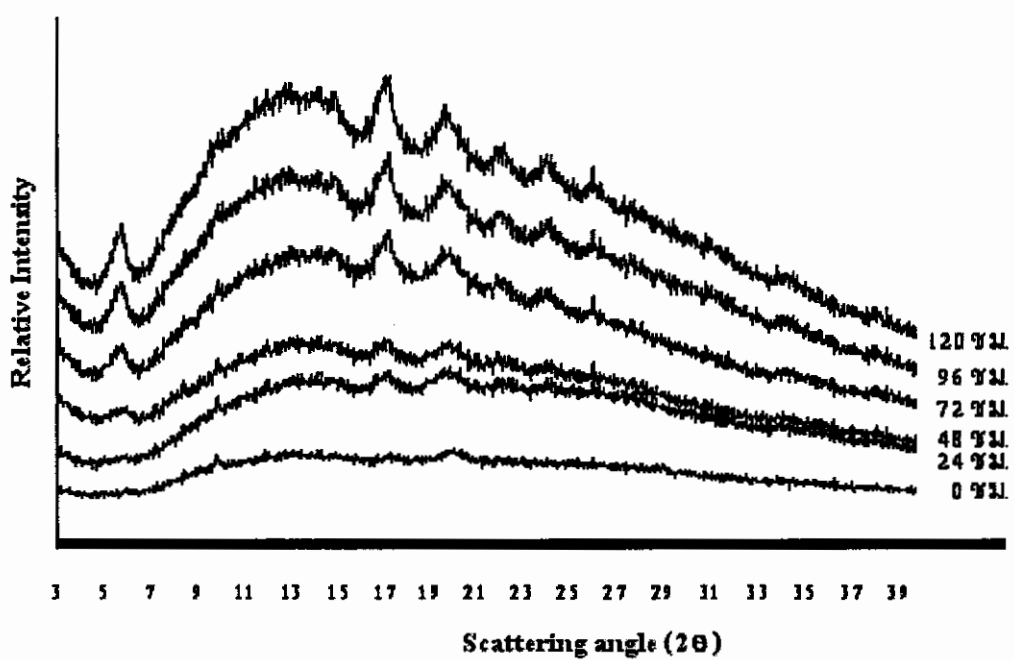
ส่วนค่าร้อยละความเป็นผลึกทั้งหมด พนว่าเส้นก่วงเที่ยวที่เติม SSL 0.5% เมื่อเก็บที่อุณหภูมิ 9 °C เวลา 0, 24, 48, 72, 96 และ 120 ชั่วโมง มีปริมาณผลึกทั้งหมด 1.08%, 2.04%, 2.24%, 2.72%, 3.15% และ 3.75% ตามลำดับ ก่วงเที่ยวที่เติม GMS 0.2% เมื่อเก็บที่อุณหภูมิ 9 °C เวลา 0, 24, 48, 72, 96 และ 120 ชั่วโมง มีปริมาณผลึกทั้งหมด 1.01%, 1.10%, 1.60%, 2.22%, 2.62% และ 3.02% ตามลำดับ และเส้นก่วงเที่ยวที่เติม MG 0.5% เมื่อเก็บที่อุณหภูมิ 9 °C เวลา 0, 24, 48, 72, 96 และ 120 ชั่วโมง มีปริมาณผลึกชนิดทั้งหมด 1.12%, 2.23%, 2.82%, 3.15%, 3.30% และ 3.88% ตามลำดับ Dragsdorf และ Varriano-Marston (1980) พนว่าการเติม surfactants ในผลิตภัณฑ์จากสารซหลุคทำให้



รูปที่ 19 X-ray Diffactograms ของเส้นก่วงเที่ยวที่เติม SSL 0.5% เก็บที่ 9 °C เป็นระยะเวลาต่างๆ



รูปที่ 20 X-ray Diffactograms ของเส้นกวยเตี๋ยวที่เติม GMS 0.2% เก็บที่ 9 °C เป็นระยะเวลาต่างๆ



รูปที่ 21 X-ray Diffactograms ของเส้นกวยเตี๋ยวที่เติม MG 0.5% เก็บที่ 9 °C เป็นระยะเวลาต่างๆ

ตารางที่ 16 อิทธิพลของ surfactants ต่อปริมาณผิวของเส้นกาวเดี่ยวที่เก็บที่อุณหภูมิ 9°C

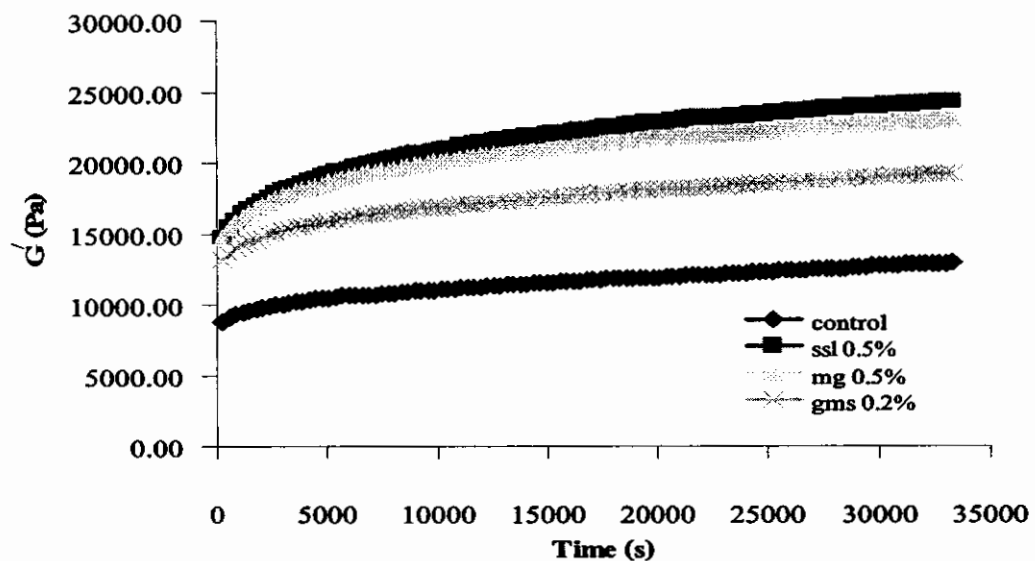
ระยะเวลา (ชั่วโมง)	ร้อยละความเป็นผลึก TC						ร้อยละความเป็นผลึก B-type						ร้อยละความเป็นผลึก V-type					
	control			0.5%			control			0.5%			control			0.5%		
	SSL	GMS	MG	SSL	GMS	MG	SSL	GMS	MG	control	0.5%	0.2%	control	0.5%	0.2%	control	0.5%	0.2%
0	1.96	1.08	1.01	1.12	0	0	0	0	0	0	0	0	0.77	0.94	0.86	0.75		
24	3.11	2.04	2.10	2.23	1.55	0.52	1.08	1.42	0.66	0.97	0.97	0.78	0.78	0.78	0.78	0.78	0.84	
48	3.24	2.24	2.60	2.82	1.79	0.84	1.26	1.24	0.69	0.96	0.96	0.71	0.71	0.71	0.71	0.71	0.83	
72	3.44	2.72	3.22	3.15	1.78	1.12	1.16	2.16	0.67	1.08	1.08	0.71	0.71	0.71	0.71	0.71	0.75	
96	4.55	3.48	3.62	3.30	3.38	1.17	1.48	2.19	0.79	1.09	1.09	0.70	0.70	0.70	0.70	0.70	0.79	
120	4.64	3.73	4.02	3.88	3.04	1.05	2.16	2.19	0.66	0.86	0.86	0.75	0.75	0.75	0.75	0.75	0.80	

#### 4.2.5 ผลการทดสอบการเปลี่ยนแปลงคุณสมบัติทางวิทยากระแส

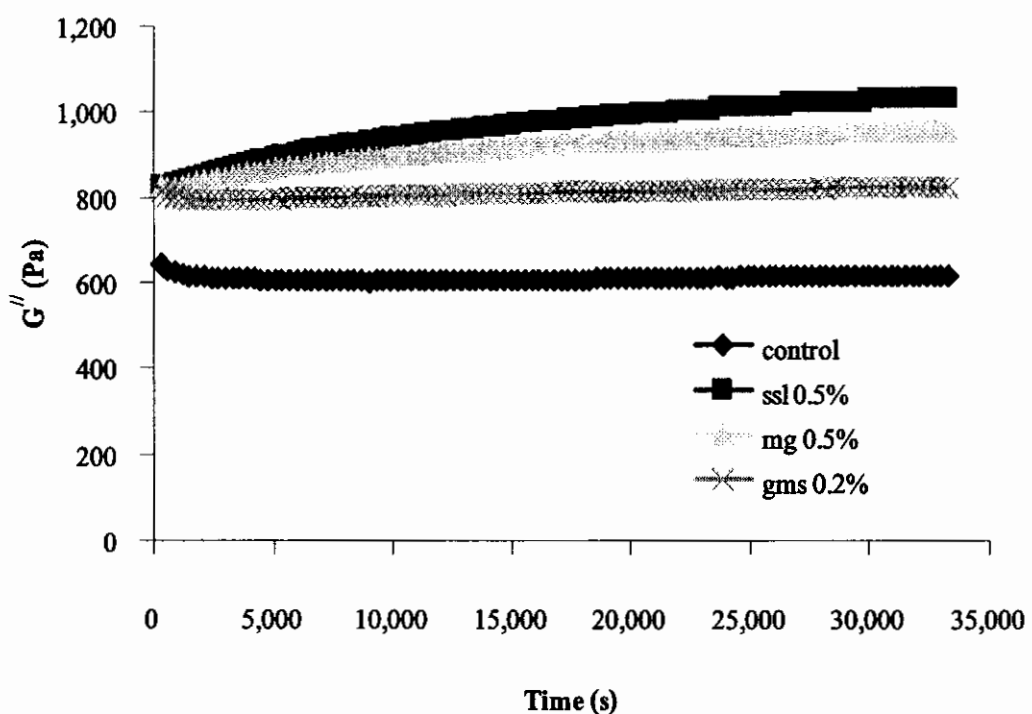
จากการศึกษาการเปลี่ยนแปลงคุณสมบัติทางวิทยากระแสด้วยเครื่อง Rheometer

เปรียบเทียบระหว่างเจลแป้งข้าวเจ้าที่เติม SSL 0.5%, MG 0.5% และ GMS 0.2% กับเจลแป้งข้าวเจ้าที่ไม่เติม surfactants โดยศึกษาที่อุณหภูมิ 9 °C นั้นสามารถเก็บตัวอย่างเจลแป้งข้าวได้เพียง 10 ชั่วโมงก็จะเกิดหยดน้ำร้อนๆ ตัวอย่างทำให้ไม่สามารถดักจับไปได้ จึงทำการศึกษาเพียงแค่ 10 ชั่วโมง

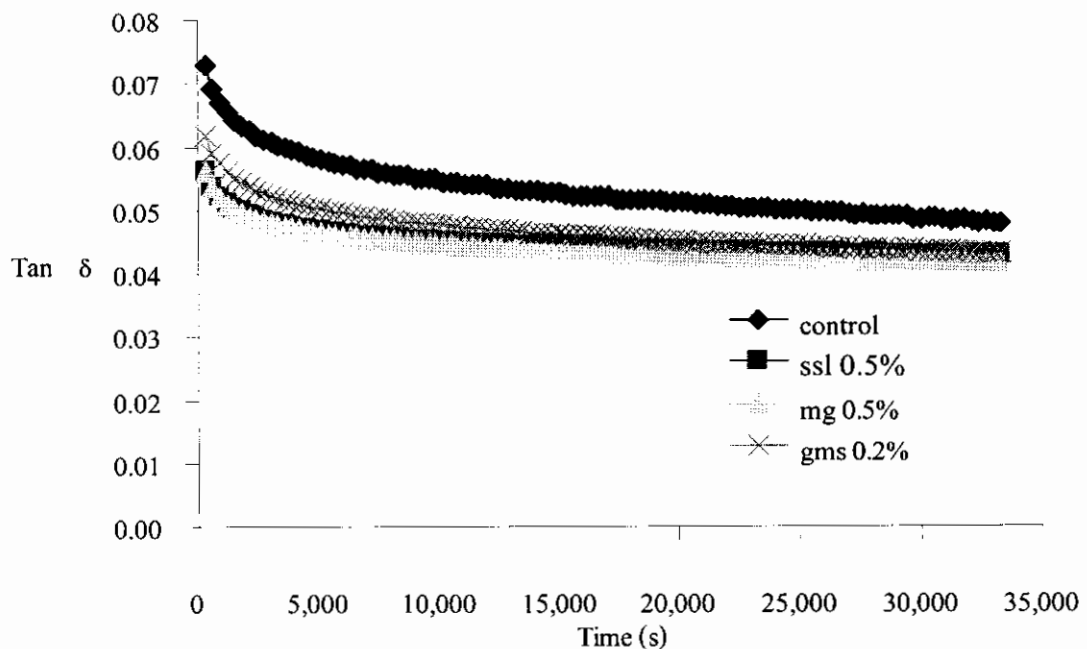
จากการทดลองพบว่าค่า  $G'$  ของเจลแป้งข้าวเจ้าที่เติม surfactants และไม่เติม surfactants เพิ่มขึ้นตามระยะเวลา แสดงว่าเมื่อระยะเวลาเพิ่มมากขึ้น ความแข็งของเจลเพิ่มขึ้น โดย  $G'$  ของเจลแป้งข้าวเจ้าที่เติม SSL 0.5% มีค่าสูงสุด ตามด้วย MG 0.5%, GMS 0.2% และเจลแป้งข้าวเจ้าที่ไม่เติม surfactants มีค่าต่ำสุด คังรูปที่ 22 และค่า  $G''$  ของเจลแป้งข้าวเจ้าที่ไม่เติม surfactants มีแนวโน้มคงที่เมื่อระยะเวลาเพิ่มมากขึ้น แสดงว่าเจลแป้งข้าวเจ้าที่ไม่เติม surfactans เมื่อระยะเวลา การเก็บเพิ่มมากขึ้นปรินามันน้ำในตัวอย่างมีแนวโน้มคงที่แต่ค่า  $G''$  ของเจลแป้งข้าวเจ้าที่เติม surfactants มีแนวโน้มเพิ่มขึ้นตามระยะเวลา โดย SSL 0.5% มีค่า  $G''$  สูงสุดตามด้วย MG 0.5% และ GMS 0.2% คังรูปที่ 23 ส่วนค่า  $\tan \delta$  พนว่าตัวอย่างเจลแป้งข้าวเจ้าที่ไม่เติม surfactants มีค่าสูงสุด ตามด้วย GMS 0.2%, SSL 0.5% และ MG 0.5% มีค่าต่ำสุด คังรูปที่ 24 ค่า  $\tan \delta$  สูงแสดงว่าตัวอย่าง มีส่วนของเหลวอยู่มาก และค่า  $\tan \delta$  ต่ำแสดงว่าตัวอย่างมีส่วนประกอบที่เป็นของแข็งอยู่มาก แต่  $\tan \delta$  ของเจลที่มีค่าต่ำจะมีความแข็งแรงมาก ดังนั้นจากผลการทดลองพบว่าสันก์วายเดียวที่เติม SSL 0.5% มีค่า  $G'$  และ  $G''$  สูงกว่ากันกว่าวิธีที่เติม MG 0.5% และ GMS 0.2% แต่มีค่า  $\tan \delta$  ต่ำแสดง ว่ากันกว่าวิธีที่เติม SSL 0.5% เจลมีความแข็งตัว เม็ดสตาร์ซมีความแข็งแรงมากที่สุด เช่นเดียวกับ การศึกษาของ Kaur และคณา (2005) ได้พบว่าเจลสตาร์ซที่เติม surfactants มีความแข็งแรงมากกว่า เจลสตาร์ซที่ไม่เติม surfactants โดยทดลองเติม GMS และ ไม่เติม GMS ลงในสตาร์ซมันฝรั่งและ สตาร์ซข้าวโพด พนว่าสตาร์ซที่เติม GMS มีค่า  $G'$  และ  $G''$  สูงกว่าและมีค่า  $\tan \delta$  ต่ำกว่าสตาร์ซที่ไม่ เติม GMS เนื่องจากการเติม GMS เม็ดสตาร์ซมีความแข็งแรงมากขึ้น โดยการเกิดสารประกอบ เชิงซ้อนทำให้การแตกของเม็ดสตาร์ซเกิดได้ช้าลง



รูปที่ 22  $G'$  ของเจลแป้งข้าวเจ้าที่อุณหภูมิ  $9^{\circ}\text{C}$  เป็นเวลา 10 ชั่วโมง



รูปที่ 23  $G''$  ของเจลแป้งข้าวเจ้าที่อุณหภูมิ  $9^{\circ}\text{C}$  เป็นเวลา 10 ชั่วโมง



รูปที่ 24 tan δ ของเจลเปี๊งข้าวเจ้าที่อุณหภูมิ 9 °C เป็นเวลา 10 ชั่วโมง

จากการศึกษาจนผลศาสตร์ของการเกิดรีໂโทรกราเดชันของเส้นก้าวเดียวโดยนำค่า G' ของเจลเปี๊งข้าวเจ้าที่เติม SSL 0.5%, MG 0.5% และ GMS 0.2% กับเจลเปี๊งข้าวเจ้าที่ไม่เติม surfactants วัดที่อุณหภูมิ 9 °C เป็นระยะเวลา 10 ชั่วโมง มา စื้อ กับสมการที่ 4 เพื่อหาค่า n และค่า k ได้ผลแสดงดังตารางที่ 19 พนว่าค่า n มีค่าเข้าใกล้ 1 ซึ่งแสดงว่าอัตราการเกิดปฏิกิริยา r ໂโทรกราเดชันเป็นสัดส่วนกับระยะเวลาการเก็บ(Fathat และคณะ, 2000) ค่า n ของเจลเปี๊งที่เติม surfactants และไม่เติม surfactants ไม่แตกต่างอย่างมีนัยสำคัญ ( $p>0.05$ ) ส่วนค่า k ซึ่งแสดงถึงอัตราการเกิด พล็อก(Fathat และคณะ, 2000)ก็ไม่แตกต่างอย่างมีนัยสำคัญ เช่นกัน แสดงว่าการเติม surfactants ไม่มีผลทางสถิติต่อการเกิดรีໂโทรกราเดชันของเปี๊งข้าวในระหว่างการเก็บที่ 9 °C เป็นเวลา 10 ชั่วโมง ซึ่งสอดคล้องกับผลการวัดถักยนต์เนื้อสัมผัสคัววิเครื่อง Texture Analyzer ที่พบว่าเส้นก้าวเดียวที่เติม surfactants มีค่าแรงกดสูงสุดและค่าระยะทาง ณ จุดที่เส้นก้าวเดียวขาด ไม่ต่างจากเส้นก้าวเดียวที่ไม่เติม surfactants ใน 24 ชั่วโมงแรกของการเก็บเส้นก้าวเดียวที่ 9 °C

ตารางที่ 19 แสดง Avrami Exponent (n) และ เวลาคงที่ (k, วินาที) ของเจลเป็นข้าว

parameter	control	SSL 0.5%	MG 0.5%	GMS 0.2%
n	$0.87^{\pm}0.17$	$0.89^{\pm}0.01$	$0.87^{\pm}0.03$	$0.85^{\pm}0.02$
k	$0.0295^{\pm}0.0012$	$0.0287^{\pm}0.0001$	$0.0331^{\pm}0.0039$	$0.0331^{\pm}0.0020$

หมายเหตุ  $\pm$  คือ ส่วนเบี่ยงเบนมาตรฐาน

ตัวอักษรตัวเด็กแสดงความแตกต่างตามแนวโน้ม ( $p \leq 0.05$ )

## บทที่ ๕

### สรุปผลการทดลอง

#### ๕.๑ ผลของอุณหภูมิและเวลาในการเก็บรักษาเดชันต์คุณภาพของเส้นก๋วยเตี๋ยว

ระยะเวลาและอุณหภูมิในการเก็บน้ำผลต่อลักษณะเนื้อสัมผัส ค่าเอนทัลปีของการเก็บรักษาเดชันต์คุณภาพของเส้นก๋วยเตี๋ยว เมื่อกีบรักษาที่อุณหภูมิ  $30^{\circ}\text{C}$  และ  $40^{\circ}\text{C}$  การเก็บรักษาเดชันต์คุณภาพได้อ่ายช้าๆ ก๋วยเตี๋ยวเก็บรักษาเดชันต์คุณภาพเมื่อกีบที่อุณหภูมิต่ำ ( $9^{\circ}\text{C}$ ) และเก็บรักษาเดชันต์คุณภาพได้มากขึ้นตามระยะเวลาเก็บ

#### ๕.๒ ผลของชนิดและปริมาณสาร surfactant ต่อการเก็บรักษาเดชันต์คุณภาพของเส้นก๋วยเตี๋ยว

การเติม surfactants ช่วยปรับปรุงคุณภาพด้านลักษณะเนื้อสัมผัสของเส้นก๋วยเตี๋ยวที่เก็บที่อุณหภูมิต่ำได้ โดย surfactants ช่วยลดการเก็บรักษาเดชันต์คุณภาพของเส้นก๋วยเตี๋ยว โดย surfactant จะเกิดสารประกอนเชิงซ้อนกับอะโนโนไลต์ในเจลสตาร์ชทำให้เกิดเป็นโครงสร้างที่แข็งแรงลดการเคลื่อนที่ของพอดิเมอร์สตาร์ช ชนิดและปริมาณของ surfactants มีผลต่อการลดการเก็บรักษาเดชันต์คุณภาพ โดยการเติม SSL ที่ระดับ 0.5% ลดการเก็บรักษาเดชันต์คุณภาพที่สุด รองลงมาคือ GMS ที่ระดับ 0.2% และ MG ที่ระดับ 0.5% ตามลำดับ

## บรรณาธิการ

กล้ามวงศ์ ศรีรอด และ เกื้อกูล ปิยะชนกวงศ์. 2546. เทคโนโลยีของเปี๊ง พิมพ์ครั้งที่ 3.

สำนักพิมพ์มหาวิทยาลัยเกษตรศาสตร์, กรุงเทพฯ. 303n.

คำรับ สมควรธน. 2546. ผลของการเจลต้านเชื้อและริโตรการเดชันต่อคุณภาพของนม  
ของเคี้ยวจากข้าว. วิทยานิพนธ์ปริญญาโท. มหาวิทยาลัยเกษตรศาสตร์, กรุงเทพฯ. 85n.

งานชื่น คงเสรี. 2529. คุณภาพทางเคมีของข้าว ศูนย์วิจัยข้าวปทุมธานี สถาบันข้าว. กรมวิชาการ  
เกษตร กระทรวงเกษตรและสหกรณ์, กรุงเทพฯ. 5 n. (โรนีวา)

งานชื่น คงเสรี. 2536. คุณภาพเม็ดถุงทางเคมี, n.54-70. ในเอกสารประกอบการบรรยายการ  
ฝึกอบรมหลักสูตรวิทยาการหลังการเก็บเกี่ยว ณ ศูนย์วิจัยข้าวพัทลุง. สถาบันวิจัยข้าว กรม  
วิชาการเกษตร กระทรวงเกษตรและสหกรณ์, กรุงเทพฯ.

งานชื่น คงเสรี. 2541. ข้าวที่เหมาะสมสำหรับการแปรรูปก้าวเดียวและการตรวจสอบคุณภาพ, n.  
14-32. ในเอกสารประกอบการบรรยายโครงการฝึกอบรมเรื่องการพัฒนาและยกระดับ  
อุตสาหกรรมก้าวเดียวและขนาดจิ๋น โดยใช้เทคโนโลยีสะอาด ณ โรงแรมมารวยการ์เดนท์ ဂ.  
พหลโยธิน กรุงเทพฯ วันที่ 26-28 มีนาคม 2541. สถาบันสิ่งแวดล้อมไทยและการ  
ส่งเสริมการใช้เทคโนโลยีสะอาดในอุตสาหกรรมไทย, กรุงเทพฯ.

บรรค์ นิยมวิทย์ และ อัญชันย์ อุทัยพัฒนาชีพ. 2528. วิทยาศาสตร์การประกอบอาหาร.

ภาควิชาคหกรรมศาสตร์ มหาวิทยาลัยเกษตรศาสตร์, กรุงเทพฯ . 441 n.

บรรค์ นิยมวิทย์. 2538. ธัญชาติและพืชหัว. สำนักพิมพ์มหาวิทยาลัยเกษตรศาสตร์, กรุงเทพฯ.  
235n.

นักญา ใจเรียมพันธ์. 2530. การเสริมโปรดตินในเส้นก้าวเดียวคัววัยเปลี่ยนถัวเหลืองสกัดไขมัน.

วิทยานิพนธ์ปริญญาโท. มหาวิทยาลัยเกษตรศาสตร์, กรุงเทพฯ. 92 n.

พิมพ์เพ็ญ ติรพ, นฤคุณ บุญหลง, งามนชื่น คงเสรี และจินดา อุปคิดสสกุล. 2533. รายงาน  
ผลการวิจัยในการประชุมทางวิชาการ. มหาวิทยาลัยเกษตรศาสตร์, กรุงเทพฯ. 307n.

พิมพ์เพ็ญ ติรพ. 2533. ผลของการใช้แป้งมันสำปะหลังผสมแป้งข้าวเจ้าค่าคุณภาพเส้นก้าวเดียว.  
วิทยานิพนธ์ปริญญาโท. มหาวิทยาลัยเกษตรศาสตร์, กรุงเทพฯ. 102 n.

แม่น ออมสีทธิ์ และ ออมร เพชรส. 2534. หลักการและเทคนิคการวิเคราะห์เชิงเครื่องมือ. ชวน  
พิมพ์, กรุงเทพฯ. 886 n.

วิรดา ดิษย์มพาล, ขวัญใจ เลาหะสวัสดิ์ และ บังอร พณิโภค. 2518. การศึกษาเรื่องการทำ  
ก้าวเดียว. กรมวิทยาศาสตร์, กรุงเทพฯ. 10 n.

วิภา สุโกรนະเมธากุล. 2541. คุณสมบัติของข้าวและการเปลี่ยนแปลงระหว่างกระบวนการผลิต ก้าวเดียวและเต็มหนึ่ง. น. 33-51. ในเอกสารประกอบการบรรยาย โครงการฝึกอบรมเรื่อง การพัฒนาและยกระดับอุตสาหกรรมก้าวเดียวและขนมจีน โดยใช้เทคโนโลยีสารสนเทศ โรงแรมนารายการ์เดนท์ ด.พหลโยธิน กรุงเทพฯ วันที่ 26-28 มีนาคม 2541. สถาบันส่งเสริมเทคโนโลยีสารสนเทศในอุตสาหกรรมไทย, กรุงเทพฯ.

สถาบันอาหาร. 2550. อุตสาหกรรมไทยข้อมูลสินค้า. [online]. เข้าถึงได้จาก :

<http://www.nfi.or.th/infocenter/th/thaifood/product.asp>.

สำนักงานมาตรฐานผลิตภัณฑ์อุตสาหกรรม. 2529. แฟ้มข้าวเจ้า. นอ.ก.638-2529, มาตรฐาน พลิตภัณฑ์อุตสาหกรรม, กรุงเทพฯ. 13 น.

สำนักงานมาตรฐานผลิตภัณฑ์อุตสาหกรรม. 2531. ก้าวเดียวกึ่งสำเร็จรูป. นอ.ก. 832-2531, มาตรฐานผลิตภัณฑ์อุตสาหกรรม, กรุงเทพฯ. 15 น.

สำนักงานมาตรฐานผลิตภัณฑ์อุตสาหกรรม. 2533. ก้าวเดียว. นอ.ก. 959-2533, มาตรฐาน พลิตภัณฑ์อุตสาหกรรม, กรุงเทพฯ. 12 น.

เสนอ ร่วมจิต. 2522 ศึกษาคุณสมบัติทางกายภาพและเคมีทางประการของข้าวเจ้าพันธุ์ต่างๆ ที่มี ผลต่อถักชัยและเต็มก้าวเดียว. วิทยานิพนธ์ปริญญาโท. มหาวิทยาลัยเกษตรศาสตร์, กรุงเทพฯ. 129น.

อรพรรณ กัดปนาญห์. 2547. การปรับปรุงคุณภาพก้าวเดียวพร้อมบริโภคในบรรจุภัณฑ์ปีกสนิท ผ่านกระบวนการพาสเจอไรเซชัน. วิทยานิพนธ์ปริญญาโท. มหาวิทยาลัยเกษตรศาสตร์, กรุงเทพฯ. 181น.

อรพรรณ เคหสุขเจริญ. 2529. คุณสมบัติบางประการในการนำไปใช้ประโยชน์ของแป้งค่างๆ. วิทยานิพนธ์ปริญญาโท. มหาวิทยาลัยเกษตรศาสตร์, กรุงเทพฯ. 120น.

อรอนงค์ นัยวิกุล. 2547. ข้าว:วิทยาศาสตร์และเทคโนโลยี. สำนักพิมพ์มหาวิทยาลัยเกษตรศาสตร์. กรุงเทพฯ. 366น.

อรอนงค์ นัยวิกุล. 2542. พลิตภัณฑ์ข้าวไทย: จักษุคดีปัจจุบันสู่อนาคต. ใน เอกสาร ประกอบการบรรยาย สำมนวนิชาการ โครงการสมองไอล์ฟลับ สาขาอุตสาหกรรมเกษตร ประจำปี 2542. สถาบันผลิตผลเกษตรและอุตสาหกรรมเกษตร มหาวิทยาลัยเกษตรศาสตร์, สมาคมวิทยาศาสตร์การเกษตรแห่งประเทศไทยในพระบรมราชูปถัมภ์ และโครงการ สมองไอล์ฟลับสาขาอุตสาหกรรมการเกษตร วันที่ 6-7 กรกฎาคม 2542 ณ หอประชุมใหญ่ มหาวิทยาลัยเกษตรศาสตร์ วิทยาเขตบางเขน, กรุงเทพฯ.

- Alonso, G.A. and Escrig, A.J. 1999. Assessment of some parameters involved in the gelatinization and retrogradation of starch. *Food Chem.* 55 : 181.
- American Institute of Baking Report. 1990. Evaluation of Sucrose Esters in Fozen Bread Dough. Manhattan, Kansas.
- Association of Official Analysis (A.O.A.C). 1995. Official Method of Analysis. 14<sup>th</sup> ed., Chemists, Virginina.
- Azizi, M.H. and Rao, G.V. 2005. Effect of storage of surfactant gels on the bread making quality of wheat flour. *Food Chem.* 89 : 133.
- Bettge, A.D., Giroux, M.J. and Morris, C.F., 2000, Susceptibility of waxy starch granules to mechanical damage. *Cereal Chem.* 77(6) : 750.
- Baik, M.Y., Kim, K.J., Cheon, K.C., Ha, Y.C. and Kim, W.S. 1997. Recrystallization kinetics and glass transition of rice starch gel system. *J. Agric Food Chem.* 45 : 4242.
- Breyer, L.M. and Walker, C.E. 1984. Comparative effects of various sucrose-fatty acid ester upon bread and cookies. *J. Food Sci.* 48 : 955.
- Chiang, P.Y. and Yeh, A.I. 2002. Effect of soaking on wet-milling of rice. *J. Cereal Sci.* 35 : 85.
- Chang, M.S. and Liu, L.C. 1991. Retrogradation of rice starches studied by differential scanning calorimetry and influence of sugar, NaCl and Lipid. *J. Food Sci.* 56 : 564.
- Collison, R. 1968. Swelling and gelation of starch, pp.168-193. In Radley, J.A., ed. Starch and it derivatives. Chapman and Hall Ltd., London.
- Conde-peti, B. and Escher, F. 1991. Rheologische untersuchvagen an starke-emulgator-system. Gertreide Mehl Und Brot. 45(5) :131.
- Crosbie, G.B. 1991. The relationship between starch swelling properties, paste viscosity and boiling noodle quality in wheat flours. *J. Cereal Sci.* 13 : 145.
- Del Vecchio, A.J. 1975. Emulsifiers and their use in soft wheat products. *Bakers Dig.* 49(4) : 28.
- Destefanis, V.A., Ponte, J.G., Chung, F.H. and Ruzza, N.A. 1977. Binding of crumb softeners and dough strengtheners during breadmaking. *Cereal Chem.* 54(1) : 13.

- Dragdorff, R.D. and Varriano-Marston, E. 1980. Bread staling: X-ray diffraction studies on bread supplemented with alpha-amylase from different sources. *Cereal Chem.* 57 : 310.
- Ebeler, S.E. and Walker, C.E. 1983. Wheat and composite flour chapatis: Effects of soy flour and sucrose-ester emulsifiers. *Cereal Chem.* 60 : 270.
- Edelmann, E.C., Cathcart , W.H. and Berquist C.B. 1950. The effect of various ingredients on the rate of firming of bread crumb in the presence of polyoxyethylene monostearate and glyceryl monostearate. *Cereal Chem.* 27 : 1.
- Eliasson, A.C. 1983. Differential scanning calorimetry studies on wheat starch-gluten mixtures. II. Effect of gluten and sodium stearoyl lactylate on starch crystallization during aging of wheat starch gel. *J. Cereal Sci.* 1 : 207.
- Eliasson, A.C. and Gudmundsson, M. 1996. Starch: physicochemical and function aspects, pp. 431-503. In Eliasson, A.C., ed. *Carbohydrate in Food*. Marcel Dekker, Inc., New York.
- Eerlingen, R.C., Crombez, M. and Delcour, J.A. 1993. Enzyme resistance starch. I. Quantitation and qualitative influence of incubation time and temperature of autoclaved starch on resistant starch formation. *Cereal Chem.* 70 : 339.
- Faculty of Agricultural Science, UBC. 2007. Water in food systems/Question 5 : Bread staling. [online]. Available : <http://www.land food .ubc.ca/courses/fnh/301/water/waterq5.htm>
- Farhat, I.A., Blanshard, J.M.V. and Mitchell, J.R. 2000. The retrogradation of waxy maize starch extrudates: Effects of storage temperature and water content. *Biopolymers.* 53:411.
- Farhat, I.A. and Blanshard, J.M.V. 2001. Modeling the kinetics of starch retrogradation, pp. 163-172. In Chinachoti, P. and Vodovotz, J., ed. *Bread Staling*. CRC Press LTC.
- Feldberg, C. 1969. Extruded starch-based snakes. *Cereal Sci Tod.* 4 : 211.
- Field, S.Q. 2003. Ingredients: What's in the Stuff We Buy. [online]. Available : <http://www.sci-toys.com/.../glycerol-monostearate.html> and <http://www.sci-toys.com/.../lecithin.html>.
- Finey, K.F. and Shogren, M.D. 1974. A sugar-free fomular for high-protein breads. *Cereal Sci Tod.* 19 : 396

- Forssell, P. Shamekh, S., Harkonen, H. and Poutanen, K. 1998. Effects of native and enzymatically hydrolysed soya and oat lecithins in starch phase transitions and bread baking. *J. Sci Food Agric.* 76 : 31.
- Ghiasi, K., Hoseneny, R.C. and Marston, E.V. 1982. Gelatinization of wheat starch III. Differential scanning calorimetry and light microscope. *Cereal Chem.* 58 : 258.
- Gray, J.A. and J.N. Bemiller. 2003. Bread staling: Molecular basis and control. *Food Technol.* 2 : 1.
- Godet, M.C., Bouchet, B., Colonna, P., Gallant, D.J. and Buleon, A. 1993. Crystalline amylase fatty acid complexes: morphology and crystal thickness. *J. Food Sci.* 61 : 1196.
- Gudmundsson, M. 1994. Retrogradation of starch and the role of its components. *Thermochimica Acta.* 246 : 329.
- Gujral, H. and Pathak, A. 2002. Effect of composite flour and additives on the texture of chapatti. *J. Food Eng.* 55 : 173.
- Inglett, E.G., Peterson, C.S., Carriere, J.C. and Maneepun, S. 2005. Rheological, textural and sensory properties of Asian noodles containing an oat cereal hydrocolloid. *Food Chem.* 90 : 1.
- International Rice Research Institute. 1971. Annual Report Intern. Rice Res. Ins., Los Banos, Laguna Philippines. 56 pp.
- Jacobson, M.R. and Bemiller, J.N. 1998. Method for determining the rate and extent of accelerated starch retrogradation. *Cereal Chem.* 75(1) : 22.
- Jane, J., Shen L., Chen J., Kasemsuwan, T. and Nip, W.K. 1992. Physical and chemical studies of taro starches and flours. *Cereal Chem.* 69 : 528.
- Jankowski, T. and Rha, C.K. 1986. Retrogradation of starch in cooked wheat. *Starch/stärk.* 38(1) : 6.
- Jankowski, T. 1992. Influence of starch retrograation on the texture of cooked potato tuber. *J. Food Sci and Technol.* 27 : 637.
- Joensson, T. and Toernase, H. 1987. The effect of selected surfactants on bread crumb softness and its measurement. *Cereal Foods World.* 32(7) : 482.

- Juliano, B.O., Onate, L.U. and Del Mundo, A.M. 1965. Relation of starch composition, protein content and gelatinization temperature to cooking and eating quality of milled rice. *Food Technol.* 19 : 1006.
- Juliano, B.O. and Hicks, P.A. 1996. Rice functional properties and rice food products. *Food Reviews International.* (12) : 71
- Juliano, B.O., Perdon, A.A., Perez, C.M. and Cagampang, C.B. 1974. Molecular and gel properties of starch and texture of rice products. *J. Food Sci and Technol.* 1(3) : 120.
- Juliano, B.O. and Villareal, C.P. 1993. *Grain Quality Evaluation of Word Rice.* International Rice Research Institute, Manila. 205 pp.
- Karim, A.A., Norziah, M.H. and Seow, C.C. 2000. Method for the study of starch retrogradation. *Food Chem.* 71 : 9.
- Kaur, K. and Singh, N. 2000. Amylose-lipid complex formation during cooking of rice flour. *Food Chem.* 71 : 51.
- Kaur, L., Singh, J. and Singh, N. 2005. Effect of glycerol monostearate on the physico-chemical, thermal, rheological and noodle making properties of corn and potato starches. *Food Hydrocolloid.* 19 : 839.
- Kerr, W.L., Ward, C.D.W., McWatters, K.H. and Resurreccion, A.V.A. 2000. Effect of milling and particle size on functionality and physicochemical properties of cowpea flour. *Cereal Chem.* 77: 2 . 213.
- Kim, C.S. and Walker, C.E. 1992. Effect of sugar and emulsifiers on starch gelatinization evaluated by differential scanning calorimeter. *Cereal Chem.* 62(2) : 212.
- Kim, J.O., Kim, W.S. and Shin, M.S.K. 1997. A comparative study on retrogradation of rice starch gels by DSC, X-ray and  $\alpha$ -amylase methods. *Starch/Stärk.* 49(2) : 71.
- Knightly, W.H. 1968. The role of surfactants in baked foods, pp. 131-157. In Brown, S.S., Lavery, M., Morton, I.D. and Wren, J.J., ed. *Surfactant- active lipid in foods.* Society of chemical Industry, Inc., London.

- Knightly, W.H. 1977. The Staling of Bread. *Bakers Digest.* 52-56, 144-149 pp.
- Knightly, W.H. 1996. Surface active Lipid in Foods. Society of Chemical Industry , Inc., London. 135pp.
- Krog, N. And Jensen, B.N. 1970. Interaction of monoglyceride in different physical states with amylase and their anti-firming effects in bread. *J. Food Technol.* 5 : 77.
- Krog, N.J. 1979. Dynamic and unique monoglycerides. *Cereal Foods World.* 24(1) : 10.
- Krog, N. 1981. Theoretical aspects of surfactants in relation to their use in breadmaking. *Cereal Chem.* 58(3) : 158.
- Krog, N., Olesen, S.K., Toernaes, H. and Joensson, T. 1989. Retrogradation of the starch fraction in wheat bread. *Cereal Foods Wold.* 34(3) : 281.
- Krog, N.J. 1990. Food emulsifiers and their chemical and physical properties, pp.129-147. In Larsson, K. and Friberg S., ed. *Food Emulsions.* Marcel Dekker, Inc., New York.
- Labell, F. 1983. Dough conditioner adds to volume of freestanding breads. *Food Process.* 44(3) : 34.
- Labuza, T.P. 1982. *Shelf-life Dating of Foods.* Food & Nutr. Press, Inc., Westport, CT.
- Lagendijk, J. and Pennings, H.J. 1970. Relation between complex formation of starch with monoglycerides and the firmness of bread. *Cereal Sci Tod.* 15 : 354
- Leach, H.W. 1965. Gelatinization of starch, pp.59-173. In Whistler, R.L. and Paschall, E.F., ed. *Starch Chemistry and Technology.* Academic Press, New York.
- Lii, Y.C., Tsai, M.L. and Seng, K.H. 1996. Effects of content or the rheological property of rice starch. *Cereal Chem.* 73 : 415.
- Lii, Y.C., Lai, V.M.F. and Shen, M.C. 2004. Changes in retrogradation properties of rice starches with amylase content and molecular property. *Cereal Chem.* 81 : 392.
- Lin, Y., Yeh, A. and Lii, C. 2001. Correlation between starch retrogradation and water mobility as determined by Differential Scanning Calorimetry (DSC) and Nuclear Magnetic Resonance (NMR). *Cereal Chem.* 78(6) : 647.

- Lopez, P.O. and Bello-Perez, L.A. 1994. Amylopectin : structural, gelatinization and retrogradation studies. *Food Chem.* 50 : 411.
- Lorenz, K. 1983. Diacetyl tartaric acid ester of monoglycerides (DATEM) as emulsifiers in bread and buns. *Bakers Dig.* 13 : 6.
- Lu, J.T. and Jane, J.L. 1997. Temperature effect on retrogradation rate and crystalline structure of amylase. *Carbohydr Polym.* 33 : 19-29.
- Maga, J.A. 1975. Bread staling. *Food Technol.* 5 : 443.
- Manley, D. 1991. *Technology of Biscuits, Cracker and Cookies.* Ellis Horwook, New York. 476pp.
- Miles, M.J., Morris offord , V.J., Orford, P.D. and Sim, S.G. 1985.The roles of amylase and amylopectin in the galation and retrogradation of starch. *Carbohydrate Res.* 135 : 257.
- Mikus, F.F., Hickson, R.M. and Rundle, R.E. 1946. The complexes of fatty acids with amylase. *J. Am Chem Soc.* 68 : 11115.
- Moffatt, G.W. Pearsall, W.P. and Wulff, J. 1964. *The Structure and Properties of Materials.* Volume 1. Structure. John Wiley & Sons., U.S.A
- Mohamed, A.A. and Duartc, P.R. 2003. The effect of mixing and wheat protein /gluten on the gelatinization of wheat starch. *Food Chem.* 81 : 533.
- Moorthy, S.N. 1985. Effect of different type of surfactants on cassava starch properties. *J. Agric Food Chem.* 33 : 1227.
- Morad, M.M and D' Appolonia, B.L. 1980. Effect of surfactants and baking procedure on total water-soluble starch in bread crumb. *Cereal Chem.* 57 : 141.
- Morris, J.V. 1990. Starch gelation and retrogradation. *J. Trends Food Sci.* 1 : 2.
- Niihara, R. and Yonezawa, D. 1990. Change in lipid composition during Yaku and its effect on texture of cooked somen (Studies on Yaku phenomenon of Tenobe-somen). *Nippon Shokuhin Kogyo Gakkaishi.* 37 : 779.

Oates, C.G. 1996. Physical Modification of Starch," In Advanced Post Academic Course on Tapioca Starch Technology. AIT Center., Bangkok.

Osman, E.M., Leith, S.J. and Fle, M. 1961. Complexes of amylase with surfactant. Cereal Chem. 38 : 449.

Ott, M. and Hester, E.E. 1965. Gel formation as related to concentration of amylase and degree of amylase and degree of starch swelling. Cereal Chem, 42: 476.

Perdon, A.A., Siebenmorgen, T.J., Buescher, R.W. and Gbur, E.E. 1999. Starch retrogradation and texture of cooked milled rice during storage. J. Food Sci. 64(5) : 828.

Perera, C. and Hoover, R. 1997. The effect of hydroxypropylation on the structure and physicochemical properties of native, defatted and heat-moisture treated potato starches. Food Res Int. 30 : 235.

Perez, C.M. 1979. Gel consistency and viscosity of rice. In Workshop on chemical aspects of rice grain quality. Los Banos, International Rice Research Institute, Phillipines.

Phillips, O.G. and Williams, P.A. 2000. Handbook of Hydrocolloids. Woodhead Publishish Limited, New York.

Pomeranz, Y. 1985. Functional properties of food components. Academic Press. Inc., New York.

Pulkki, P. 1938. Particles size in relation to flour characteristics and starch cell of wheat. Cereal Chem. 15(11) : 749.

Putaux, L.J., Bulon, A. and Chanzy, H. 2000. Network formation in dilute amylose and amylopectin studied by TEM. Macromolecular. 30 : 6416.

Ribotta, P.D., Cuffini, S., Leon, A.E. and Anon, M.C. 2004. The staling of bread : an X-ray diffraction study. Eur Food Res Technol. 218 : 219.

- Riisom, T., Krog, N. and Eriksen, J. 1984. Amylose complexing capacities of cis and trans unsaturated monoglycerides in relation to their functionality in bread. *J. Cereal Sci.*, 2 : 105
- Ring, S. R., Colonna, P., l'Anson, K.J., Kalichevsky, M. T., Miles, M.J., Morris, V.J. and Orford, P.D. 1987. The gelation and crystallization of amylopectin. *Carbohydr Res.* 162 : 277.
- Rho, K.L., Chung, O.K. and Seib, P.A. 1989. Noodle VIII. The effect of wheat flour lipid, gluten and several starches and surfactants on the quality of oriental dry noodles. *Cereal Chem.* 66 : 276.
- Roach, R.R. and Hoseney, R.C. 1995. Effect of certain surfactants on the starch in bread. *Cereal Chem.* 72(6) : 578.
- Rogers, D.E. and Hoseney, R.C. 1983. Breadmaking properties of DATEM. *Bakers Dig.* 57 :12.
- Russell, P.L. 1983. A kinetic study of bread staling by differential scanning calorimetry and compressibility measurement. The effect of added monoglyceride. *J. Cereal Sci.* 1 : 297.
- Sasaki, T. and Matsuki, J. 1998. Effect of wheat starch structure on swelling power. *Cereal Chem.* 75 : 524.
- Sasaki, T. Yasui and Matsuki, J. 2000. Effect of amylose content on gelatinization, retrogradation, and pasting properties of starches from waxy and non-waxy wheat and their FI seed. *Cereal Chem.* 77: 58.
- Schoch, T.J. and Maywald, F.C. 1968. Preparation and properties o various legume starch. *Cereal Chem.* 45: 564.
- Seow, C.C. and Thevamalar, K. 1988. Problem associated with tradition Malaysian starch-based intermediate moisture foods, pp.233-252. In Seow, C.C., ed. *Food Preservation by Moisture Control*. Elsevier Applied Science, London.

- Sievert, D., Czuchajowska, Z. and Pomeranz, Y. 1991. Enzyme-resistant starch. III. X-ray diffraction of autoclaved amylo maize VII starch and enzyme-resistant starch residues. *Cereal Chem.* 68(1) : 86.
- Siegel, A. 1974. Development acceptability and nutrition evaluation of new high protein rice based food for Thai children. Ph.D.thesis. Kansas State University, Kansas.
- Singh, J., Singh, N. and Sexena, S.K. 2002. Effect of fatty acids on the rheological properties of corn and potato starch. *J. Food Eng.* 52: 9.
- Singh, N., Sandhu, K.S. and Kaur, M. 2004. Characterization of starches separated from Indian chickpea (*Cicer arietinum*) cultivars. *J. Food Eng.* 63(4) : 441.
- Siswoyo, A.T. and Morita N. 2003. Physicochemical studies of defatted wheat starch complexed with mono and diacyl-sn-glycerophosphatidyl-choline of vary fatty acid chain lengths. *Food Res Int.* 36 :729.
- Shi, Y.C. and Seib, P.A. 1992. The structure of flour waxy starches related to gelatinization and retrogradation. *Carbohydr Res.* 227: 131.
- Shi, Y.C. and Seib, P.A. 1995. Fine structure of maize starches from four *wx*-containing genotypes of the W64A inbread line in relation to gelatinization and retrogradation. *Carbohydr Polym.* 26(2) : 141.
- Skovholt, O. and Dowdl, R.L. 1950. Changes in the rate of firmness development in bread at different seasons and with the use of emulsifiers. *Cereal Chem.* 27 : 26
- Slade, L. and Levine, H. 1991. Beyond water activity : recent advance based on and alternative approach to the assessment of food quality and safety. *Crit Rev Food Sci Nutr.* 30 : 116.
- Smewing, J. 1999. Hydrocolloids. pp. 282-303. In Rosenthal, A.J., ed. *Food Texture : Measurement and Perception*. Aspen Publishers, Inc, UK.
- Stampfli, L. and Nersten, B. 1995. Emulsifiers in bread making. *Food Chem.* 52 :353.
- Stauffer, C.E. 1996. Fat and Oil. American Association of Cereal Chemists, St. Paul, MN.

- Stutz, R.L., Del Vecchhio, A.J. and Tenney, R.J. 1973. The role of emulsifiers and dough conditions in foods. *Food Pro Dev.* October : 32
- Swinkels, J.J.M. 1985. *Starch Conversion Technology*. Marcel Dekker, Inc., New York.
- Takahashi, S. and Seib, P.A. 1988. Paste and gel properties of prime corn and wheat starches with and without native lipid. *Cereal Chem.* 65 : 474.
- Tako, M. and Hizukuri, S. 2002. Gelatinization mechanism of potato starch. *Carbohydr Polym.* 48 : 397.
- Tamstorf, S. 1983. Emulsifiers for bakery and starch product. *Grindsted Technical Paper, TP 9-1e.*
- Tester, R.F. and Morrison, W.R. 1990. Swelling and gelatinization of cereal starch, I. Effect of amylopectin, amylase and lipid. *Cereal Chem.* 67 : 551.
- Toufeili, I., Shadarevian, S., Artinam, T. and Tannous R. 1995. Effect of shortening and surfactants on selected chemical/physicochemical parameters and sensory quality of Arabic bread. *Food Chem.* 53 : 253.
- Vandepitte, E.G., Vermeylen, R., Geeroms, J. and Delcour, J.A. 2003. Rice starch III structure aspects provide insight in amylopectin retrogradation property and gel texture. *J. cereal Sci.* 38 : 61.
- Yamazaki, K., Nakazato, T. and Kosegawa, T. 1971. Cooking quality of rice flour II. Experiment on butter cakes. *Nihon Shokunin Kogyo Gakkai-Shi.* 18(11) : 512.
- Yeh, A.I., Hsiu, W.H. and Shen, T.S. 1992. Moisture diffusion and gelatinization in extruded rice Noodles. *Food Extrusion Science and Technology*. Marcel Dekker Inc., New York.
- Yoenyongbuddhagal, S. and Noomhorm, A. 2002. Effect of physical properties of high-amylose Thai rice flour on vermicelli quality. *Cereal Chem.* 79(4) : 481.
- Yuan, C.R., Thompson, D.B. and Boyer, C.D. 1993. Fine structure of amylopectin in relation to gelatinization and retrogradation behavior of maize starch from three *wx*-containing genotype in two in bread line. *Cereal Chem.* 70 : 81.

- Zhou, Z., Robards, K., Helliwell, S. and Blanchard, C. 2007. Effect of the addition of fatty acids on rice starch properties. *Food Res Inter.* 40 : 209.
- Zobel, H.F. 1973. A review of bread staling. *Bakers Dig.* 47(5) : 53.
- Zobel, H.F., Yong, S.N. and Rocca, L.A. 1988. Starch gelatinization: an X-ray diffraction study. *Cereal Chem.* 65 : 443

## ภาคผนวก ก

วิธีวิเคราะห์คุณสมบัติของแบ่งข้าวเจ้า

## วิธีการวิเคราะห์แบบทางเคมี

### 1. ปริมาณอะมิโนอีดี ตัดแปลงจาก Juliano (1971)

#### สารเคมี

1. เอทิลแอลกอฮอล์ 95%
2. สารละลายน้ำเดี่ยวน้ำยาครอกไซด์ เข้มข้น 1 โมลาร์
3. กรดอะซิติก 1 โมลาร์
4. สารละลายน้ำไอโซดีน เครื่องใช้ไอโซดีน 0.2 กรัม และโพแทสเซียมไออกไซด์ 2.0 กรัม ละลายในน้ำกลั่นให้มีปริมาตร 100 มิลลิลิตร
5. อะมิโนสบบริสุทธิ์จากสตาร์ชมันฝรั่ง

#### วิธีวิเคราะห์

1. เครื่องสารละลายน้ำเดี่ยงตัวอย่างเป็นไห้ได้น้ำหนักที่แน่นอน (ทศนิยม 4 ตำแหน่ง) 0.1 กรัม (น้ำหนักแห้ง) ใส่ขวดปริมาตรขนาด 100 มิลลิลิตร เติมเอทิลแอลกอฮอล์ 95% ปริมาตร 1 มิลลิลิตร เข่าเบาๆ เติมสารละลายน้ำเดี่ยวน้ำยาครอกไซด์เข้มข้น 1 โมลาร์ ปริมาตร 1 มิลลิลิตร ต้มในน้ำเดือด 10 นาที เติมน้ำกลั่นให้ได้ปริมาตร 100 มิลลิลิตร เข่าให้สารละลายน้ำเข้ากันดี

2. ปีเพคสารละลายน้ำเดี่ยงที่เครื่องไคปริมาตร 5 มิลลิลิตร ลงในขวดปริมาตรขนาด 100 มิลลิลิตร เติมน้ำกลั่นประมาณ 70 มิลลิลิตร เติมกรดอะซิติกเข้มข้น 1 โมลาร์ ปริมาตร 1 มิลลิลิตร และสารละลายน้ำไอโซดีน 2 มิลลิลิตร เติมน้ำกลั่นให้ครบปริมาตร 100 มิลลิลิตร เข่าให้สารละลายน้ำเข้ากัน และตั้งทิ้งไว้ 20 นาที

3. ทำเช่นเดียวกันอีก แต่ไม่ใส่สารตัวอย่างเพื่อใช้เป็นแบล็ค วัดความเข้มสีของสารละลายน้ำเดี่ยงที่เครื่องสเปกโตร ไฟโตรมิเตอร์ วัดค่าการดูดกลืนแสงที่ 620 นาโนเมตร โดยปรับค่าสารละลายน้ำเดี่ยงเท่ากับศูนย์

4. เครื่องกราฟมาตรวัดฐานเช่นเดียวกับการเตรียมสารละลายน้ำเดี่ยงโดยอะมิโนสบบริสุทธิ์จากสตาร์ชมันฝรั่งให้ได้น้ำหนักที่แน่นอน (ทศนิยม 4 ตำแหน่ง) 0.04 กรัม ปีเพคสารละลายน้ำเดี่ยงอะมิโนอีดีที่เตรียมไว้ปริมาตร 1, 2, 3, 4 และ 5 มิลลิลิตร ใส่ขวดปริมาตรขนาด 100 มิลลิลิตร เติมน้ำกลั่นประมาณ 70 มิลลิลิตร เติมกรดอะซิติกเข้มข้น 1 โมลาร์ ปริมาตร 1 มิลลิลิตร และสารละลายน้ำไอโซดีน 2 มิลลิลิตร ปรับปริมาตรเป็น 100 มิลลิลิตร ด้วยน้ำกลั่นเข่าให้สารละลายน้ำเข้ากัน และตั้งทิ้งไว้ 20 นาที วัดค่าการดูดกลืนแสงที่ 620 นาโนเมตร และเขียนกราฟระหว่าง

ปริมาณอะมิโลส (กรัม/เป็นข้าว 100 กรัม หรืออะมิโลสบริสุทธิ์ 8%, 16%, 24%, 32% และ 40% กรัม/เป็นข้าว 100 กรัม หรือ อะมิโลสมันฝรั่งที่มีอะมิโลส 70% คิดเป็น 5.6%, 11.2%, 16.8%, 22.4% และ 28.0%) กับค่าการดูดกลืนแสง การเปลี่ยนค่าการดูดกลืนแสงเป็นปริมาณอะมิโลสโดยนำค่าการดูดกลืนแสงที่ปริมาณตัวอย่าง 0.100 กรัมของแต่ละตัวอย่างเทียบกับกราฟมาตรฐาน แล้วอ่านค่าเป็นร้อยละของอะมิโลสต่อเป็นข้าว 100 กรัม

## 2. การหาปริมาณความชื้น (A.O.A.C., 1995)

### วัสดุอุปกรณ์

1. ภาชนะใส่ตัวอย่าง (moisture can)
2. ตู้อบลมร้อน (hot air oven)
3. โดกันความชื้น (desicator)
4. เครื่องซึ่งไฟฟ้าที่นิยม 4 คำแห่งนั่ง

### วิธีการวิเคราะห์

1. อบภาชนะใส่ตัวอย่างพร้อมฝ่า ในตู้อบลมร้อน 130 °C นาน 2-3 ชั่วโมง นำออกจากตู้ใส่ไว้ในโดกันความชื้นจนกระทั้งอุณหภูมิของภาชนะถึงอุณหภูมิห้อง ชั่งน้ำหนัก
2. ทำเช่นเดียวกับข้อ 1 จนกระทั้งน้ำหนักของภาชนะใส่ตัวอย่างคงที่ (ผลต่างของน้ำหนักที่ชั่งทั้ง 2 ครั้ง ที่ติดต่อกันไม่เกิน 1-3 มิลลิกรัม)
3. ชั่งน้ำหนักตัวอย่างให้ได้น้ำหนักที่แน่นอน 1-3 กรัม ใส่ในภาชนะความชื้นที่ทราบน้ำหนักแล้ว
4. นำไปป้อนในตู้อบลมร้อนที่อุณหภูมิ 130 °C นาน 5-6 ชั่วโมง นำออกจากตู้อบลมร้อนไว้ในโดกันความชื้น จนกระทั้งอุณหภูมิของภาชนะถึงอุณหภูมิห้อง แล้วชั่งน้ำหนัก
5. อบซ้ำอีก 30 นาที ชั่งจนกระทั้งน้ำหนักที่ได้คงที่ แล้วนำมาคำนวณปริมาณความชื้นจากน้ำหนักที่หายไป

$$\text{ปริมาณความชื้น (ร้อยละของน้ำหนัก)} = (A/B) \times 100$$

เมื่อ A = น้ำหนักที่หายไป (กรัม)

B = เป็นน้ำหนักของตัวอย่างเริ่มต้น (กรัม)

### 3. ปริมาณเด้า (A.O.A.C., 1995)

#### วัสดุอุปกรณ์

1. เตาเผา (muffle furnace)
2. ถ้วยกระเบื้องเคลือบ (porcelain crucible)
3. โอดกันความชื้น (desicator)
4. เครื่องซับไฟฟ้าที่นิยม 4 คำแทนง

#### วิธีการวิเคราะห์

1. เพาถ้วยกระเบื้องเคลือบในเตาเผา ที่อุณหภูมิ 550-600 °C นาน 2- 3 ชั่วโมง แล้วนำออกไว้ในโอดกันความชื้นจนกระทั้งอุณหภูมิของภาชนะถึงอุณหภูมิห้อง แล้วซับน้ำหนัก
2. ทำเช่นเดียวกับข้อ 1 จนกระทั้งน้ำหนักถ้วยกระเบื้องเคลือบคงที่ (ผลต่างของน้ำหนักที่ซับ 2 ครั้ง ที่ติดต่อกันไม่เกิน 1-3 มิลลิกรัม)
3. ซับน้ำหนักตัวอย่างให้ได้น้ำหนักที่แน่นอน 1-2 กรัม ใส่ในถ้วยกระเบื้องเคลือบที่ทราบน้ำหนักแล้ว
4. นำไปเผาที่อุณหภูมิ 550 – 600 °C นาน 5-6 ชั่วโมง นำออกจากเตาไว้ในโอดกันความชื้นจนกระทั้งอุณหภูมิของภาชนะถึงอุณหภูมิห้อง และซับน้ำหนัก
5. อบช้าๆ 30 นาที ซับน้ำหนักจนกว่าได้น้ำหนักคงที่ แล้วคำนวณหาปริมาณเด้า

$$\text{ปริมาณเด้า} (\text{ร้อยละของน้ำหนัก}) = \frac{(W_2 - W_0) \times 100}{(W_1 - W_0)}$$

เมื่อ  $W_0$  = น้ำหนักของถ้วยกระเบื้องเคลือบที่อบแล้ว (กรัม)

$W_1$  = น้ำหนักของถ้วยกระเบื้องเคลือบและตัวอย่างก่อนเผา (กรัม)

$W_2$  = น้ำหนักของถ้วยกระเบื้องเคลือบและตัวอย่างหลังเผาจนได้น้ำหนักคงที่ (กรัม)

#### 4. ปริมาณไขมัน (A.O.A.C., 1995)

##### วัสดุอุปกรณ์

1. อุปกรณ์ชุดสกัดไขมัน (soxhlet apparatus)
2. Extraction cup
3. Thimble
4. โดกันความชื้น (desiccator)

##### สารเคมี

1. ปิโตรเลียมอีเทอร์ หรือ เอกเซน

##### วิธีการวิเคราะห์

1. ชั่งตัวอย่างที่บดละเอียด ( $W_1$ ) ลงในกระถางกรอง พับกระถางกรองห่อตัวอย่างให้เรียบร้อย ใส่ลงใน Thimble
2. ใส่ Thimble เข้าไปในเครื่อง Soxhlet ชั่งน้ำหนัก Extraction cup ( $W_2$ ) จากนั้นเติมปิโตรเลียมอีเทอร์หรือเอกเซนลงใน Extraction cup ประมาณ 25-30 มิลลิลิตร
3. ใส่ Extraction cup เข้าไปในเครื่อง Soxhlet ทำการ Boiling ตัวอย่าง 15 นาที
4. จากนั้น Rinsing ตัวอย่าง 30-40 นาที ระหว่างปิโตรเลียมอีเทอร์หรือเอกเซนออก
5. นำตัวอย่างจากเครื่อง Soxhlet นำไปอบที่อุณหภูมิ  $100^{\circ}\text{C}$  นาน 30 นาที
6. นำมาทิ้งให้เย็นในโดกันความชื้นจากนั้นชั่งน้ำหนักถ้วน ( $W_3$ )

$$\text{ปริมาณไขมัน} (\text{ร้อยละของน้ำหนัก}) = \frac{(W_2 - W_3) \times 100}{W_1}$$

เมื่อ  $W_1$  = น้ำหนักตัวอย่าง (กรัม)

$W_2$  = น้ำหนักของ Extraction cup ที่ทราบน้ำหนักที่แน่นอน (กรัม)

$W_3$  = น้ำหนักของ Extraction cup และตัวอย่างหลังอบจนได้น้ำหนักคงที่ (กรัม)

## 5. ปริมาณโปรตีน (A.O.A.C., 1995)

### วัสดุอุปกรณ์

1. อุปกรณ์เบื้องต้น (kjeldahl flask ขนาด 250-300 มิลลิลิตร และ heating mantle)
2. อุปกรณ์กลั่น โปรตีน (semi-microdistillation apparatus)
3. ขวดรูปชنمพ์ (erlenmeyer flask) ขนาด 250 มิลลิลิตร
4. ปีเป็ต (pipet) ขนาด 5 และ 10 มิลลิลิตร
5. บูเรต (buret) ขนาด 25 มิลลิลิตร
6. ลูกแก้ว (glass bead)
7. กระดาษกรอง

### สารเคมี

1. กรรมชัลฟ์ริกเข้มข้น
2. สารละลายน้ำเดี่ยวน้ำดี 35%
3. สารละลายน้ำดี 4%
4. สารละลายน้ำดี 0.1 นาโนมิลลิลิตร
5. คอปเปอร์ชัลเฟต
6. โปตัสเซียมชัลเฟต
7. อินซิเกเตอร์ผสมะหวังเมทิเดรด เมทิลีนบูล และ โนบิโนคริซอลกอริน

### วิธีการวิเคราะห์

1. ชั่งตัวอย่างประมาณ 1 กรัม ให้ได้น้ำหนักที่แน่นอนใส่ลงในหลอดเบื้องต้น ระวางอย่าให้ติดข้างหลอด
2. ใส่ตัวเร่งปฏิกิริยาซึ่งประกอบด้วยโปตัสเซียมชัลเฟต 10 กรัม และคอปเปอร์ชัลเฟต 0.5 กรัม รวมทั้งเม็ดลูกแก้วกันเคลือด และเติมกรรมชัลฟ์ริกประมาณ 20-25 มิลลิลิตร
3. นำหลอดเบื้องต้นเข้ากับชุดเครื่องย่อย ทำการย่อยจนกระทั่งได้สารละลายน้ำได้ ไว้ให้เย็น แล้วเติมน้ำกลั่น 60-75 มิลลิลิตร (หรือเติมเป็น 3 เท่าของปริมาณ)
4. นำหลอดเบื้องต้นเข้ากับชุดเครื่องกลั่น แล้วเติมสารละลายน้ำเดี่ยวน้ำดี 35% จนสารละลายน้ำในหลอดเบื้องต้นเปลี่ยนเป็นสีน้ำตาล

5. รองรับสิ่งกลั่นด้วยขาคูปช์ขนาด 250 มิลลิเมตร ที่บรรจุสารละลายกรดอริก ความเข้มข้น 4% จำนวน 25 มิลลิลิตร โดยกลั่นประมาณ 5 นาที

6. นำไปไกเทอร์ด้วยสารละลายกรดไฮโคลอริกมาตรฐาน 0.1 นอร์มัล สีของสารละลายจะเปลี่ยนจากสีเขียวไปเป็นสีม่วง (จุดยุติ) บันทึกปริมาณกรดที่ใช้ แล้วนำไปคำนวณหาร้อยละของไนโตรเจน

$$\text{ปริมาณไนโตรเจน (ร้อยละ)} = \frac{(A-B)N \times 14.007 \times F}{W}$$

A = ปริมาตรกรดที่ใช้โดยตรงกับตัวอย่าง (มิลลิลิตร)

B = ปริมาตรกรดที่ใช้โดยตรงกับ blank (มิลลิลิตร)

N = ความเข้มข้นของกรด (นอร์มัล)

F = แฟกเตอร์ (5.95)

W = น้ำหนักตัวอย่างเริ่มต้น (กรัม)

### วิธีวิเคราะห์ทางเคมีภysis

#### 1. ความคงตัวของเจล (Juliano และ Villareal, 1993)

##### วัสดุอุปกรณ์

1. เครื่องปั่นผสมของเหลว (vortex)
2. หม้อต้มน้ำ
3. เครื่องซั่ง
4. หลอดแก้วขนาด 16 X 150 มิลลิเมตร

##### สารเคมี

1. เอทานอล 95% (โดยปริมาตร) ที่มีไนโตรเจน 0.025%
2. โพดัลเซียนไฮดรอกไซด์ 0.20 นอร์มอล

##### วิธีวิเคราะห์

1. ซั่งแป้ง 1 มิลลิกรัม(น้ำหนักแห้ง)ใส่ในหลอดทดลอง

2. เติมออกาโนอล 95% ที่ละลายน้ำ 0.025% ปริมาณ 0.2 มิลลิลิตร เติมไปตั้งเชือยมไชครอกไซด์ 0.2 นาโนมอล ปริมาณ 2 มิลลิลิตร
3. ปั่นของเหลวในหลอดคุณาน 2-3 วินาที เพื่อให้แยกอยู่ตัว
4. ต้มหลอดแก้วในน้ำเดือคนาน 8 นาที นำขึ้นจากน้ำเดือด ปั่นบนเครื่องปั่นผสมของเหลวเพื่อให้น้ำเป็นสุกเข้ากันทั่วถึง
5. ทำให้เป็นสุกเย็น โดยใช้หลอดทดลองในน้ำแข็งเย็นจัดนาน 20 นาที
6. วางหลอดเป็นสุกในแนวนอนบนกระดาษกราฟที่มีช่องแบ่งละเอียดถึง 1 มิลลิเมตร วางไว้นาน 30 นาที อ่านระดับทางที่เป็นสุกให้ไป โดยเทียบกับตารางการแบ่งประเภทข้าว

### วิธีวิเคราะห์ทางกายภาพ

1. กำลังการพองตัว การละลาย (Yoenyongbuddhagal และ Noomhornm 2002)

#### วัสดุอุปกรณ์

1. เครื่องหมุนเหวี่ยง (centrifuge)
2. ตู้อบลมร้อน (hot air oven)
3. อ่างความคุณอุณหภูมิ (water bath)

#### วิธีการวิเคราะห์

1. ผสมตัวอย่างเป็นข้าว 0.4 กรัมน้ำหนักแห้งกับน้ำ 12.5 มิลลิลิตร ในหลอดเหวี่ยงที่ทราบน้ำหนักแล้ว
2. นำไปใส่อ่างความคุณอุณหภูมิ โดยให้ความร้อนที่อุณหภูมิ 55, 65, 75 และ 85 °C เป็นเวลา 30 นาที กวนตลอดเวลาอย่างให้เป็นตกละกอน
3. ทิ้งไว้ให้เย็นที่อุณหภูมิห้อง
4. นำไปเหวี่ยงที่ความเร็ว 1,000 รอบต่อนาที เป็นเวลา 15 นาที
5. แยกส่วนไส้ออกจากหลอดเหวี่ยง ใส่ลงใน moisture can ที่ทราบน้ำหนักแน่นอนแล้วนำไปอบที่อุณหภูมิ 130 °C จนน้ำหนักคงที่
6. ซึ่งน้ำหนักเพื่อหาระดับส่วนที่ละลายน้ำได้ เพื่อกำหนดหากความสามารถในการละลายเป็นค่าร้อยละการละลาย

7. นำผลต่ำกว่าที่มีเป็นที่ติดตะกอนอยู่มากซึ่งน้ำหนัก น้ำหนักที่ซึ่งได้ลบด้วยน้ำหนัก หลอดเทวีชจะเป็นน้ำหนักของเปรี้ยวที่พองตัว

$$\text{การละลาย (ร้อยละ)} = \frac{\text{น้ำหนักของส่วนที่ละลายได้หลังอบ (กรัม)}}{\text{น้ำหนักตัวอย่างเปรี้ยว (กรัม) น้ำหนักแห้ง}}$$

$$\text{กำลังการพองตัว} = \frac{\text{น้ำหนักเปรี้ยวที่พองตัว (กรัม)} \times 100}{\text{น้ำหนักตัวอย่างเปรี้ยว} \times (100 - \text{ร้อยละการละลาย})}$$

## 2 การทดสอบด้วย RVA (Azizi และ Rao, 2005)

### วัสดุอุปกรณ์

1. เครื่อง RVA พร้อมถ้วยอุ่มนิ่มเย็น (can) และพาย

### วิธีการวิเคราะห์

- นำ surfactants ทั้ง 3 ชนิด คือ MG ที่ระดับ 0.1%, 0.3% และ 0.5% SSL ที่ระดับ 0.3%, 0.5% และ GMS ที่ระดับ 0.08%, 0.2% และ 0.4% ของน้ำหนักเปรี้ยว ผสมกันน้ำเปรี้ยว โดยใช้เปรี้ยวเข้า 2.5 กรัม (น้ำหนักแห้ง) ในน้ำ 25 มิลลิลิตร ลงในถ้วยอุ่มนิ่มเย็นของเครื่อง RVA ใช้ใบพายเขย่าตัวอย่างในถ้วยอุ่มนิ่มเย็นทรงกระบอกขึ้นลง 10 ครั้ง เพื่อไม่ให้เป็นติดกัน ผิวน้ำหรือติดบนใบพาย
- ใส่ใบพายในถ้วยอุ่มนิ่มเย็นทรงกระบอกและรวมใบพายเข้ากับที่ยึด โดยให้ใบพายอยู่ กึ่งกลาง และเริ่มต้นการวิเคราะห์โดยกุมอเตอร์ของเครื่อง RVA ลง ใช้โปรแกรมของเครื่องวัด ความหนืดที่อุณหภูมิต่างๆ โดยเริ่มให้ความร้อนที่ 50 °C เป็นเวลา 1 นาที จากนั้นเพิ่มอุณหภูมิจาก 50-95 °C และให้อุณหภูมิคงที่ที่ 95 °C นาน 5 นาที จากนั้นลดอุณหภูมิลงเป็น 50 °C และให้ระบบมี อุณหภูมิคงที่ที่ 50 °C จนหยุดการทำงาน ความเร็วรอบในการวนของอเตอร์ 10 วินาทีแรกอยู่ที่ 960 รอบต่อนาที หลังจากนั้นลดมาอยู่ที่ 160 รอบต่อนาทีจนสิ้นสุดการทดลอง

- บันทึกค่าอุณหภูมิเริ่มเกิดความหนืด ความหนืดสูงสุด ความหนืดสุดท้าย breakdown และ setback เปรียบเทียบเปรี้ยวเข้ากันที่ไม่เติม surfactants กับเปรี้ยวเข้ากันที่เติม surfactants

**ภาคผนวก ฯ**

**การวิเคราะห์คุณภาพของเส้นกวยเตี๋ยว**

## วิธีวิเคราะห์ทางกายภาพ

### 1. การทดสอบคุณลักษณะทางเนื้อสัมผัสด้วยเครื่อง Texture Analyzer (Inglett และคณะ, 2005)

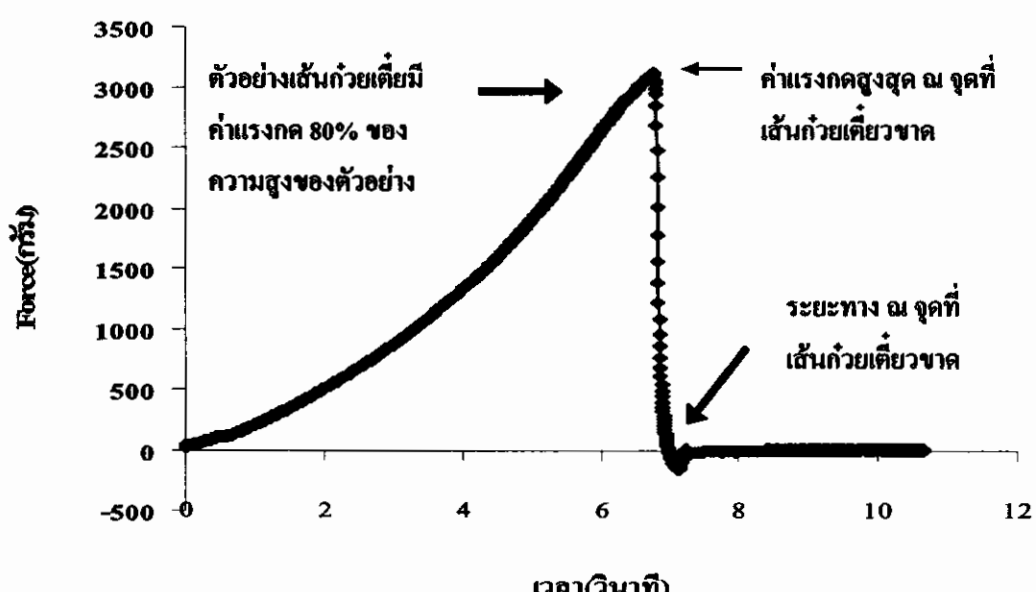
ทดสอบคุณลักษณะทางเนื้อสัมผัส ด้วยเครื่อง Texture Analyzer คัดแปลงจากวิธีของ Inglett และคณะ (2005) ใช้หัววัสดุปูทรงกระบอก ขนาดเส้นผ่าศูนย์กลาง 10 มิลลิเมตร (P/10) โดยใช้เส้นก่วงเดี่ยวที่มีความกว้าง 2.5 เซนติเมตร ยาว 5 เซนติเมตร หนา 0.5-0.7 มิลลิเมตร และวงช้อนจำนวน 10 เส้น กำหนดให้หัววัสดุคล่องบันเด็นก่วงเดี่ยวเป็นระยะทาง 80% ของความสูงตัวอย่าง บันทึกค่าแรงกดสูงสุดและระยะทาง ณ จุดที่เด็นก่วงเดี่ยวขาด

#### การตั้งค่าในการวัดก่วงเดี่ยว

Test Model : Measure Force in Compression

Test Option : Return to start

Parameter	Pretest speed	5.0 mm/s
	Test speed	1.0 mm/s
	Post test speed	10.0 mm/s
	Distance	80% strain



รูปที่ 25 ผลการทดสอบลักษณะเนื้อสัมผัสของเด็นก่วงเดี่ยวด้วยเครื่อง Texture Analyzer

**2. การทดสอบการเปลี่ยนแปลงเชิงความร้อนด้วยเครื่อง DSC (Perdon และคณะ, 1999)**

ทดสอบการเปลี่ยนแปลงเชิงความร้อนด้วยเครื่อง DSC โดยชั่งคัวอย่างส่วนก่อนเที่ยว 13-15 มิลลิกรัม ลงใน aluminum pan เพิ่มอุณหภูมิ 30–100 °C ลดอุณหภูมิจาก 100-30 °C และเพิ่มอุณหภูมิอีกครั้งจาก 30–100 °C ด้วยอัตราการเพิ่ม-ลดอุณหภูมิเป็น 10 °C/นาที subtract peak ระหว่างการให้ความร้อนครั้งแรกและให้ความร้อนครั้งที่สอง ใช้ pan เป็น reference บันทึกกราฟแสดงการเปลี่ยนแปลงพลังงานในระหว่างการลดอุณหภูมิ โครงสร้างผลึกของสตาร์ช บันทึกค่า  $\Delta H$ ,  $T_o$ ,  $T_p$  และ  $T_c$

**3. การทดสอบโครงสร้างภายในด้วยเครื่อง X-ray Diffraction (Shi และ Seib, 1992)**

ตรวจสอบโครงสร้างภายในของส่วนก่อนเที่ยว ด้วยเครื่อง X-ray Diffraction โดยกำหนดสภาวะการทดลอง ใช้เป้าหมายคือห้องແคงความต่างศักย์ไฟฟ้า 30 กิโล โวลต์ ใช้กระแสไฟฟ้า 40 มิลลิแอมป์ เริ่มสแกนมุมหักเหช่วง 3.00° ถึง 40.00° ด้วยอัตราเร็ว 0.01°/วินาที บันทึกรูปแบบการเดี่ยวแบบของรังสีเอกซ์ และคำนวณค่าร้อยละความเป็นผลึกชนิด B-type และ V-type

**4. การทดสอบคุณสมบัติทางกระแสวิทยาด้วยเครื่อง Rheometer**

ทดสอบคุณสมบัติทางกระแสวิทยาด้วยเครื่อง Rheometer เครื่องเจลแป้งด้วยเครื่อง RVA โดยนำน้ำเปลี่ยนที่ความเข้มข้น 30% ทึบแบบที่ไม่เติม surfactant และแบบที่เติม surfactant ในระดับที่เหมาะสม มาเพิ่มอุณหภูมิจาก 50-95 °C ด้วยอัตราเร็ว 12.5 °C/นาที คงไว้ที่ 95 °C เป็นเวลา 2 นาที ลดอุณหภูมิมาที่ 80 °C คงไว้ที่ 80 °C เป็นเวลา 2 นาที นำเจลแป้งที่ขังร้อนมาวัดค่า  $G'$  ทันที ด้วยเครื่อง Rheometer โดยใช้หัววัด pp25, 1 Hz, gap 2 mm., 0.01% strain ชี้งอยู่ในช่วง Linear region วัดที่อุณหภูมิ 9 °C เป็นเวลา 10 ชั่วโมง นำค่า  $G'$  ที่เวลาต่างๆ มาคำนวณอัตราการเกิดรีโทร-กราเดชันของเจลแป้งด้วยสมการ Avrami

ภาคผนวก ก

ผลทางสถิติ

ตารางภาคผนวกที่ 1. ผลวิเคราะห์ทางสถิติอิทธิพลของระยะเวลาและอุณหภูมิการเก็บต่อปริมาณ  
ความชื้นของเส้นก๋วยเตี๋ยว

**Effect of storage temperature and storage time on moisture properties of noodles.**

**The GLM Procedure**

**Class Level Information**

Class	Levels	Values
time	6	0 24 48 72 96 120
temperature	3	9 30 40

**Number of observations 36**

Source	DF	Squares	Mean Square	F Value	Pr > F
Model	17	29.71541800	1.74796576	25.41	<.0001
Error	18	1.23839100	0.06879950		
Corrected Total	35	30.95380900			

R-Square	Coeff Var	Root MSE	moisture Mean
0.959992	0.501442	0.262297	52.30850

Source	DF	Type III SS	Mean Square	F Value	Pr > F
time	5	19.82950100	3.96590020	57.64	<.0001
temp	2	6.75333050	3.37666525	49.08	<.0001
time*temp	10	3.13258650	0.31325865	4.55	0.0026

ตารางภาคผนวกที่ 2 ผลวิเคราะห์ทางสถิติอิทธิพลของระยะเวลาและอุณหภูมิการเก็บต่อลักษณะเนื้อสัมผัสของเส้นก๋วยเตี๋ยว  
ค่าแรงสูงสุด ณ จุดที่เส้นก๋วยเตี๋ยวขาด

**Effect of storage temperature and storage time on texture properties of noodles.**

**The GLM Procedure**

**Class Level Information**

Class	Levels	Values
time	6	0 24 48 72 96 120
temp	3	30 40 9
Number of observations		124

**Dependent Variable: force**

Source	Sum of					
	DF	Squares	Mean Square	F Value	Pr > F	
Model	17	1121661366	65980080	400.50	<.0001	
Error	106	17463075	164746			
Corrected Total	123	1139124441				

R-Square	Coeff Var	Root MSE	force Mean
0.984670	6.860754	405.8891	5916.101

Source	DF	Type III SS	Mean Square	F Value	Pr > F
time	5	219971829.0	43994365.8	267.04	<.0001
temp	2	696479991.5	348239995.7	2113.80	<.0001
time*temp	10	218766732.0	21876673.2	132.79	<.0001

## ระยะทางสูงสุด ณ ชุดที่เส้นก้าวเดียวขาด

Effect of storage temperature and storage time on texture properties of noodles.

### The GLM Procedure

#### Class Level Information

Class	Levels	Values
time	6	0 120 24 48 72 96
temp	3	30 40 9

Number of observations 126

### The GLM Procedure

#### Dependent Variable: distance

Source	Sum of					
	DF	Squares	Mean Square	F Value	Pr > F	
Model	17	357.1324962	21.0077939	221.89	<.0001	
Error	108	10.2249703	0.0946757			
Corrected Total	125	367.3574664				

R-Square	Coeff Var	Root MSE	distance Mean
0.972166	5.169495	0.307694	5.952111

Source	DF	Type III SS	Mean Square	F Value	Pr > F
time	5	22.8386260	4.5677252	48.25	<.0001
temp	2	277.6431953	138.8215977	1466.29	<.0001
time*temp	10	56.6506748	5.6650675	59.84	<.0001

ตารางภาคผนวกที่ 3 ผลวิเคราะห์ทางสถิติอิทธิพลของ surfactants ต่อความหนืดของแป้งข้าวเมื่อวัดด้วย RVA

#### Pasting Temperature

##### The GLM Procedure

###### Class Level Information

Class	Levels	Values
-------	--------	--------

type	10	ctr ssl0.3 ssl0.5 ssl0.7 gms0.2 gms0.4 gms0.08 mg0.1 mg0.3 mgo.5
------	----	--

Number of observations	30
------------------------	----

###### Dependent Variable: pasting temperature

###### Sum of

Source	DF	Squares	Mean Square	F Value	Pr > F
Model	9	33.56629667	3.72958852	11.50	<.0001
Error	20	6.48420000	0.32421000		
Corrected Total	29	40.05049667			

R-Square	Coeff Var	Root MSE	past Mean
----------	-----------	----------	-----------

0.838099	0.631325	0.569394	90.19033
----------	----------	----------	----------

Source	DF	Type III SS	Mean Square	F Value	Pr > F
--------	----	-------------	-------------	---------	--------

type	9	33.56629667	3.72958852	11.50	<.0001
------	---	-------------	------------	-------	--------

**Peak Time.****The GLM Procedure****Class Level Information**

Class	Levels	Values
-------	--------	--------

type	10	ctr ssl0.3 ssl0.5 ssl0.7 gms0.2 gms0.4 gms0.08 mg0.1 mg0.3 mgo.5
------	----	--

Number of observations	30
------------------------	----

**Dependent Variable: peak time**

Sum of					
Source	DF	Squares	Mean Square	F Value	Pr > F

Model	9	0.61814667	0.06868296	13.49	<.0001
Error	20	0.10180000	0.00509000		
Corrected Total	29	0.71994667			

R-Square	Coeff Var	Root MSE	peak Mean
0.858601	1.063041	0.071344	6.711333

Source	DF	Type III SS	Mean Square	F Value	Pr > F
type	9	0.61814667	0.06868296	13.49	<.0001

**Peak Viscosity .****The GLM Procedure****Class Level Information**

Class	Levels	Values
-------	--------	--------

type	10	ctr ssl0.3 ssl0.5 ssl0.7 gms0.2 gms0.4 gms0.08 mg0.1 mg0.3 mgo.5
------	----	--

Number of observations	30
------------------------	----

**Dependent Variable: peak viscosity**

Sum of						
Source	DF	Squares	Mean Square	F Value	Pr > F	

Model	9	2967.696550	329.744061	32.96	<.0001	
Error	20	200.111867	10.005593			
Corrected Total	29	3167.808417				

R-Square	Coeff Var	Root MSE	peak Mean
0.936830	1.539938	3.163162	205.4083

Source	DF	Type III SS	Mean Square	F Value	Pr > F
type	9	2967.696550	329.744061	32.96	<.0001

**Break Down.****The GLM Procedure****Class Level Information**

Class	Levels	Values
-------	--------	--------

type	10	ctr ssl0.3 ssl0.5 ssl0.7 gms0.2 gms0.4 gms0.08 mg0.1 mg0.3 mgo.5
------	----	--

**Number of observations** 30

**Dependent Variable:** **break down**

**Sum of**

Source	DF	Squares	Mean Square	F Value	Pr > F
Model	9	1966.927097	218.547455	21.92	<.0001
Error	20	199.379600	9.968980		
Corrected Total	29	2166.306697			

R-Square	Coeff Var	Root MSE	break Mean
0.907963	7.389058	3.157369	42.73033

Source	DF	Type III SS	Mean Square	F Value	Pr > F
type	9	1966.927097	218.547455	21.92	<.0001

**Final Viscosity.**

The GLM Procedure

Class Level Information

Class      Levels    Values

type            10      ctr ssl0.3 ssl0.5 ssl0.7 gms0.2 gms0.4 gms0.08 mg0.1 mg0.3 mgo.5

Number of observations    30

Dependent Variable: final viscosity

Sum of

Source	DF	Squares	Mean Square	F Value	Pr > F
Model	9	5051.851213	561.316801	9.57	<.0001
Error	20	1173.652933	58.682647		
Corrected Total	29	6225.504147			

R-Square    Coeff Var    Root MSE    final Mean

0.811477    2.540148    7.660460    301.5753

Source	DF	Type III SS	Mean Square	F Value	Pr > F
type	9	5051.851213	561.316801	9.57	<.0001

**Set back.**

**The GLM Procedure**

**Class Level Information**

Class Levels Values

type	10	ctr	ssl0.3	ssl0.5	ssl0.7	gms0.2	gms0.4	gms0.08	mg0.1	mg0.3	mgo.5
------	----	-----	--------	--------	--------	--------	--------	---------	-------	-------	-------

Number of observations 30

**Dependent Variable: set back**

Sum of

Source	DF	Squares	Mean Square	F Value	Pr > F
Model	9	3180.820347	353.424483	9.26	<.0001
Error	20	763.045600	38.152280		

Corrected Total 29 3943.865947

R-Square	Coeff Var	Root MSE	setb Mean
0.806523	4.458097	6.176753	138.5513

Source	DF	Type III SS	Mean Square	F Value	Pr > F
type	9	3180.820347	353.424483	9.26	<.0001

ตารางภาคผนวกที่ 4 ผลวิเคราะห์ทางสถิติอิทธิพลของ surfactants ต่อปริมาณผลึกที่เก็บที่อุณหภูมิ  $9^{\circ}\text{C}$

The SAS System

The GLM Procedure

Class Level Information

Class      Levels    Values

type	4	ctr	ssl0.5	mg0.5	gms0.2
------	---	-----	--------	-------	--------

#### The GLM Procedure

Dependent Variable: ค่า K

Sum of

Source	DF	Squares	Mean Square	F Value	Pr > F
Model	3	0.00003289	0.00001096	2.14	0.2379
Error	4	0.00002050	0.00000512		
Corrected Total	7	0.00005339			

R-Square    Coeff Var    Root MSE    data Mean

0.616118	7.275437	0.002264	0.031113
----------	----------	----------	----------

Source	DF	Type III SS	Mean Square	F Value	Pr > F
type	3	0.00003289	0.00001096	2.14	0.2379

Dependent Variable: ค่า n

The SAS System      18:45 Saturday, May 29, 1999 1

Source	DF	Type III SS	Mean Square	F Value	Pr > F
type	3	0.00203339	0.00067780	2.07	0.2463

### ประวัติผู้วิจัย

ชื่อ – สกุล นางสาวกนกวรรณ พัทูลง  
ที่อยู่ 74 หมู่ 7 ตำบลบางสวน อ.ปะทิว จ.ชุมพร 86160

### ประวัติการศึกษา

พ.ศ. 2545 สำเร็จการศึกษาวิทยาศาสตรบัณฑิต วิชาเอกวิทยาศาสตร์การอาหารและ  
โภชนาการ คณะวิทยาศาสตร์และเทคโนโลยี มหาวิทยาลัยสงขลานครินทร์

### ประสบการณ์การทำงาน

พ.ศ. 2545-2546 Supervisor Production บริษัท จันทบุรีซีฟู้ดส์ จำกัด

พ.ศ. 2547 นักวิชาการ บริษัท ไฟฟ้าไทยรัฐพลัง จำกัด